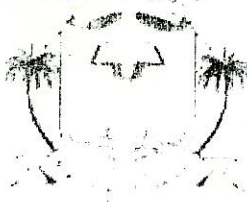


أسامه محمد المرتضى



جامعة وادى النيل

كلية الهندسة والتكنولوجيا

قسم الهندسة الميكانيكية

برنامج بكالريوس الشرف في الهندسة الميكانيكية

جزء 1

الوحدة الأولى في مقرر

الديناميكا الحرارية

إعداد الامتحان:

أسامة محمد المرتضى

الصل الأول

1.0 - القانون الأول للديناميكا الحرارية (The First Law of Thermodynamics)

(Conservation of Energy)

1.1 بقاء الطاقة :

مفهوم الطاقة و الفرضية التي تقول أنها لا تستحدث ولا تفنى قد تم تطويرها بواسطة العلماء في الجزء المبكر للقرن التاسع عشر ، وأصبحت تعرف بمبدأ بقاء الطاقة . القانون الأول للديناميكا الحرارية هو ليس إلا واحداً من التعبيرات لهذا المبدأ العام بمرجعية خاصة لطاقة الحرارة و الطاقة الميكانيكية (i.e. الشغل)

لقد تم التوضيح في المقطع 1.4 أنه عندما يتم عمل نظام ليزدوى دورة كاملة فإن صافي الشغل يبزد على أو بالنظام . اعتبر دورة يكون فيها صافي الشغل مبذولاً بالنظام . بما أن الطاقة لا يمكن خلقها (إسْتَحْدَاثُهَا) ، فإن هذه الطاقة الميكانيكية يجب أن يتم إمدادها من بعض مصادر الطاقة . لقد تم الآن إعادة النظام لحالته الإبتدائية ، و هكذا فإن طاقته الحقيقة لا تتغير ، وبالتالي فإن الطاقة الميكانيكية لم يتم توفيرها بالنظام نفسه .

الطاقة الوحيدة الأخرى المشتركة في الدورة هي الحرارة التي يتم إكتسابها و فقدانها في الإجراءات المختلفة . وبالتالي ، بمبدأ بقاء الطاقة ، فإن صافي الشغل المبذول بواسطة النظام يساوى صافي الحرارة المكتسبة إلى النظام . القانون الأول للديناميكا الحرارية يمكن وبالتالي بيانه كما يلى :

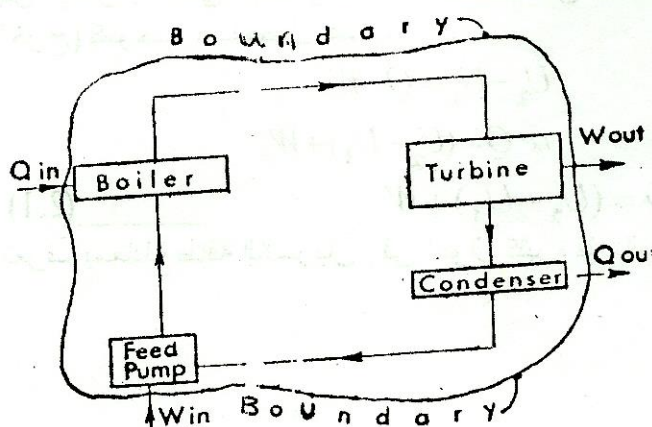
عندما يزدوى نظاماً دورة حرارية فإن صافي الحرارة المكتسبة إلى النظام من بيته المحيطة تعادل صافي الشغل المبذول بواسطة النظام على بيته المحيطه .
بالرموز ،

$$\sum dQ = \sum dW \quad (1.1)$$

حيث Σ تمثل المجموع لدورة كاملة .

مثال (1) : في محطة بخار معينة ينتج التوربين 1000 kW . و الحرارة التي يتم إمدادها إلى البخار في الغلاية تعادل 2800 kJ/kg ، و الحرارة التي يفقدتها (بطردها) النظام إلى ماء التبريد في المكثف تساوى 2100 kJ/kg و شغل مضخة التغذية المطلوب لضخ البخار المكثف إلى الغلاية يساوى 5 kW . أحسب معدل إنساب البخار خلال الدورة بال kg/s . يتم توضيح الدورة تخطيطياً في الشكل رقم (1) . يتم توضيح حد النظام الذي يطوق المحطة بأكملها .
بصراحة ، فإن حد النظام هذا يجب التفكير في أنه يطوق فقط مائع التشغيل .

$$\sum dQ = 2800 - 2100 = 700 \text{ kJ/kg}$$



الشكل (1.1)

اجعل إنساب البخار يكون \dot{m} بال kg/s

$$\therefore \sum dQ = 700 \dot{m} \text{ kJ/kg}$$

$$\sum dW = 1000 - 5 = 995 \text{ kW} = 995 \text{ kJ/kg}$$

بالتالي في المعادلة (1.1)

$$\therefore \sum dQ = \sum dW$$

$$\text{i.e. } 700 \times \dot{m} = 995 \quad \therefore \dot{m} = \frac{995}{700} = 1.421 \text{ kg/s}$$

i.e.

1.421 kJ/s = إنساب البخار المطلوب

1.2- معادلة اللاإنساب (اللاسريان) (The non-flow equation)

لقد تم التوضيح في المقطع السابق أنه عندما يؤدي نظاماً يمتلك طاقة حقيقة معينة دورة بتحويل الحرارة و الشغل ، فإن صافي الحرارة المكتسبة يكون مساوياً لصافي شغل الخرج . هذا يكون صحيحاً لدوره كاملاً عندما تكون الطاقة الحقيقة للنظام مساوية لقيمة الإبتدائية . اعتبار الآن إجراءً تكون فيه الطاقة الحقيقة للنظام أخيراً أكبر من الطاقة الحقيقة الإبتدائية .

الفرق بين صافي الحرارة المكتسبة و صافي شغل الخرج سيزيد الطاقة الحقيقة للنظام ، الكسب في الطاقة الحقيقة = صافي الحرارة المكتسبة - صافي شغل الخرج عندما يكون صافي التأثير هو إنتقال طاقة من النظام ، وبالتالي سيكون هنالك فقداً في الطاقة الحقيقة للنظام .

عندما يكون هنالك مانعاً ليس في حركة فان طاقته الحقيقة لكل وحدة كتلة تعرف بالطاقة الداخلية النوعية للمانع و تعطى بالرمز U . تعتمد الطاقة الداخلية لمانع على ضغطه و درجة حرارته ، و هي في حد ذاتها خاصة . الطاقة الداخلية للكتلة ، m ، يتم كتابتها ك U i.e. $U = mu$. وحدات الطاقة الداخلية ، U تكتب عادة ك j .

بما أن الطاقة الداخلية خاصة فإن الكسب في الطاقة الداخلية في التغير من الحالة 1 إلى الحالة 2 يمكن أن كتابته ك $U_2 - U_1$.

أيضاً ، الكسب في الطاقة الداخلية = صافي الحرارة المكتسبة - صافي شغل الخرج

$$U_2 - U_1 = \sum_1^2 dQ - \sum_1^2 dW$$

هذه المعادلة تكون صحيحة لإجراء أو سلسلة من الإجراءات بين الحالة 1 و الحالة 2 باعطاء أنه ليس هنالك سريان للمانع إلى أو من النظم . في أي إجراء لا سريانى سيكون هنالك إما حرارة مكتسبة أو حرارة مفقودة ، لكن ليس الإثنان ، نفس الشئ سيكون هنالك إما شغل خرج أو شغل دخل ، لكن ليس الإثنان . وبالتالي ، بإعتبار الحرارة المكتسبة إلى النظام كموجبة و الشغل المبذول كشugal الخرج) كموجب ، سنحصل على ،

$$U_2 - U_1 = Q - W$$

$$\text{i.e. } Q = (U_2 - U_1) + W$$

$$1 \text{ kg} \quad Q = (U_2 - U_1) + W \quad (2.1)$$

هذه المعادلة تعرف بمعادلة طاقة اللاسريان . في أحوال كثيرة فإن المعادلة 2.1 تكتب في صورة تفاضلية .

لما زادت الحرارة المكتسبة dQ ، مقدار صغير للشغل المبذول بالمانع dW ، و لكسب صغير في الطاقة الداخلية النوعية ، فإن ،

$$dQ = dU + dW \quad (1.3)$$

مثال (2) : في شوط الانضغاط لمحرك احتراق داخلي ، تكون الحرارة المفقودة لماء التبريد متساوية ل 45 kJ/kg و شغل الدخل متساوياً ل 90 kJ/kg . أحسب التغير في الطاقة الداخلية النوعية لمانع التشغيل ذاكراً ما إذا كان كسباً أم فقداً .

(إشارة ve- بما أن الحرارة مفقودة)

(إشارة ve- بما أن الشغل هو شغل دخل للنظام)

مستخدماً المعادلة 1.2 ،

$$Q = (u_2 - u_1) + W$$

$$\therefore -45 = (u_2 - u_1) - 90$$

$$\therefore u_2 - u_1 = +90 - 45 = 45 \text{ kJ/kg}$$

\therefore الكسب في الطاقة الداخلية $= 45 \text{ kJ/kg}$

مثال (3) : في أسطوانة محرك هواء فإن الهواء المنضغط له طاقة داخلية نوعية مقدارها 240 kJ/kg عند بداية التمدد و طاقة داخلية نوعية مقدارها 200 kJ/kg بعد التمدد . أحسب سريان الحرارة إلى أو من الأسطوانة عندما يكون الشغل المبذول بواسطة الهواء أثناء التمدد متساوياً ل 100 kJ/kg .

من المعادلة 1.2

$$Q = (u_2 - u_1) + W$$

$$\therefore Q = (200 - 240) + 100 = -220 + 100 = -120 \text{ kJ/kg}$$

i.e. الحرارة المفقودة بالهواء $= 120 \text{ kJ/kg}$

من المهم ملاحظة أن المعادلات 1.1 ، 1.2 ، و 1.3 تكون صحيحة ما إذا كان الإجراء إنعكاسياً أم غير ذلك . هذه هي معادلات طاقة .

لإجراء سريان إنعكاسي سنتاك من المعادلة 1.1 ،

$$W = \int p dv$$

أو لكميات صغيرة ،

بالتالي لا يجري لا سريان إنعكاسي ، معرفاً في المعادلة 1.3

$$dQ = dU + p dv \quad (1.4)$$

أو بالتعويض في المعادلة 1.2 ،

$$Q = (u_2 - u_1) + \int p dv \quad (1.5)$$

المعادلات 1.4 و 1.5 يمكن استخدامهما فقط لإجراءات لا سريانية إنعكاسية متماثلة .

1.3 معادلة السريان المستقر (The Steady Flow Equation)

في المقطع 1.2 ، قيل أن الطاقة الداخلية لمائع تكون هي الطاقة الحقيقة للمائع نتيجة لخواصه الديناميكية الحرارية . عندما يكون هناك مائع كتلته 1 kg بطاقة داخلية نوعية u ، يتحرك بسرعة C و يكون عند ارتفاع z فوق مستوى المرجعية ، وبالتالي فإنه يمتلك طاقة كافية مقدارها $C^2/2$ حيث $C^2/2 + zg$ هي طاقة الحركة لـ 1 kg من مائع و g هي طاقة الوضع لـ 1 kg من المائع .

في معظم المسائل العملية فإن معدل سريان المائع خلال ماكينة أو جزء (قطعة) من جهاز يكون ثابتاً . هذا النوع من السريان يسمى بالسريان المستقر .

اعتبر 1 kg من مائع ينساب بسريان مستقر خلال قطعة من الجهاز شكل (2) . هذا يشكل نظام مفتوح كما تم تعريفه في المقطع 1.2 . يتم توضيح الحد قاطعاً ماسورة المدخل عند 1 و المخرج عند المقطع 2 . يسمى هذا الحد في بعض الأحيان بسطح التحكم ، و النظام المطوق بحجم التحكم .

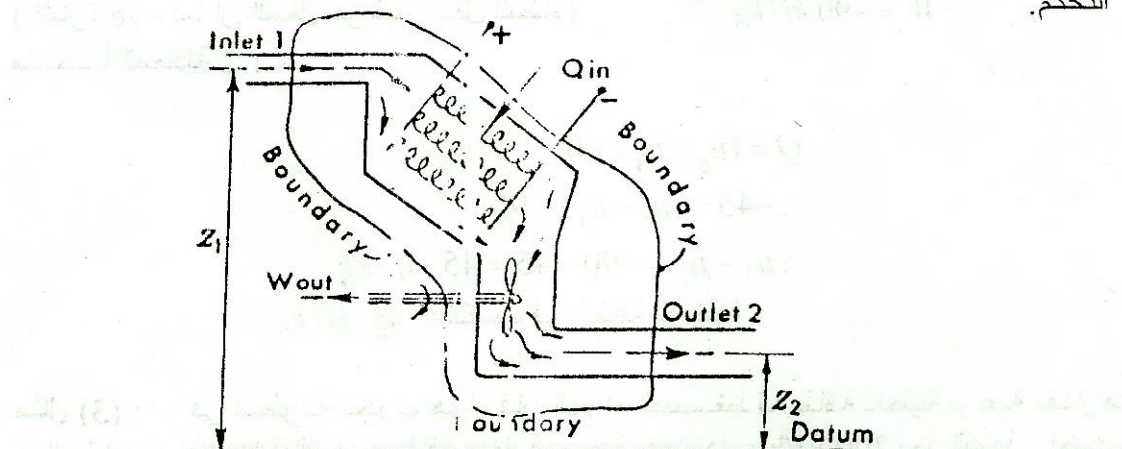


Fig. 1.2

الشكل (1.2)

إفرض أنه يتم إمداد سريان مستقر لحرارة بمقدار Q و حدة لكل kg من المائع ، و أن كل kg من المائع يؤدى W وحدة من الشغل كلما يمر خلال الجهاز . و الآن لكي يتم إدخال 1 kg من المائع عبر الحد يتطلب إنفاقاً للطاقة ؟ نفس الشي لكي يتم دفع 1 kg من المائع عبر الحد عند المخرج ، فإنه يتطلب إنفاقاً للطاقة .

لقد تم توضيح مقطع المدخل مكبراً في الشكل رقم (3)

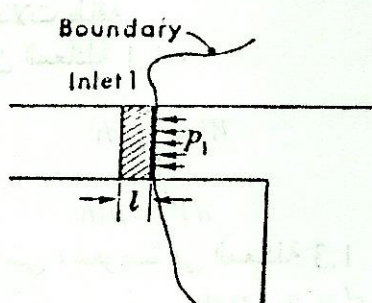


Fig. 1.3

الشكل (1.3)

اعتبر عنصراً من مائع بطول A_1 ، وإجعل مساحة المقطع العرضي لمسورة المدخل بال التالي سنحصل على ،

$$p_1 A_1 \times l = \text{الطاقة المطلوبة لدفع العنصر عبر الحد}$$

$$(حجم عنصر المائع) \times p_1 =$$

$$p_1 v_1 = \text{الطاقة المطلوبة لـ } 1 \text{ من المائع}$$

(حيث v_1 هو الحجم النوعي للمائع عند المقطع 1)

نفس الشئ ، يمكن توضيح أن ،

$$p_2 v_2 = \text{الطاقة المطلوبة عند المخرج لدفع } 1 \text{ من المائع عبر الحد}$$

اعتبر الأن الطاقة الداخلة و المغادرة للنظام . الطاقة الداخلة للنظام تتكون من طاقة المائع

$$\left(u_1 + \frac{C_1^2}{2} + z_1 g \right) \text{ المنساب عند المدخل}$$

مصطلح الطاقة v_2 ، و الشغل المبذول بواسطة المائع W . بما أن هنالك سريان مستقر للمائع إلى أو من النظام ، ستكون هنالك سريانات مستقرة للحرارة و الشغل ، وبالتالي فإن الطاقة المدخلة يجب أن تساوى بالضبط الطاقة المغادرة .

$$u_1 + \frac{C_1^2}{2} + z_1 g + p_1 v_1 + Q = u_2 + \frac{C_2^2}{2} + z_2 g + p_2 v_2 + W \quad (1.6)$$

تقريباً في جميع المسائل في الديناميكا الحرارية التطبيقية و يتم تجاهل التغيرات في الإرتفاع و عليه يمكن حذف عناصر طاقة الوضع من المعادلة . العناصر z و v تقع على كلا جانبي المعادلة و هي دائماً ستكون كذلك في الإجراء السرياني ، بما أن المائع يمتلك دائماً طاقة داخلية معينة ، و العنصر p يعطى الرمز h ، الذي يعرف بالمحتوى الحراري النوعي

(specific Enthalpy)

$$i.e. h = u + pv \quad (1.7)$$

المحتوى الحراري لمائع هو خاصية لذلك المائع ، بما أن المحتوى الحراري هو خاصية مثل الطاقة الداخلية ، الضغط ، الحجم النوعي ، و درجة الحرارة ، يمكن إدخاله في أي مسألة بغض النظر عن أن الإجراء سرياني أم لا سرياني . المحتوى الحراري لكتلة m ، من مائع يمكن كتابته ك $H = mh$. وحدات h هي نفسها كتلة للطاقة الداخلية .

معوضاً المعادلة 1.7 في المعادلة 1.6

$$h_1 + \frac{C_1^2}{2} + Q = h_2 + \frac{C_2^2}{2} + W \quad (1.8)$$

المعادلة 1.8 تعرف بمعادلة طاقة السريان المستقر . في السريان المستقر فإن معدل إنسياط الكتلة للمائع عند أي مقطع هي نفسها عند أي مقطع آخر . اعتبر أي مقطع بمساحة مقطع عرضي A ، حيث تكون سرعة المائع C ، وبالتالي فإن معدل سريان الحجم المار بالمقطع يكون CA . أيضاً بما أن سريان الكتلة هو عبارة عن سريان حجم مقسوماً الحجم النوعي ،

$$\dot{m} = \rho CA \quad (1.9)$$

(حيث v = الحجم النوعي عند المقطع ; ρ الكثافة عند المقطع)

هذه المعادلة تعرف بمعادلة الاستمرارية للكتلة .

بالرجوع للشكل رقم (2)،

$$\dot{m} = \frac{C_1 A_1}{v_1} = \frac{C_2 A_2}{v_2}$$

مثال (4) : في توربينة وحدة توربينية غازية فإن الغازات تتساب خلال التوربين عند 17 kg/s و تكون القدرة المولدة بواسطة التوربينة مساوية ل $14,000 \text{ kW}$. و تكون المحتويات الحرارية للغازات عند المدخل و المخرج هي 1200 kJ/kg و 360 kJ/kg على الترتيب ، و السرعات للغازات عند المدخل و المخرج هي 60 m/s و 150 m/s على الترتيب . أحسب المعدل الذي تفقده به الحرارة من التوربينة . أوجد أيضاً مساحة ماسورة المدخل بمعلومية أن الحجم النوعي للغازات عند المدخل $0.5 \text{ m}^3/\text{kg}$

يتم توضيح تمثيل تخطيطي للتوربينة في الشكل رقم (4) .
من المعادلة 1.8

$$h_1 + \frac{C_1^2}{2} + Q = h_2 + \frac{C_2^2}{2} + W$$

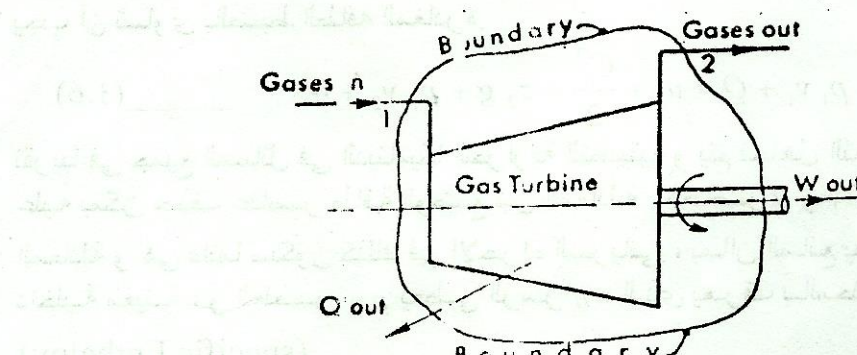


Fig. 1.4

الشكل (1.4)

$$\frac{C_1^2}{2} = \frac{60^2}{2} \text{ m}^2/\text{s}^2 = \frac{60^2}{2} \frac{\text{kg m}^2}{\text{s}^2 \text{ kg}} = 1800 \text{ N m/kg} = 1.8 \text{ kJ/kg}$$

$$\frac{C_2^2}{2} = 2.5^2 \times \frac{C_1^2}{2} = 2.5^2 \times \frac{60^2}{2} \text{ m}^2/\text{s}^2 = 11.25 \text{ kJ/kg}$$

$$(C_2 = 2.5 C_1)$$

$$W = \frac{14,000}{17} \text{ kJ/kg} = 823.5 \text{ kJ/kg}$$

بالتغويض في المعادلة 1.8

$$1200 + 1.8 + Q = 360 + 11.25 + 823.5$$

$$\therefore Q = -7.02 \text{ kJ/kg}$$

$+ 7.02 \text{ kJ/kg} = 7.02 \times 17 \text{ kg/s} = 119.3 \text{ kW}$ الحرارة المفقودة i.e.

لإيجاد مساحة المدخل ، يستخدم المعادلة 1.9

$$\text{i.e. } \dot{m} = \frac{CA}{v} \quad \therefore A = \frac{v \dot{m}}{C}$$

$$\therefore A_1 = \frac{17 \times 0.5}{60} = 0.142 \text{ m}^2$$

مثال (5) : ينساب هواء باستقرار بمعدل 0.4 kg/s خلال ضاغط هواء ، حيث يدخل بسرعة 6 m/s ، بضغط 1 bar و بحجم نوعي $0.85 \text{ m}^3/\text{kg}$ ، ويغادر بسرعة 4.5 m/s ، وبضغط 6.9 bar و حجم نوعي $0.16 \text{ m}^3/\text{kg}$. و تكون الطاقة الداخلية النوعية للهواء المغادر أكبر من تلك للهواء الداخل بمقدار 88 kJ/kg . ماء التبريد الموجود في تجاويف محطة بالأسطوانة يمتص الحرارة من الهواء بمعدل 59 kJ/s . أحسب القدرة المطلوبة لإدارة الضاغط و مساحتاً المقطع العرضي لمدخل و مخرج الماسورة .

في هذه المسألة من الملامح أكثر كتابة معادلة السريان كما في المعادلة 1.6 ، بحذف العناصر Z .

$$\text{i.e. } u_1 + \frac{C_1^2}{2} + p_1 v_1 + Q = u_2 + \frac{C_2^2}{2} + p_2 v_2 + W$$

هذا تمثل تخطيطي للضاغط يتم توضيحه في الشكل (5).

ملحوظة: الحرارة المفقودة عبر الحد تكون مكافئة للحرارة المزالة بماء التبريد من الضاغط.

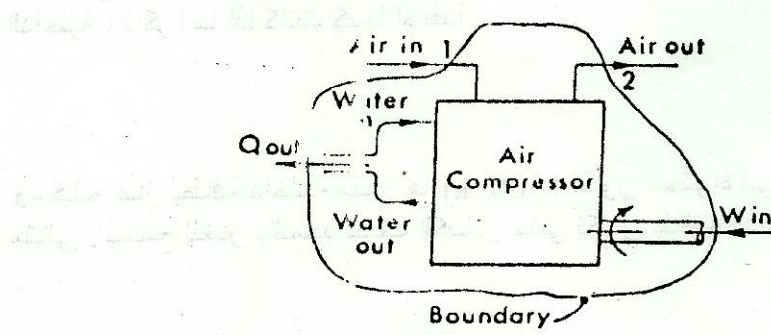
$$\frac{C_1^2}{2} = \frac{6 \times 6}{2} \text{ J/kg} = 18 \text{ J/kg}$$

$$\frac{C_2^2}{2} = \frac{4.5 \times 4.5}{2} \text{ J/kg} = 10.1 \text{ J/kg}$$

$$p_1 v_1 = 1 \times 10^5 \times 0.85 = 85,000 \text{ J/kg}$$

$$p_2 v_2 = 6.9 \times 10^5 \times 0.16 = 110,000 \text{ J/kg}$$

$$u_2 - u_1 = 88 \text{ kJ/kg}$$



الشكل (1.5)

$$= 59 \text{ kJ/s} = \frac{59}{0.4} = 147.5 \text{ kJ/kg}$$

$$W = (u_1 - u_2) + (p_1 v_1 - p_2 v_2) + \left(\frac{C_1^2}{2} - \frac{C_2^2}{2} \right) + Q$$

$$\text{i.e. } W = -88 + 85 - 110.4 + 0.018 - 0.0101 - 147.5 = -260.9 \text{ kJ/kg}$$

(ملحوظة : يكون التغير في طاقة الحركة صغير جداً بحيث يمكن تجاهله بالمقارنة مع العناصر الأخرى)

$$\text{i.e. } 260.9 = \text{شغل الدخل المطلوب}$$

$$= 260.9 \times 0.4 \text{ kJ/s} = 104.4 \text{ kW}$$

من المعادلة 1.9 ،

$$\dot{m} = \frac{CA}{v}$$

$$\text{i.e. } A_1 = \frac{0.4 \times 0.85}{6} \text{ m}^2 = 0.057 \text{ m}^2$$

$$\text{i.e. } 0.057 \text{ m}^2 = \text{مساح المقطع العرضي لمسورة المدخل}$$

$$A_2 = \frac{0.4 \times 0.16}{4.5} = 0.014 \text{ m}^2 , \text{ نفس الشى}$$

$$\text{i.e. } 0.014 \text{ m}^2 = \text{مساحة المقطع العرضي لمسورة المخرج}$$

في المثال (5) لقد تم استخدام معادلة طاقة السريان المستقر ، بالرغم من الحقيقة التي تقول أن الانضغاط يتكون من : سحب هواء ؛ إنضغاط في أسطوانة معلقة ؛ و تصريف هواء. يمكن استخدام معادلة السريان المستقر لأن دورة الإجراءات تحدث مرات عديدة في الدقيقة ، وبالتالي فإن التأثير المتوسط يكون سريان مستقر لهواء خلال الماكينة.

مسائل :

- 1- في ضاغط هواء يحدث الإنضغاط بطاقة داخلية ثابتة و هناك 50 kJ من الحرارة يتم فقدانها لماء التبريد لكل kg من الهواء . أوجد الشغل المطلوب لشوط الإنضغاط لكل kg من الهواء .

Ans. (50 kJ/kg)

- 2- في شوط الإنضغاط للتوربينية غاز فإن الشغل المبذول على الغاز بواسطة الكباس يساوى 70 kJ/kg و الحرارة المفقودة لماء التبريد تعادل 42 kJ/kg . أوجد التغير في الطاقة الداخلية ، ذاكراً ما إذا كانت كسباً أم فقداً .

Ans. (28 kJ/kg)

- 3- كتلة غاز بطاقة داخلية مقدارها 1500 kJ تكون محتواه في أسطوانة ذات عزل حراري مثالي . يُسمح للغاز بالتمدد خلف الكباس حتى تكون طاقته الداخلية مساوية ل 1400 kJ .

أحسب الشغل المبذول بالغاز . إذا كان التمدد يتبع القانون $p v^2 = \text{constant}$ ، الضغط و الحجم الإبتدائيان للغاز هما bar 28 و m^3 0.06 على الترتيب ، أحسب الضغط و الحجم النهائيان .

Ans.(100 kJ ; 4.59 bar , $0.148 m^3$)

4- للغازات في أسطوانة محرك احتراق داخلي طاقة داخلية مقدارها kJ/kg 800 و حجم نوعي مقداره m^3/kg 0.06 عند بداية التمدد ، تمدد الغازات يمكن افتراض حدوثه طبقاً للقانون الإنعكاسي $p v^{1.5} = \text{constant}$ ، من bar 55 إلى 1.4 . وتكون الطاقة الداخلية بعد التمدد متساوية ل 230 kJ/kg . أحسب الحرارة المفقودة إلى أسطوانة ماء التبريد لكل kg من الغازات أثناء شوط التمدد .

Ans. (104 kJ/kg)

5- توربينة بخار تستقبل سريان بخار بمقدار kg/s 1.35 . و تقوم بتوليد kW 500 . فقدان الحرارة من الغلاف يمكن تجاهله .
 أ- أوجد التغير في المحتوى الحراري النوعي عبر التوربينة عندما يتم تجاهل السرعات عند المدخل و المخرج و الفرق في الارتفاع عند المدخل و المخرج .
 ب- أوجد التغير في المحتوى الحراري النوعي عبر التوربينة عندما تكون السرعة عند المدخل متساوية ل m/s 60 ، السرعة عند المخرج m/s 360 ، و تبعد ماسورة المدخل مسافة 3 m فوق ماسورة العادم .

Ans.(370 kJ/kg , 433 kJ/kg)

6- بخار ذو سريان مستقر يدخل مكتفاً بمحتوى حراري مقداره kJ/kg 2300 و بسرعة m/s 350 . يغادر البخار المتكافئ بمحتوى حراري مقداره kJ/kg 160 وبسرعة مقدارها m/s 70 . أوجد الحرارة المنقلة لمائع التبريد لكل kg من البخار المكتاف .

Ans.(-2199 kJ/kg)

7- توربينة تشتعل تحت شروط سريان مستقر بخاراً عند الحالة التالية : bar 13.8 ؛ حجم نوعي m^3/kg 0.143 ؛ طاقة داخلية kJ/kg 2590 ؛ سرعة m/s 30 . و حالة البخار المغادر للتوربينة هي ضغط bar 0.35 ؛ حجم نوعي m^3/kg 4.37 ؛ طاقة داخلية kJ/kg 2360 و سرعة m/s 90 . تُفقد الحرارة إلى البيئة المحيطة بمعدل kJ/s 0.25 . إذا كان معدل سريان البخار يساوى kJ/s 0.38 ، ما هي القدرة المتنولة بواسطة التوربينة .

Ans.(102.8 kW)

8- الفوهة هي عبارة عن جهاز لزيادة السرعة لجدول مائع ذو سريان مستقر . عند المدخل لفوهة معينة فإن المحتوى الحراري للمائع يكون kJ/kg 3025 و السرعة m/s 60 . عند المخرج من الفوهة يكون المحتوى الحراري kJ/kg 2790 . إذا كانت الفوهة أفقية و فقد الحراري منها يتم تجاهله .
 أ- أحسب السرعة عند مخرج الفوهة .

- بـ- إذا كانت مساحة المدخل تساوى 0.1 m^2 و الحجم النوعي عند المدخل يساوى $0.19 \text{ m}^3/\text{kg}$ ، أوجد معدل سريان المائع .
- جـ- إذا كان الحجم النوعي عند مخرج الفوهة يساوى $0.5 \text{ m}^3/\text{kg}$ ، أوجد مساحة المخرج للفوهة .

Ans. (688 m/s , 31.6 kg/s . 0.0229 m^2)

(جـ 24.0 . جـ 32.4 . جـ 0.0229) جـ

جـ- في إحدى المصانع يُريد إنتاج الماء الصالحة لشرب بrate $0.008 \text{ m}^3/\text{s}$ ، وذلك بـ $g = 9.81 \text{ m/s}^2$ ، $\rho = 1000 \text{ kg/m}^3$ ، $C_p = 4180 \text{ J/kg.K}$ ، $\eta = 0.9$ ، $T_1 = 20^\circ\text{C}$ ، $T_2 = 30^\circ\text{C}$ ، $P_1 = 101325 \text{ Pa}$ ، $P_2 = 101325 \text{ Pa}$ ، $\mu = 0.001 \text{ N.s/m}^2$ ، $\rho_{air} = 1.2 \text{ kg/m}^3$ ، $A = 0.001 \text{ m}^2$ ، $L = 10 \text{ m}$ ، $\theta = 45^\circ$.

(جـ 24.0 . جـ 32.4 . جـ 0.008) جـ

جـ- يُريد إنتاج الماء الصالحة لشرب بـ $0.008 \text{ m}^3/\text{s}$ ، وذلك بـ $g = 9.81 \text{ m/s}^2$ ، $\rho = 1000 \text{ kg/m}^3$ ، $C_p = 4180 \text{ J/kg.K}$ ، $\eta = 0.9$ ، $T_1 = 20^\circ\text{C}$ ، $T_2 = 30^\circ\text{C}$ ، $P_1 = 101325 \text{ Pa}$ ، $P_2 = 101325 \text{ Pa}$ ، $\mu = 0.001 \text{ N.s/m}^2$ ، $\rho_{air} = 1.2 \text{ kg/m}^3$ ، $A = 0.001 \text{ m}^2$ ، $L = 10 \text{ m}$ ، $\theta = 45^\circ$.

(جـ 24.0 . جـ 32.4 . جـ 0.008) جـ

جـ- يُريد إنتاج الماء الصالحة لشرب بـ $0.008 \text{ m}^3/\text{s}$ ، وذلك بـ $g = 9.81 \text{ m/s}^2$ ، $\rho = 1000 \text{ kg/m}^3$ ، $C_p = 4180 \text{ J/kg.K}$ ، $\eta = 0.9$ ، $T_1 = 20^\circ\text{C}$ ، $T_2 = 30^\circ\text{C}$ ، $P_1 = 101325 \text{ Pa}$ ، $P_2 = 101325 \text{ Pa}$ ، $\mu = 0.001 \text{ N.s/m}^2$ ، $\rho_{air} = 1.2 \text{ kg/m}^3$ ، $A = 0.001 \text{ m}^2$ ، $L = 10 \text{ m}$ ، $\theta = 45^\circ$.

(جـ 24.0 . جـ 32.4 . جـ 0.008) جـ

جـ- يُريد إنتاج الماء الصالحة لشرب بـ $0.008 \text{ m}^3/\text{s}$ ، وذلك بـ $g = 9.81 \text{ m/s}^2$ ، $\rho = 1000 \text{ kg/m}^3$ ، $C_p = 4180 \text{ J/kg.K}$ ، $\eta = 0.9$ ، $T_1 = 20^\circ\text{C}$ ، $T_2 = 30^\circ\text{C}$ ، $P_1 = 101325 \text{ Pa}$ ، $P_2 = 101325 \text{ Pa}$ ، $\mu = 0.001 \text{ N.s/m}^2$ ، $\rho_{air} = 1.2 \text{ kg/m}^3$ ، $A = 0.001 \text{ m}^2$ ، $L = 10 \text{ m}$ ، $\theta = 45^\circ$.

(جـ 24.0 . جـ 32.4 . جـ 0.008) جـ

جـ- يُريد إنتاج الماء الصالحة لشرب بـ $0.008 \text{ m}^3/\text{s}$ ، وذلك بـ $g = 9.81 \text{ m/s}^2$ ، $\rho = 1000 \text{ kg/m}^3$ ، $C_p = 4180 \text{ J/kg.K}$ ، $\eta = 0.9$ ، $T_1 = 20^\circ\text{C}$ ، $T_2 = 30^\circ\text{C}$ ، $P_1 = 101325 \text{ Pa}$ ، $P_2 = 101325 \text{ Pa}$ ، $\mu = 0.001 \text{ N.s/m}^2$ ، $\rho_{air} = 1.2 \text{ kg/m}^3$ ، $A = 0.001 \text{ m}^2$ ، $L = 10 \text{ m}$ ، $\theta = 45^\circ$.

الفصل الثاني

2.0 الإجراءات الانعكاسية والانعكاسية Reversible and Irreversible Processes

في الفصول السابقة تم إشتقاق معادلات الطاقة لإجراءات اللاسريان وللسريان ، وتم تقديم مفاهيم الانعكاسية والانعكاسية ، ومناقشة خواص البخار والغازات المثلية . الغرض من هذا الفصل هو اعتبار إجراءات يتم تقريبها إلى عملية وتوحيد هذا بالعمل الموجود في الفصول السابقة.

2.1 إجراءات لا سريانية (انعكاسية) : reversible non-flow process

إجراء الحجم الثابت: Constant volume process

في إجراء ثابت الحجم تكون مادة التشغيل محتواة في وعاء صل (rigid vessel) ، وبالتالي فإن حدود النظام تكون غير قابلة للحركة ولا يمكن أن تكون هناك شغلاً مبذولاً على أو بالنظام ، غير شغل دخل عجلة التحرير . سيتم افتراض أن الحجم الثابت يتضمن شغلاً صغيراً مالما يُذكر ذلك .

من معادلة طاقة اللاسريان 1.2

$$Q = (u_2 - u_1) + W$$

بما أنه ليس هناك شغلاً مبذولاً ، عليه نحصل على ،

$$Q = u_2 - u_1 \quad (2.1)$$

أو الكتلة ، m ، من مادة التشغيل ،

$$Q = U_2 - U_1 \quad (2.2)$$

تستخدم جميع الحرارة المكتسبة في إجراء الحجم الثابت في زيادة الطاقة الداخلية . يتم توضيح إجراء حجم ثابت لبخار على مخطط p - v في الشكل رقم 1 . وقد تم اختيار الحالات الأولية والنهاية لتكونا في المنطقة الرطبة والمنطقة المحمصة على الترتيب . في الشكل رقم b يتم توضيح إجراء ثابت الحجم على مخطط p - v لغاز مثالي . لغاز مثال نحصل على ،

$$Q = m c_v (T_2 - T_1)$$

إجراء الضغط الثابت: Constant pressure process

يمكن الملاحظة من الأشكال a و b عندما تكون حدود النظام غير مرنة كما في إجراء الحجم الثابت ، وبالتالي فإن الضغط يرتفع عندما يتم إمداد الحرارة . وبالتالي لإجراء ثابت الضغط فإن الحد يجب أن يتحرك ضد مقاومة خارجية كلما يتم إمداد الحرارة ؛ كمثال فإن مانعاً في أسطوانة خلف كباس يمكن ترتيبه لأداء إجراء ثابت الضغط . بما أنه يتم دفع الكباس خلال مسافة معينة بالقوة التي يؤديها المانع ، وبالتالي فإن الشغل يكون مبذولاً على بيته المحيطة .

من المعادلة

لأى إجراء انعكاسياً

$$W = \int p dv$$

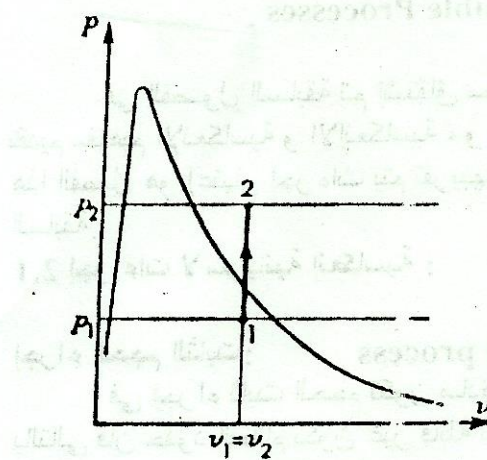


Fig. 2.1a

(2.1a) الشكل

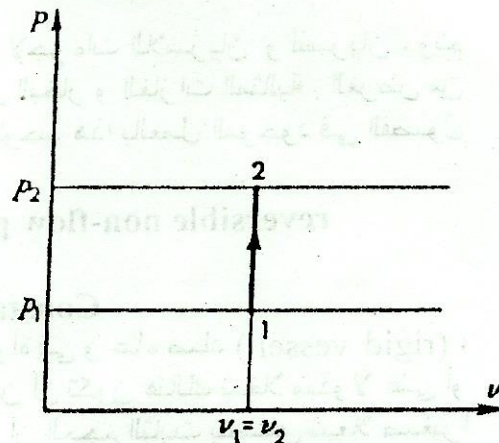


Fig. 2.1b

(2.1b) الشكل

عليه بما أن P تكون ثابتة ،

$$W = \int_{v_1}^{v_2} p \, dv = p(v_2 - v_1)$$

من معادلة طاقة اللاسريان 1.2

$$Q = (u_2 - u_1) + W$$

بالتالى لإجراء ثابت الضغط إنعكاسي ،

$$Q = (u_2 - u_1) + p(v_2 - v_1) = (u_2 + pv_2) - (u_1 + pv_1)$$

الآن من المعادلة 1.7 ، المحتوى الحراري ؛ $h = u + pv$ بالتالى ،

$$Q = h_2 - h_1 \quad (2.3)$$

أو لكتلة ، m ، لمائع ،

$$Q = H_2 - H_1 \quad (2.4)$$

إجراء الضغط الثابت لبخار يكون موضحا على مخطط $P - v$ في الشكل 2a .

لقد تم اختبار الحالات الأولية و النهائية لتكونا فى المنطقة الرطبة و المنطقة المحمصة على الترتيب .

فى الشكل 2b يتم توضيح إجراء ثابت الضغط لغاز مثالى على مخطط $P - v$.

غاز مثالى سنحصل من المعادلة 3.12 على ،

$$Q = mc_p(T_2 - T_1)$$

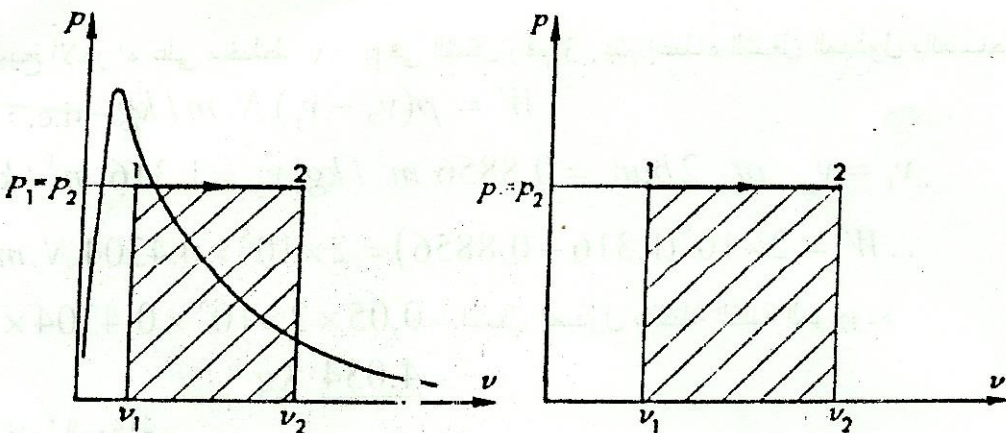


Fig. 2.2a

Fig. 2.2b

(2.2a)

(2.2b)

لاحظ أنه في الأشكال 2a و 2b أن المساحات المظللة تمثل الشغل المعمول بواسطة المائع

$$p(v_2 - v_1)$$

مثال (1) : كتلة مقدارها 0.05 kg من الماء يتم تسخينها بضغط ثابت مقداره 2 bar حتى يكون الحجم المحتل متساوياً ل 0.0658 m^3 . أحسب الحرارة المكتسبة والشغل المبذول :
 a/ عندما يكون الماء بخاراً ، ابتدائياً جافاً مشبعاً .
 b/ عندما يكون الماء هواء ، ابتدائياً عند 130°C .

a/ ابتدائياً يكون الماء جافاً مشبعاً عند الضغط 2 bar ، وبالتالي ،

$$h_1 = h_g \text{ at } 2 \text{ bar} = 2707 \text{ kJ/kg}$$

نهائياً يكون الماء عند 2 bar و يعطي الحجم النوعي ب

$$v_2 = \frac{0.0658}{0.05} = 1.316 \text{ m}^3/\text{kg}$$

بالتالي فإن الماء يكون محمضاً أخيراً. من جداول البخار المحمص عند ضغط 2 bar و حجم نوعي $1.316 \text{ m}^3/\text{kg}$ فإن درجة حرارة البخار تكون 300°C ، و المحتوى الحراري

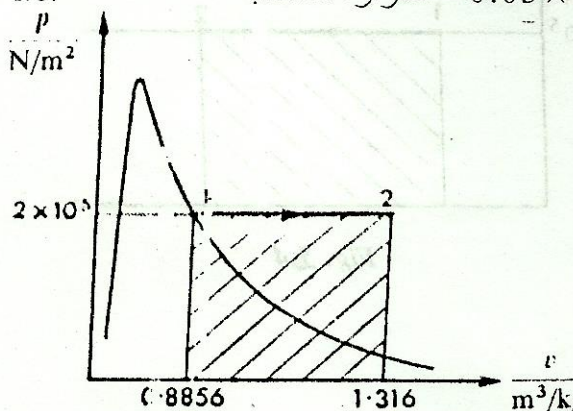
$$h_2 = 3072 \text{ kJ/kg}$$

بالتالي من المعادلة 2.4

$$Q = H_2 - H_1 = m(h_2 - h_1) = 0.05(3072 - 2707)$$

i.e.

$$\text{الحرارة المكتسبة} = 0.05 \times 365 = 18.25 \text{ kJ}$$



(2.3)

Fig. 2.3

يتم توضيح الإجراء على مخطط $p - v$ في الشكل رقم 3 . يتم إعطاء الشغل المبذول بالمساحة

$$W = p(v_2 - v_1) N.m/kg \text{ i.e.}$$

$$v_1 = v_g \text{ at } 2\text{bar} = 0.8856 m^3/kg, v_2 = 1.316 m^3/kg$$

$$\therefore W = 2 \times 10^5 (1.316 - 0.8856) = 2 \times 10^5 \times 0.4304 N.m/kg$$

$$\begin{aligned} &= \text{الشغل المبذول بالكتلة الكلية الموجودة} \\ &= 0.05 \times 2 \times 10^5 \times 0.4304 \times 10^{-3} \\ &= \underline{4.034 kg} \end{aligned}$$

b/ مستخدماً المعادلة

$$T_2 = \frac{p_1 v_2}{m R} = \frac{2 \times 10^5 \times 0.0658}{0.05 \times 0.287 \times 10^3} = \underline{917 K}$$

لغازاً مثاليًّا يؤدي إجراءً ثابت الحجم

$$Q = mc_p(T_2 - T_1)$$

$$\text{i.e. } Q = \text{الحرارة المكتسبة} = 0.05 \times 1.005(917 - 403)$$

$$\text{حيث } T_1 = 130 + 273 = 403 K$$

$$0.05 \times 1.005 \times 514 = \underline{25.83 kJ}$$

يتم توضيح الإجراء على مخطط $v - p$ في الشكل رقم 4 . يتم إعطاء الشغل المبذول بالمساحة

$$pv = RT \quad W = p(v_2 - v_1) N.m/kg \text{ من المعادلة المطلة ، i.e.}$$

$$\therefore \text{الشغل المبذول} = R(T_2 - T_1) = 0.287(917 - 403) kJ/kg$$

$$\text{i.e. الطاقة المبذولة بكتلة الغاز الموجودة} = 0.05 \times 0.287 \times 514$$

$$\underline{7.38 kJ}$$

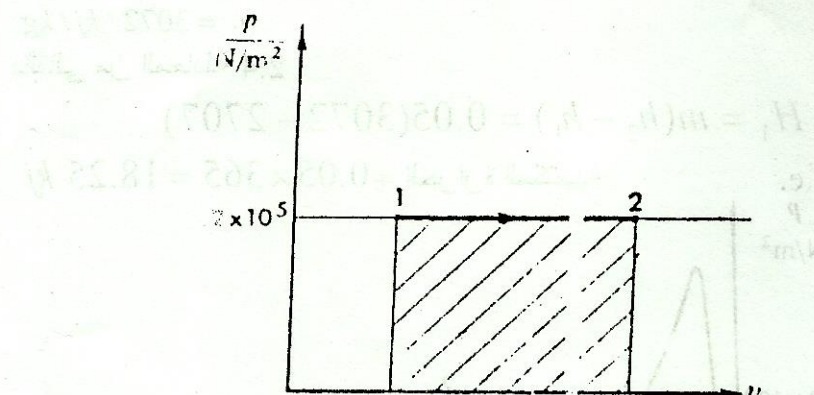


Fig. 2.4

(2.4) الشكل

الإجراء ثابت الحرارة :-

Constant temperature Process or Isothermal Process

الإجراء عند درجة حرارة ثابتة يسمى بإجراء ثابت الحرارة . عندما يتمدد مائع في أسطوانة خلف كباس من ضغط عالي إلى ضغط منخفض يكون هنالك ميلاً لهبوط درجة الحرارة . في التمدد ثابت درجة الحرارة فإن الحرارة يجب أن تضاف باستمرار لكي تحافظ على درجة الحرارة عند القيمة الإبتدائية . نفس الشيء في انضغاط ثابت درجة الحرارة فإن الحرارة يجب إزالتها من المائع باستمرار خلال الإجراء . يتم توضيح إجراء ثابت درجة الحرارة على مخطط $v - p$ في الشكل (5) . لقد تم اختبار الحالات الإبتدائية والنهائية في المنطقة الرطبة و المنطقة المحمصة على الترتيب .

من الحالة 1 إلى الحالة A يبقى الضغط عند p_1 ، بما أنه في المنطقة الرطبة فإن الضغط و درجة الحرارة هما قيمتا التشبع المناظرة . عليه يمكن الملاحظة أن الإجراء ثابت درجة الحرارة لبخار رطب يكون أيضاً عند ضغط ثابت و يمكن استخدام المعادلات 2.3 و 4 e.g. (2.4) الحرارة المكتسبة من الحالة 1 إلى الحالة A لكل kg من البخار تساوي $h_2 - h_1$. في المنطقة المحمصة يهبط الضغط إلى p_2 كما موضح في الشكل 5 . ولا يكون الإجراء بسيطاً . عندما يتم ثبيت الحالات 1 و 2 فإنه يمكن الحصول على الطاقات الداخلية u_1 و u_2 من الجدول . يعطى الشغل المبذول بالمساحة المظللة في الشكل 5 . هذا يمكن تقديره فقط برسم الإجراء و قياس المساحة مخططياً . على أي حال ، عندما يتم تقديم خاصية القصور الحراري ، s ، في الفصل 5 ، فسوف يتم توضيح طريقة ملائمة لحساب الحرارة المكتسبة . عندما يتم حساب سريان الحرارة فإنه يمكن الحصول على الشغل المبذول بواسطة معادلة طاقة اللاسريان 1.2

$$Q = (u_2 - u_1) + W$$

مثال (2) : بخار عند ضغط 7 bar و كسر جاف 0.9 يتمدد في أسطوانة خلف كباس بثبوت درجة الحرارة و بانعكاسية إلى ضغط مقداره 1.5 bar . أحسب التغير للطاقة الداخلية و التغير للمحتوى الحراري لكل kg من البخار . قد وجد أن الحرارة المكتسبة أثناء الإجراء تكون متساوية لـ 574 kJ/kg ، أحسب الشغل المبذول لكل kg من البخار .

يتم توضيح الإجراء في الشكل 6 . تكون درجة حرارة التشبع المناظرة لـ 7 bar هي $165^\circ C$ عليه فإن البخار يكون محمصاً عند الحالة 2 . الطاقة الداخلية عند الحالة 1 يتم إيجادها من المعادلة

$$u_1 = (1-x)u_f + x u_g = (1-0.9) \times 696 + (0.9 \times 2573)$$

$$\therefore u_1 = 69.6 + 2315.7 = 2385.3 \text{ kJ/kg}$$

بالإكمال من جداول التحميص عند 1.5 bar و $165^\circ C$ ، نحصل على ،

$$u_2 = 2580 + \frac{15}{50} (2656 - 2580) = 2580 + 22.8$$

$$i.e \quad u_2 = 2602.8 \text{ kJ/kg}$$

$$\text{عليه ، } u_2 - u_1 = 2602.8 - 2385.3 \text{ kJ/kg}$$

$$= 217.5 \text{ kJ/kg}$$

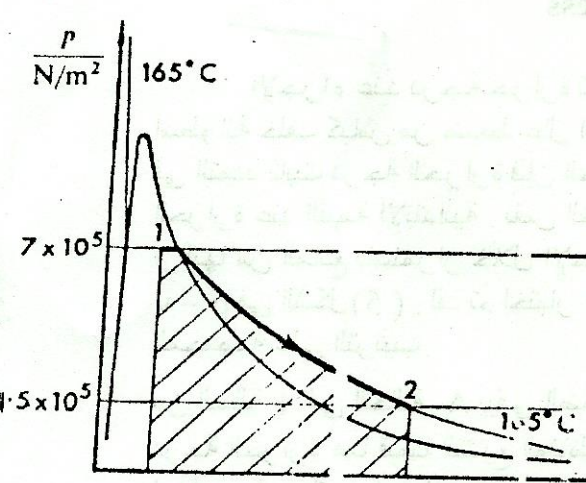


Fig. 2.6

الشكل(2.6)

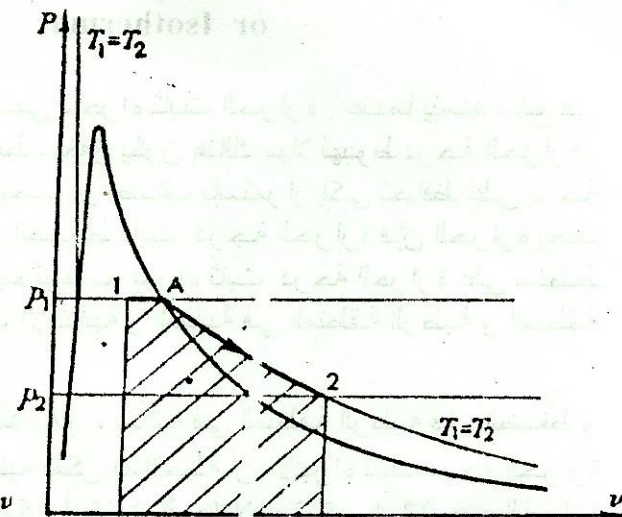


Fig. 2.5

الشكل(2.5)

$$h_1 = h_f + x h_{fg} = 697 + 0.9 \times 2067$$

$$\therefore h_1 = 697 + 1860.3 = 2557.3 \text{ kJ/kg}$$

بالإكمال من جداول التحبيص عند 1.5 bar و 165°C ، نحصل على ،

$$h_2 = 2773 + \frac{15}{50} (2873 - 2773) = 2773 + 30$$

$$\text{i.e. } h_2 = 2803 \text{ kJ/kg}$$

$$\text{i.e. } h_2 - h_1 = 2803 - 2557.3 = 245.7 \text{ kJ/kg}$$

من معادلة اليسريان 1.2

$$Q = (u_2 - u_1) + W$$

$$\therefore W = Q - (u_2 - u_1) = 547 - 217.5 = 329.5 \text{ kJ/kg}$$

i.e. الشغل المبذول بواسطة البخار = 329.5 kJ/kg

(الشغل المبذول يعطى أيضاً بالمعادلة على الشكل 6 ؛ هذا يمكن تقييمه فقط مخططياً).

الإجراء ثابت الحرارة لغاز مثالي يمكن التعامل معه بسهولة أكبر من الإجراء ثابت درجة الحرارة لبخار ، بما أن هناك قوانين محددة للغاز المثالي تربط علاقات p ، v و T ، و الطاقة الداخلية u سنحصل على

$$p v = RT$$

الآن عندما تكون درجة الحرارة ثابتة كما في إجراء ثابت درجة الحرارة وبالتالي نحصل على

$$p v = RT = \text{constant}$$

عليه لإجراء ثابت درجة الحرارة لغاز مثالي ،

$$p v = \text{Constant}$$

$$\text{i.e. } p_1 v_1 = p_2 v_2 = p_3 v_3 \quad \text{etc.}$$

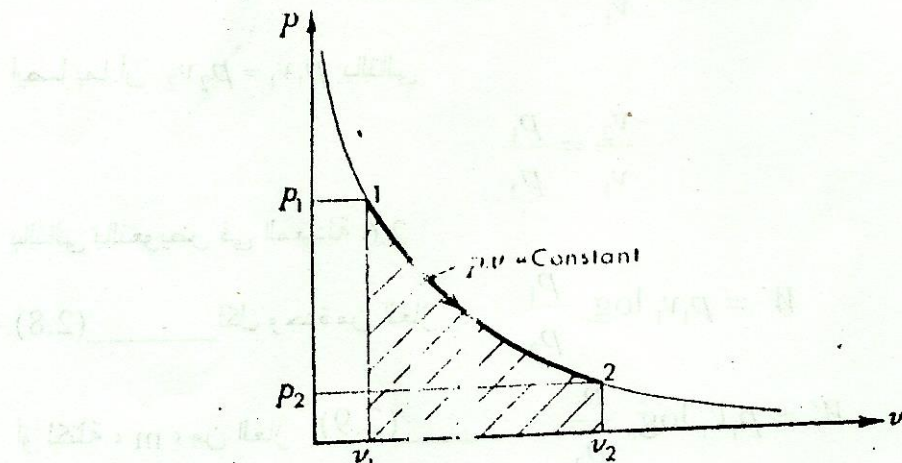


Fig. 2.7

(2.7)

في الشكل 7 يتم توضيح إجراء ثابت درجة الحرارة لغاز مثالي على مخطط $p - v$. تكون المعادلة للإجراء هي $p v = \text{constant}$ والتي هي معادلة قطع زائد. يجب التأكيد بأن الإجراء ثابت درجة الحرارة يكون فقط في الصورة $p v = \text{constant}$ لغاز مثالي ، لأن فقط لغاز مثالي يمكن تطبيق معادلة الحالة $p v = RT$. يتمدد الشغل المبذول بغاز مثالي من الحالة 1 إلى الحالة 2 بثبوت درجة الحرارة وبنعكاسية ويعطى بالمساحة المظللة على شكل 7.

$$W = \int_{v1}^{v2} p dv$$

في هذه الحالة $p = C/v$ أو $p v = \text{constant}$ (حيث مقدار ثابت C)

$$W = \int_{v1}^{v2} C \frac{dv}{v} = C \left[\log_e v \right]_{v1}^{v2} = C \log_e \frac{v_2}{v_1}$$

للثابت C يمكن كتابة إما ك $p_1 v_1 = p_2 v_2 = \text{constant}$ بما ان $p_1 v_1$ أو ك $p_2 v_2$

i.e. $W = p_1 v_1 \log_e \frac{v_2}{v_1}$ لكل وحدة من كتلة الغاز

أو $W = p_2 v_2 \log_e \frac{v_2}{v_1}$ لكل وحدة من كتلة الغاز

لكتلة ، m ، للغاز ،

$$W = p_1 v_1 \log_e \frac{v_2}{v_1} \quad (2.7)$$

أيضاً بما أن $p_1 v_1 = p_2 v_2$ وبالتالي

$$\frac{v_2}{v_1} = \frac{p_1}{p_2}$$

بالتالي بالتعويض في المعادلة 2.6

$$W = p_1 v_1 \log_e \frac{p_1}{p_2} \quad \text{لكل وحدة من الغاز} \quad (2.8)$$

$$W = p_1 V_1 \log_e \frac{p_1}{p_2} \quad (2.9) \quad \text{أو لكتلة ، } m \text{ ، من الغاز}$$

مستخدماً المعادلة

$$p_1 v_1 = RT$$

بالتالي بالتعويض في المعادلة 2.8

$$W = RT \log_e \frac{p_1}{p_2} \quad \text{لكل وحدة كتلة من الغاز} \quad (4.10)$$

أو لكتلة ، m ، الغاز

$$W = RT \log_e \frac{p_1}{p_2} \quad (2.11)$$

من الواضح أنه هنالك عدد كبير من المعادلات للشغل المبذول ، و لا يجب بذل أي محاولة لتذكرها بما أنها جميعاً يمكن إستقاقها ببساطة شديدة من المبادئ الأولية .
لغاز مثالي من قانون جول

$$U_2 - U_1 = mcv(T_2 - T_1)$$

بالتالي لإجراء ثابت درجة الحرارة لغاز مثالي ، بما أن $T_2 = T_1$ ، فإن

$$U_2 - U_1 = 0$$

i.e. تبقى الطاقة الداخلية ثابتة المقدار في إجراء ثابت درجة الحرارة لغاز مثالي .

من معادلة اللاسيان 1.2

$$Q = (u_2 - u_1) + W$$

بما أن $u_2 = u_1$ ، فإن

$$Q = W \quad (2.12)$$

لإجراء ثابت درجة الحرارة لغاز مثالي .

لاحظ أن سريان الحرارة يكون مكافئاً للشغل المبذول في إجراء ثابت درجة الحرارة لغاز مثالي فقط . من المثال (2) لبخار يلاحظ أنه ، بالرغم من أن الإجراء يكون ثابت درجة الحرارة ، فإن التغير في الطاقة الداخلية يكون مساوياً 217.5 kJ/kg ، و لا تكون الحرارة المكتسبة مكافئة للشغل المبذول .

مثال (3) : كتلة مقدارها 1 kg من النايتروجين (كتلته الجزيئية 28 kg/kmol) يتم إنضغاطها بإنعكاسية وبثبوت درجة الحرارة من 1.01 bar ، 20°C الى 4.2 bar . أحسب الشغل المبذول و سريان الحرارة أثناء الإجراء . افترض أن النايتروجين يكون غازاً مثالياً .

للنايتروجين ،

$$R = \frac{R_o}{M} = \frac{8.314}{28} = 0.297 \text{ kJ/kgK}$$

يكون الإجراء موضحاً على مخطط $p-v$ في الشكل 8 . لقد تمت الإشارة إلى أن الإجراء يحدث من اليمين إلى اليسار على مخطط $p-v$ وبالتالي فإن الشغل المبذول بواسطة المائع يكون سالباً . أى أن الشغل يكون مبذولاً على المائع .

من المعادلة 2.10

$$(2.10) \quad W = R T \log_e \frac{P_1}{P_2} = 0.297 \times 293 \times \log_e \frac{1.01}{4.2}$$

$$\text{i.e. } W = -0.297 \times 293 \times \log_e \frac{4.2}{1.01} = -0.297 \times 293 \times 1.425$$

$$(T = 20 + 273 = 293 \text{ K}) \quad \text{حيث}$$

$$\text{i.e. } +0.297 \times 293 \times 1.425 = 124 \text{ kJ/kg}$$

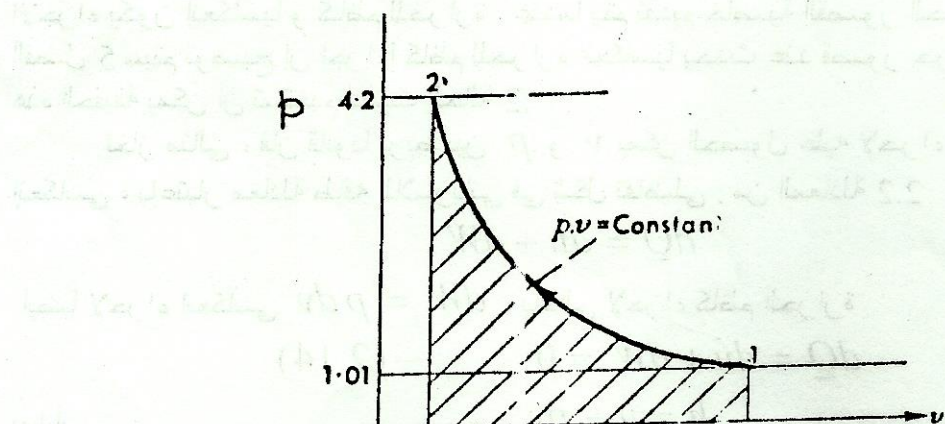


Fig. 2.8

الشكل (2.8)

من المعادلة 2.12 ، لإجراء ثابت الحرارة لغاز مثالي ،

$$Q = W = -124 \text{ kJ/kg}$$

$$\text{i.e. } +124 \text{ kJ/kg} \quad \text{حرارة المفقودة}$$

الإجراء اللاسريانى كاظم الحرارة الإنعكاسى:

Reversible adiabatic non-flow process

الإجراء كاظم الحرارة هو ذلك الإجراء الذى لا ينتقل فيه الحرارة إلى أو من المائع أثناء الإجراء . مثل هذا الإجراء يمكن أن يكون إنعكاسياً أو لا إنعكاسياً . سيتم اعتبار الإجراء اللاسريانى كاظم الحرارة الإنعكاسى فى هذا المقطع من معادلة اللاسريان 1.2

$$Q = (u_2 - u_1) + W$$

$$Q = 0$$

و لإجراء كاظم الحرارة ،
عليه نحصل على ،

$$(2.13) \quad \text{لأى إجراء كاظم الحرارة} \quad Q = u_2 - u_1$$

تكون المعادلة 2.13 صحيحة لإجراء كاظم الحرارة إذا ما كان الإجراء إنعكاسياً أم غير ذلك . فى التمدد كاظم الحرارة ، فإن التشغيل المبذول بواسطة المائع يكون على حساب الإنخفاض فى الطاقة الداخلية للمائع . نفس الشىء ، فى إجراء إنضغاط كاظم الحرارة فإن جميع التشغيل المبذول على المائع يؤدى لزيادة الطاقة الداخلية للمائع . لكي يحدث إجراء كاظم الحرارة ، يجب أن يكون هناك عزل حرارى مثالى متاحاً للنظام .

لبخار يؤدى إجراءً كاظم الحرارة إنعكاسياً فإن التشغيل المبذول يمكن إيجاده من المعادلة

2.13 بتقسيم $u_2 - u_1$ من الجداول . لكي يتم تثبيت الحالة 2 ، يجب استخدام الحقيقة القائلة أن الإجراء يكون إنعكاسياً و كاظم للحرارة . عندما يتم تقديم خاصية القصور الحراري ، فى الفصل 5 سيتم توضيح أن إجراءً كاظم للحرارة إنعكاسياً يحدث عند قصور حراري ثابت ، و هذه الحقيقة يمكن أن تستخدم لتثبيت الحالة 2 .

لغاز مثالى ، فإن قانوناً يربط بين p و v يمكن الحصول عليه لإجراء كاظم الحرارة إنعكاسى ، باعتبار معادلة طاقة اللاسريانى فى شكل تفاضلى . من المعادلة 2.2

$$dQ = du + dW$$

أيضاً لإجراء إنعكاسى $dW = p dv$ ، وبالتالي لإجراء كاظم الحرارة

$$dQ = du + p dv = 0 \quad -(2.14)$$

$$h = u + pv$$

$$dh = du + p dv + v dp$$

$$\text{i.e. } dQ = du + dW + p dv = dh - v dp$$

و بالتالى ،

$$dQ = dh - v dp = 0 \quad -(1.15)$$

بالتالى ،

$$du + \frac{RT dv}{v} = 0$$

$$u = c_v T \quad \text{أو} \quad du = c_v dT$$

$$\therefore c_v dT + \frac{RT dv}{v} = 0$$

بقسمة المعادلة $T\% = \frac{dT}{T}$ لإعطاء شكلاً يمكن تكامله ،

$$c_v \frac{dT}{T} + \frac{RT dv}{v} = 0$$

بالتكامل ،

$$c_v \log_e T + R \log_e v = \text{Constant}$$

، عليه بالتعويض ، $T = (p v) / R$

$$c_v \log_e \frac{p v}{R} + R \log_e v = \text{Constant}$$

بقسمة المعادلة $c_v \% = \frac{dp}{p}$

$$\log_e \frac{p v}{R} + \frac{R}{c_v} \log_e v = \text{Constant}$$

أيضاً

$$c_v = \frac{R}{(\gamma - 1)} \text{ او } \frac{R}{c_v} = \gamma - 1$$

بالتالي بالتعويض ،

$$\log_e \frac{p v}{R} + (\gamma - 1) \log_e v = \text{Constant}$$

$$\text{أو } \log_e \frac{p v}{R} + \log_e v^{\gamma-1} = \text{Constant}$$

$$\therefore \log_e \frac{p v v^{\gamma-1}}{R} = \text{Constant}$$

$$\text{i.e. } \log_e \frac{p v^\gamma}{R} = \text{Constant}$$

$$\text{i.e. } \log_e \frac{p v^\gamma}{R} = e^{(\text{constant})} = \text{Constant}$$

$$\text{أو } p v^\gamma = \text{Constant} \quad (2.16)$$

عليه سنملوك علاقة بسيطة بين p و v لأى غاز مثلى يؤدي إحياء كاظم الحرارة انعكاسى ، كل غاز مثلى يكون لديه قيمة خاصة ل γ .

العلاقات بين T ، v ، p يمكن اشتقاقها ،

$$\text{i.e. } p v = R T$$

$$\therefore p = \frac{R T}{v}$$

معوضاً في المعادلة 2.16،

$$= \text{Constant} \frac{RT}{v^\gamma}$$

i.e. $T v^{\gamma-1} = \text{Constant}$ (2.17)

ايضا $v = p / (RT)$ بالتعويض في المعادلة 2.16

$$= \text{Constant} P \left(\frac{RT}{P} \right)^\gamma$$

$$= \text{Constant} \cdot \frac{T^\gamma}{P^{\gamma-1}}$$

$$= \text{Constant} \cdot \frac{T^\gamma}{P^{\gamma-1}} \quad (2.18)$$

عليه لإجراء كاظم الحرارة إنعكاسي لغاز مثالي بين الحالات 1 و 2 يمكننا كتابة الآتى: من المعادلة 2.16

$$p_1 v_1^\gamma = p_2 v_2^\gamma \quad \text{أو} \quad \frac{p_1}{p_2} = \left(\frac{v_2}{v_1} \right)^\gamma \quad (2.19)$$

من المعادلة 2.17

$$T_1 v_1^{\gamma-1} = T_2 v_2^{\gamma-1} \quad \text{أو} \quad \frac{T_1}{T_2} = \left(\frac{v_2}{v_1} \right)^{\gamma-1} \quad (2.20)$$

من المعادلة 2.18،

$$\frac{T_1}{p_1^{(\gamma-1)/\gamma}} = \frac{T_2}{p_2^{(\gamma-1)/\gamma}} \quad \text{أو} \quad \frac{T_1}{T_2} = \left(\frac{p_2}{p_1} \right)^{(\gamma-1)/\gamma} \quad (2.21)$$

من المعادلة 2.13 فإن الشغل المبذول في إجراء كاظم الحرارة لكل kg من الغاز يعطى بـ $W = u_2 - u_1$. و يعطى الكسب في الطاقة الداخلية لغاز مثالي بالمعادلة

$$u_2 - u_1 = c_v (T_2 - T_1) \quad 1 \text{ kg} \quad \text{i.e.}$$

$$\therefore W = c_v (T_2 - T_1)$$

ايضا

$$c_p = \frac{R}{(\gamma - 1)}$$

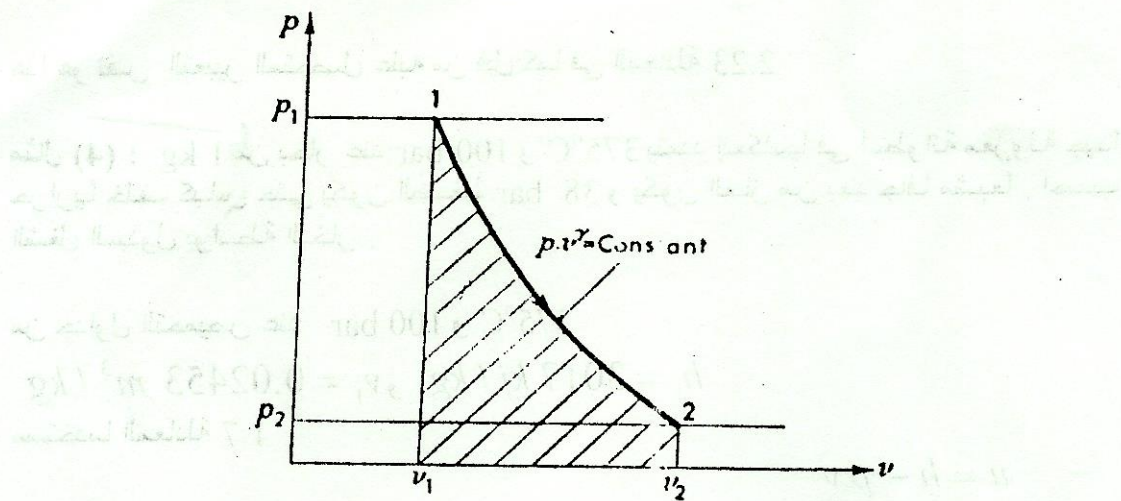


Fig. 2.9

الشكل(4.9)

بالتالي بالتعويض

$$W = \frac{R(T_1 - T_2)}{(\gamma - 1)} \quad (2.22)$$

مستخدماً المعادلة $p v = RT$

$$W = \frac{p_1 v_1 - p_2 v_2}{\gamma - 1} \quad (2.23)$$

يتم توضيح إجراء كاظم للحرارة لغاز مثالي على مخطط $P - v$ في الشكل 9، يعطى الشغل المبذول بالمساحة المظللة ، و هذه المساحة يمكن تقديرها بالتكامل،

$$W = \int_{v_1}^{v_2} p dv \text{ i.e.}$$

عليه بما أن $p v^\gamma = \text{constant}$ ، بالتالي

$$W = \int_{v_1}^{v_2} \frac{c dv}{v^\gamma}$$

$$\begin{aligned} \text{i.e. } W &= c \int_{v_1}^{v_2} \frac{dv}{v^\gamma} = c \left[\frac{v^{-\gamma+1}}{-\gamma+1} \right]_{v_1}^{v_2} \\ &= c \left(\frac{v_2^{-\gamma+1} - v_1^{-\gamma+1}}{1-\gamma} \right) = c \left(\frac{v_1^{-\gamma+1} - v_2^{-\gamma+1}}{\gamma-1} \right) \end{aligned}$$

بالتالي يمكن كتابة الثابت في هذه المعادلة ك $p_1 v_1^\gamma$ أو ك $p_2 v_2^\gamma$.

$$W = \frac{p_1 v_1^\gamma v_1^{1-\gamma} - p_2 v_2^\gamma v_2^{1-\gamma}}{\gamma-1} = \frac{p_1 v_1 - p_2 v_2}{\gamma-1}$$

$$W = \frac{p_1 v_1 - p_2 v_2}{\gamma-1}$$

هذا هو نفس التعبير المتحصل عليه من قبل كما في المعادلة 2.23

مثال (4) : 1 kg من بخار عند 100 bar و 375°C يتمدد إعكاسياً في أسطوانة معزولة جيداً حرارياً خلف كباس حتى يكون الضغط 38 bar ويكون الغاز من بعد جافاً مشبعاً . احسب الشغل المبذول بواسطة البخار .

من جداول التحميص عند 100 bar و 375°C

$$h_1 = 3017 \text{ kJ/kg} \quad v_1 = 0.02453 \text{ m}^3/\text{kg}$$

مستخدماً المعادلة 1.7

$$u = h - p v$$

$$\therefore u_1 = 3017 - \frac{100 \times 10^5 \times 0.0253}{10^3} = 2771.7 \text{ kJ/kg}$$

$$u_2 = u_g \text{ at } 38 \text{ bar} = 2602 \text{ kJ/kg}$$

أيضاً

بما أن الأسطوانة معزولة جيداً حرارياً وبالتالي يكون لا يكون هناك سريان حرارة إلى أو من البخار أثناء التمدد؛ وبالتالي يكون الإجراء كاظم الحرارة . مستخدماً المعادلة 2.13

$$W = u_1 - u_2 = 2771.7 - 2602$$

$$\therefore W = 169.7 \text{ kJ/kg}$$

يتم توضيح الإجراء على مخطط $p-v$ في الشكل 10 ، المساحة المظللة تمثل الشغل المبذول .

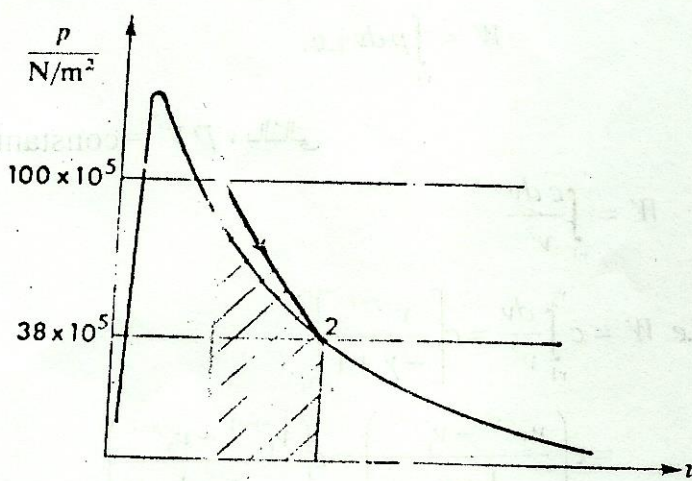


Fig. 2.10

الشكل (2.10)

مثال (5) : هواء عند 1.02 bar ، 22°C ، يكون ابتدائياً محتلاً حجماً لأسطوانة مقداره 0.015 m^3 ، يتم إنضغاطه إعكاسياً و بأجراء كاظم للحرارة بكباس إلى ضغط مقداره 6.8 bar احسب درجة الحرارة النهائية ، الحجم النهائي ، والشugal المبذول على كتلة الهواء في الأسطوانة .

من المعادلة 2.21

$$\frac{T_1}{T_2} = \left(\frac{P_1}{P_2} \right)^{(\gamma-1)/\gamma} \quad \text{أو} \quad T_2 = T_1 \times \left(\frac{P_2}{P_1} \right)^{(\gamma-1)/\gamma}$$

$$\text{i.e. } T_2 = 295 \times \left(\frac{6.8}{1.02} \right)^{(1.4-1)/1.4} = 295 \times 6.67^{0.286} = 295 \times 1.72 = 507.5 \text{ K}$$

(حيث γ للهواء = 1.4 ، $T_1 = 22 + 273 = 295 \text{ K}$)

$$\text{i.e. } \text{درجة الحرارة النهائية} = 507.5 - 273 = 234.5^\circ C$$

من المعادلة 2.19

$$\frac{P_1}{P_2} = \left(\frac{V_2}{V_1} \right)^\gamma \quad \text{أو} \quad \frac{V_1}{V_2} = \left(\frac{P_1}{P_2} \right)^{1/\gamma}$$

$$\therefore \frac{0.015}{V_2} = \left(\frac{6.8}{1.02} \right)^{1/1.4} = 6.67^{0.714} = 3.87$$

$$\therefore V_2 = \frac{0.015}{3.87} = 0.00388 \text{ m}^3$$

$$\text{i.e. } \text{الحجم النهائي} = 0.00388 \text{ m}^3$$

من المعادلة 2.13 لإجراء كاظم الحرارة

$$W = u_1 - u_2$$

ولغاز مثالي ، من المعادلة 2.14 $u = c_v T$ لكل kg من الغاز ،

$$\therefore W = c_v (T_1 - T_2) = 0.718 (295 - 507.5)$$

$$= -152.8 \text{ kJ/kg}$$

i.e. $\text{kg} = \text{شعل الدخل لكل} \quad 152.8 \text{ kJ}$

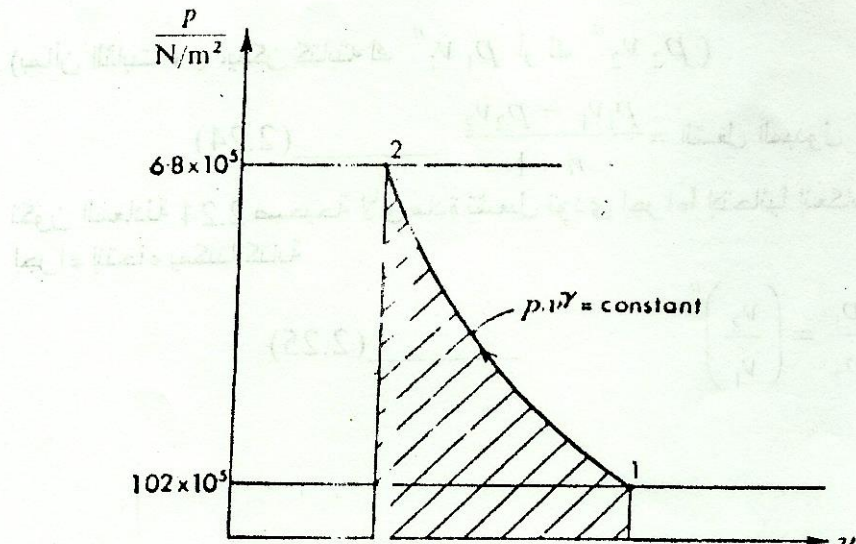


Fig. 2.11

الشكل (2.11)

كتلة الهواء يمكن إيجادها باستخدام المعادلة

$$\therefore m = \frac{p_1 v_1}{R T_1} = \frac{1.02 \times 10^5 \times 0.015}{0.287 \times 10^3 \times 295} = 0.0181 \text{ kg}$$

i.e. الشغل المبذول الكلى $= 0.0181 \times 152.8 = 2.76 \text{ kJ}$
يتم توضيح الإجراء على مخطط $p - v$ في الشكل رقم 11 ، تمثل المساحة المظللة الشغل المبذول لكل kg من الهواء .

Polytropic Process

2.3 إجراء متعدد الاتساع:-

وُجد أن هناك إجراءات عديدة في الواقع العملي يتم تقريرها لقانون إنعكاسي بالشكل $p v^n = \text{constant}$ حيث n هو مقدار ثابت . كل من البخار و الغازات تُطبع بمقارب هذا القانون في إجراءات لاسريان عديدة . مثل هذه الإجراءات تكون إنعكاسية داخلية . لأى إجراء إنعكاسي ،

$$W = \int_{v_1}^{v_2} p dv$$

لأى إجراء يكون فيه $p v^n = \text{constant}$ نحصل على $p = c / v^n$ حيث c هو مقدار ثابت

$$\therefore W = \int_{v_1}^{v_2} \frac{c dv}{v^n}$$

$$\begin{aligned} i.e. W &= c \int_{v_1}^{v_2} \frac{dv}{v^n} = c \left[\frac{v^{-n+1}}{-n+1} \right] = c \left(\frac{v_2^{-n+1} - v_1^{-n+1}}{-n+1} \right) \\ &= c \left(\frac{v_1^{1-n} - v_2^{1-n}}{n-1} \right) = \frac{p_1 v_1^n v_1^{1-n} - p_2 v_2^n v_2^{1-n}}{n-1} \end{aligned}$$

(بما أن الثابت ، c ، يمكن كتابته ك $p_1 v_1^n$ أو ك $p_2 v_2^n$)

$$i.e. \quad \frac{p_1 v_1 - p_2 v_2}{n-1} = \text{الشغل المبذول} \quad (2.24)$$

تكون المعادلة 2.24 صحيحة لأى مادة تشغيل تؤدى إجراءً انتهاياً إنعكاسياً . يتبع أيضاً أنه لأى إجراء انتهاء يمكننا كتابة

$$\frac{p_1}{p_2} = \left(\frac{v_2}{v_1} \right)^n \quad (2.25)$$

مثال (6) : في محرك بخار يكون البخار عند بداية إجراء التمدد 7 bar ، كسر جفاف 0.95 ، و يتبع التمدد القانون $p v^{1.1} = \text{constant}$ ، أسفل إلى ضغط مقداره 0.34 bar . أحسب الشغل المبذول لكل kg من البخار أثناء التمدد ، و سريان الحرارة لكل kg من البخار إلى أو من الأسطوانة أثناء التمدد.

$$v_g = 0.2728 \text{ m}^3 / \text{kg}$$

عند 7 bar ، عليه باستخدام المعادلة

$$v_1 = x v_g = 0.95 \times 0.2729 = 0.259 \text{ m}^3 / \text{kg}$$

بالتالي من المعادلة 2.25

$$\frac{p_1}{p_2} = \left(\frac{v_2}{v_1} \right)^n \quad \text{أو} \quad v_2 = v_1 \left(\frac{p_1}{p_2} \right)^{1/n}$$

$$\therefore v_2 = 0.259 \left(\frac{7}{0.34} \right)^{1/1.1} = 20.59 \times 0.259$$

$$= 15.64 \times 0.259 = 4.05 \text{ m}^3 / \text{kg}$$

من المعادلة 2.24 ،

$$W = \frac{p_1 v_1 - p_2 v_2}{n-1} = \frac{7 \times 10^5 \times 0.259 - 0.34 \times 10^5 \times 4.05}{1.1 - 1}$$

$$\text{i.e. } W = \frac{10^5}{0.1} (1.813 - 1.377) = \frac{10^5 \times 0.436}{0.1} \text{ N.m/kg}$$

$$\text{i.e. } \text{الشغل المبذول} = 436 \text{ kJ/kg}$$

$$\text{عند } 0.34 \text{ bar} , v_g = 4.6499 \text{ m}^3 / \text{kg}$$

عليه يكون البخار رطباً عند الحالة 2 ،

$$x_2 = \frac{4.05}{4.649} = 0.873$$

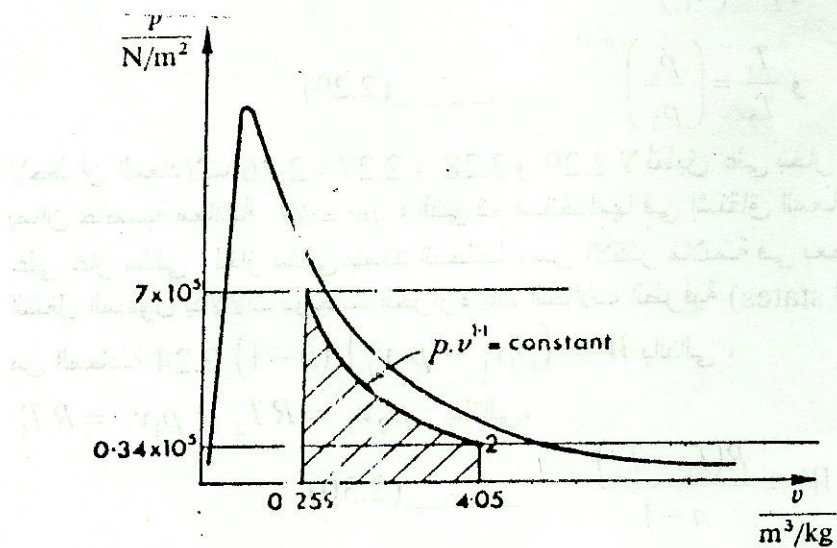


Fig. 2.12

الشكل (2.12)

يتم توضيح التمدد على مخطط $v-p$ في الشكل رقم 12 ، المساحة المظللة تحت 2 - 1 تمثل الشغل المبذول لكل kg من البخار.

$$u_1 = (1 - x_1)u_f + x_1 u_g = (1 - 0.95)696 + 0.95 \times 2573$$

$$i.e. u_1 = 34.8 + 2442 = 2476.8 \text{ kJ/kg}$$

$$u_2 = (1 - x_2)u_f + x_2 u_g = (1 - 0.873)302 + 0.873 \times 2447$$

$$i.e. u_2 = 38.35 + 2158 = 2196.4 \text{ kJ/kg}$$

من معادلة طاقة اللاسريان ، 1.2 ،

$$Q = (u_2 - u_1) + W = (2196.4 - 2476.8) + 436$$

$$i.e. Q = -280.4 + 436 = 155.6 \text{ kJ/kg}$$

$$i.e. \quad \text{الحرارة المكتسبة} = 155.6 \text{ kJ/kg}$$

اعتبر الآن إجراء الإنتحاء لغاز مثالي

$$pV = RT \quad \text{أو} \quad p = \frac{RT}{V}$$

بالتالي في المعادلة $pV^n = \text{constant}$ ، نحصل على ،

$$\frac{RT}{V} V^n = \text{constant} \quad \text{أو} \quad T V^{n-1} = \text{constant} \quad (2.26)$$

أيضاً بكتابة $V = (RT)/P$ نحصل على ،

$$P \left(\frac{RT}{P} \right)^n = \text{constant} \quad \text{أو} \quad \frac{T}{P^{(n-1)/n}} = \text{constant} \quad (2.27)$$

يمكن ملاحظة أن هذه المعادلات تكون مشابهة بالضبط للمعادلات 2.17 و 2.18 لإجراء كاظم الحرارة إنعكاسي لغاز مثالي حقيقة أن الإجراء كاظم الحرارة الإنعكاسي لغاز مثالي هو حالة خاصة لإجراء الإنتحاء بالأسس n ، مساواة 7.

يمكن كتابة المعادلات 2.26 و 2.27 كالتالي ،

$$\frac{T_1}{T_2} = \left(\frac{V_2}{V_1} \right)^{n-1} \quad (2.28)$$

$$\frac{T_1}{T_2} = \left(\frac{P_1}{P_2} \right)^{(n-1)/n} \quad (2.29)$$

لاحظ أن المعادلات 2.26 ، 2.27 ، 2.28 و 2.29 لا تُطبق على بخار لا يوجد إجراءً إنتحائياً بما أن خاصية معادلة $PV = RT$ ، التي تم استخدامها في إشتقاق المعادلات ، يتم تطبيقها فقط على غاز مثالي . لغاز مثالي يتعدد إنتحائياً ، من الأكثر ملائمة في بعض الأحيان التعبير عن الشغل المبذول بدلالة درجات الحرارة عند الحالات الظرفية (end states).

من المعادلة 2.24 $W = (P_1 V_1 - P_2 V_2)/(n-1)$ وبالتالي ،

$$P_2 V_2 = R T_2 \quad \text{و} \quad P_1 V_1 = R T_1$$

$$W = \frac{R(T_1 - T_2)}{n-1} \quad (2.30)$$

أو لكتلة ، m

$$W = \frac{m R(T_1 - T_2)}{n-1} \quad (2.31)$$

باستخدام معادلة طاقة اللاسريان 1.2 ، يمكن إيجاد سريان الحرارة أثناء الإجراء ،

$$\text{i.e. } Q = (u_2 - u_1) + W = c_v(T_2 - T_1) + \frac{R(T_1 - T_2)}{n-1}$$

$$\text{i.e. } Q = \frac{R(T_1 - T_2)}{n-1} - c_v(T_1 - T_2)$$

$$c_v = \frac{R}{(\gamma - 1)}$$

بالتالي بالتعويض

$$\text{i.e. } Q = \frac{R}{(n-1)}(T_1 - T_2) + \frac{R}{(\gamma - 1)}(T_1 - T_2)$$

$$\text{i.e. } Q = R(T_1 - T_2) \left(\frac{1}{n-1} - \frac{1}{\gamma - 1} \right) = \frac{R(T_1 - T_2)(\gamma - 1 - n + 1)}{(\gamma - 1)(n-1)}$$

$$\therefore Q = \frac{(\gamma - n)}{(\gamma - 1)} \frac{R(T_1 - T_2)}{(n-1)}$$

الآن من المعادلة $W = (p_1 v_1 - p_2 v_2)/(n-1)$ لكل وحدة من الغاز ،
عليه ،

$$Q = \left(\frac{\gamma - n}{\gamma - 1} \right) W \quad (2.32)$$

المعادلة 2.32 هي تعبيراً ملائماً و موجزاً يربط الحرارة المكتسبة و الشغل المبذول في إجراء الإنتحاء ، في التمدد ، بذل الشغل بالغاز ، و بالتالي فإن العنصر W يكون موجزاً . عليه يمكن الملاحظة من المعادلة 2.32 أنه عندما يكون أنس الإنتحاء n أقل من γ ، في تمدد ، بالتالي فإن الطرف الأيمن للمعادلة يكون موجزاً (i.e. يتم إمداد الحرارة أثناء الإجراء) . عكس ذاك ، عندما تكون n أكبر من γ في تمدد بالتالي فإن الحرارة يتم فقدانها بالغاز . نفس الشئ ، فإن التشغيل المبذول في إجراء انضغاط يكون سالباً ، عليه عندما تكون n أقل من γ في انضغاط ، فإن الحرارة يجب إمدادها إلى الغاز أثناء الإجراء . لقد تم التوضيح أن ل γ لجميع الغازات المثلية قيمة أكبر من وحدة .

مثال (7) : 1 من غاز مثالي يتم انضغاطه من 1.1 bar ، $27^\circ C$ ، حتى يكون الضغط $p v^{1.3} = \text{constant}$ طبقاً لقانون الأسطوانة :

a/ عندما يكون الغاز إيثان (الكتلة الجزيئية 30 kg/kmol) ، الذي له $c_p = 2.10 \text{ kJ/kgK}$

b/ عندما يكون الغاز أرجون (كتلة الجزيئية 40 kg/kmol) ، الذي له $c_p = 2.10 \text{ kJ/kgK}$

من المعادلة 2.29 ، لكلٍ من الإيثان والأرجون ،

$$\frac{T_1}{T_2} = \left(\frac{P_1}{P_2} \right)^{(n-1)/n} \quad \text{أو} \quad T_2 = T_1 \left(\frac{P_1}{P_2} \right)^{(n-1)/n}$$

$$i.e. \quad 300 \left(\frac{6.6}{1.1} \right)^{(1.3-1)/1.3} = 300 \times 6^{0.231} \times 1.512 = 453.6 K$$

$$(T_1 = 27 + 273 = 300 K) \quad \text{حيث}$$

$$R = R_o / M \quad , \text{عليه ، للإيثان ،}$$

$$R = \frac{8.314}{30} = 277 \text{ kJ/kgK}$$

$$c_p - c_v = R$$

$$c_v = 2.10 - 0.277 = 1.823 \text{ kJ/kgK}$$

$$(\text{حيث } c_p = 1.75 \text{ kJ/kgK للايثان}).$$

بالتالي

$$\gamma = \frac{c_p}{c_v} = \frac{2.10}{1.823} = 1.152$$

من المعادلة 2.30

$$W = \frac{R(T_1 - T_2)}{n-1} = \frac{0.277 \times (300 - 453.6)}{1.3 - 1} = -141.8 \text{ kJ/kg}$$

بالتالي من المعادلة 2.32

$$Q = \left(\frac{\gamma - n}{\gamma - 1} \right) W \left(\frac{1.152 - 1.3}{1.152} \right) \times -141.8 = -\frac{0.148}{0.152} \times -141.8$$

$$\therefore Q = + \frac{0.148 \times 141.8}{0.152} = 138.1 \text{ kJ/kg}$$

i.e. 138.1 kJ/kg = الحرارة المكتسبة

b/ باستخدام نفس الأسلوب للأرجون نحصل على ،

$$R = \frac{8.314}{40} = 0.208 \text{ kJ/kgK}$$

$$c_v = 0.520 - 0.208 = 0.312 \text{ kJ/kgK}$$

$$\therefore \gamma = \frac{0.520}{0.312} = 1.667$$

بالتالي فإن الشغل المبذول يعطى بـ

$$W = \frac{R(T_1 - T_2)}{n-1} = \frac{0.205 \times (300 - 453.6)}{1.3 - 1} = -106.5 \text{ kJ/kg}$$

بالتالي ،

$$Q = \left(\frac{\gamma - n}{\gamma - 1} \right) W = \left(\frac{1.667 - 1.3}{1.667} \right) \times -106.5 = -\frac{0.367 \times 106.5}{0.667}$$

$$\therefore Q = -58.6 \text{ kJ/kg}$$

i.e. 58.6 kJ/kg = الحرارة المفقودة

فى إجراء متعدد الإنتحاء فإن الأس n يعتمد فقط على كميات الحرارة و الشغل أثناء الإجراء . الإجراءات المتتوعة التي يتم اعتبارها فى المقاطع 2.1 و 2.2 هي حالات خاصة للإجراء متعدد الإنتحاء لغاز مثالى . كمثال ،

$pV^0 = \text{constant}$, i.e. $p = \text{constant}$ $n=0$ عندما

$pV^0 = \text{constant}$. $pV^{1/\infty} = \text{constant}$, i.e. $V = \text{constant}$ $n=\infty$ عندما

$pV = \text{constant}$, i.e. $T = \text{constant}$ $n=1$ عندما

(بما أن $pV/T = \text{constant}$ لغاز مثالى)

عندما $\gamma = n$ كاظم الحرارة إنعكاسي ,i.e. $pV^\gamma = \text{constant}$

هذه يتم توضيحها على مخطط p - V في الشكل رقم (13) . هكذا ،

الحالة 1 إلى الحالة A هي تبريد ثابت الضغط ($n=0$) ;

الحالة 1 إلى الحالة B هي انضغاط ثابت درجة الحرارة ($n=1$) ;

الحالة 1 إلى الحالة C هي انضغاط كاظم الحرارة إنعكاسي ($n=\gamma$) ;

الحالة 1 إلى الحالة D هي تسخين ثابت الحجم ($n=\infty$) ;

نفس الشئ ، 1 إلى A' هي تسخين ثابت الضغط ، 1 إلى B' هي تمدد ثابت الحرارة ؛ 1 إلى

C' هي تمدد كاظم الحرارة إنعكاسي ؛ 1 إلى D' هي تبريد ثابت الحجم . لاحظ أنه ، بما أن

γ تكون دائمًا هي أكبر من وحدة ، وبالتالي فإن الإجراء 1 إلى C يجب أن يقع بين الإجراءات 1

إلى B و 1 إلى D؛ نفس الشئ ، فإن الإجراء 1 إلى C' يجب أن يقع بين 1 إلى

و 1 إلى D' .

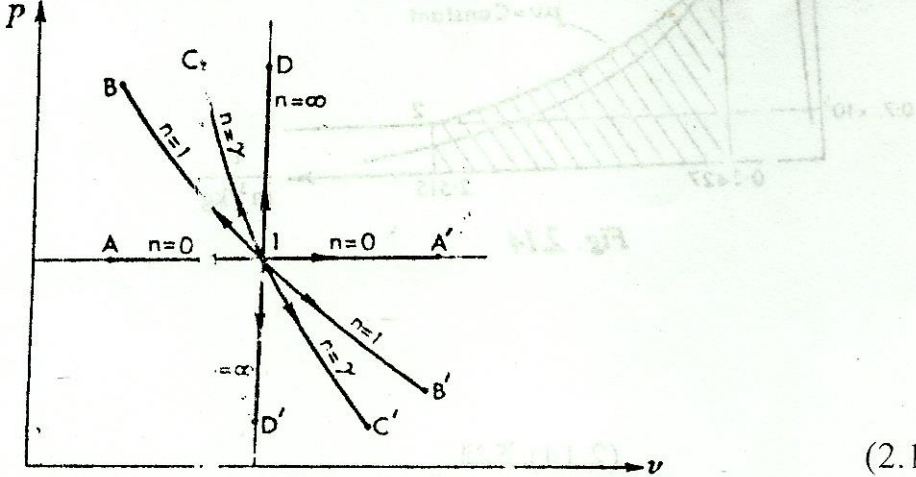
ل Baxter فإن تعديمه مثل عاليه لا يكون ممكناً .

هناك إجراءً واحداً هاماً لـ Baxter يجب ذكرها هنا . الـ Baxter يمكن أن يؤدي إجراءً طبقاً لقانون

$pV = RT$. في هذه الحالة ، بما أن معادلة الخاصية للحالة $pV = \text{constant}$ ، لا يتم

تطبيقاتها إلى بخار ، فإن الإجراء لا يكون ثابت درجة الحرارة . يجب استخدام جداول لإيجاد

الخواص عند الحالات الظرفية ، بالاستفادة من الحقيقة التي تقول أن $p_1V_1 = p_2V_2$



الشكل (2.13)

Fig. 2.13

مثال (8) :

في أسطوانة محرك بخار يتمدد البخار من 0.75 bar إلى 5.5 bar طبقاً لقطع ذاتي $pv = \text{constant}$. إذا كان البخار ابتدأناه جافاً مشبعاً، أحسب الشغل المعمول (المبذول) لكل kg من البخار، وسريان الحرارة إلى أو من جدران الأسطوانة.

عند 5.5 bar

$$v_1 = v_g = 0.3427 \text{ m}^3 / \text{kg}$$

بالتالي ،

$$p_1 v_1 = p_2 v_2$$

$$\therefore v_2 = \frac{p_1 v_1}{p_2} = \frac{5.5 \times 0.3427}{0.75} = 2.515 \text{ m}^3 / \text{kg}$$

عند 0.75 bar ، بالتالي يكون البخار محمضاً عند الحالة 2 ، بالإستكمال من جداول التحميص عند 0.75 bar نحصل على ،

$$u_2 = 2510 + \left(\frac{2.515 - 2.271}{2.588 - 2.271} \right) (2585 - 2510)$$

$$\text{i.e. } u_2 = 2510 + 57.7$$

$$= 2567.7 \text{ kJ/kg}$$

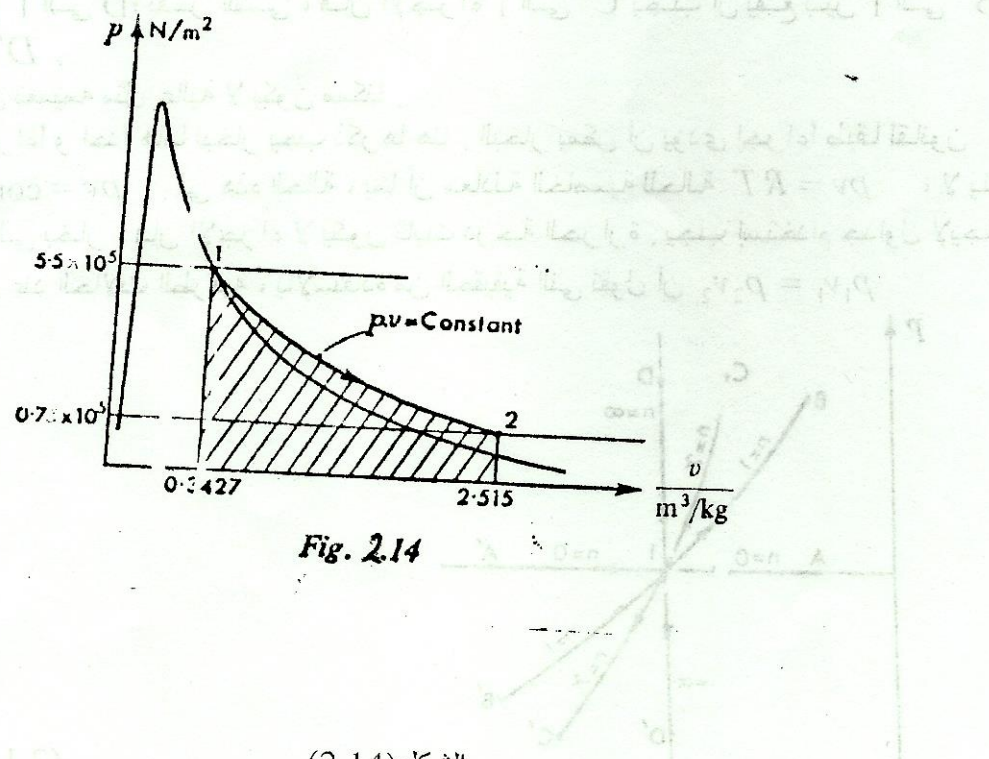


Fig. 2.14

الشكل (2.14)

لخار جاف مشبع عند ضغط 5.5 bar

$$u_1 = u_2 = 2565 \text{ kJ/kg}$$

بالتالي ،

$2567.7 - 2565 = 2.7 \text{ kJ/kg}$ الكسب في الحرارة الداخلية
يتم توضيح الإجراء على مخطط $v-p$ في الشكل رقم 14 ، حيث أن المساحة المظللة تمثل
الشغل المبذول.

$$W = \int_{v_1}^{v_2} p dv = \int_{v_1}^{v_2} \left(\frac{\text{cons ant}}{v} \right) dv \\ = (\text{cons ant}) [\log_e v]_{v_1}^{v_2}$$

إما أن يكون الثابت $p_1 v_1$ أو $p_2 v_2$ ، i.e.

$$W = 5.5 \times 10^5 \times 0.3427 \times \log_e \frac{v_2}{v_1} = 5.5 \times 10^5 \times 0.3427 \times \log_e \frac{p_1}{p_2}$$

$$\therefore W = 5.5 \times 10^5 \times 0.3427 \times \log_e \frac{5.5}{0.75} = 375,500 \text{ N.m/kg}$$

من معادلة طاقة اللاسريان ، 2.2 ،

$$Q = (u_2 - u_1) + W = 2.7 + \frac{375,500}{10^3} 2.7 + 375.5 = 378.2$$

i.e. $= 378.2 \text{ kJ/kg}$

الإجراءات الإنعكاسية : Irreversible process

لقد تم ذكر أحكام الإنعكاسية في المقطع 1.4 يمكن استخدام معادلات المقاطع 2.1 ، 2.2 و 2.3 فقط عندما يطبع الإجراء أحكاماً معينة بتقريب جيد . في إجراءات يكون فيها المائع محاطاً بأسطوانة خلف كباس ، يمكن افتراض أن تأثيرات الإحتكاك يتم تجاهلها . على أي حال ، لكي يتم تحقيق الحكم (ج) يجب أن لا يكون هناك انتقال للحرارة إلى أو من النظام خلال فرق درجة حرارة محدد (كبير) . فقط يمكن تخيل هذا في إجراء ثابت الحرارة ، بما أنه في جميع الإجراءات الأخرى تكون درجة حرارة النظام متغيرة بإستمرار أثناء الإجراء ؛ لكي يتم تحقيق الحكم (c) فإن درجة حرارة وسيط التبريد أو التسخين خارج النظام سيتطلب تغييرها تبعاً لذلك . مثلاً يمكن تخيل طريقة ما لتحقيق الإنعكاسية ، لكن في الواقع العملي لا يمكن حتى قبولها كتقريب . بالرغم من ذلك ، إذا قلنا بلا إنعكاسيات مؤكدة في البيئة المحيطة تؤدي تغييراً لا إنعكاسياً . معظم الإجراءات التي تحدث في أسطوانة خلف كباس يمكن افتراض أنها تكون إنعكاسية داخلياً كتقريب جيد ، و يمكن استخدام المعادلات للمقاطع 2.1 ، 2.2 ، 2.3 حيثما يمكن تطبيقهما . بعض الإجراءات لا يمكن افتراض أنها إنعكاسية داخلياً ، و سيتم الآن باختصار مناقشة الحالات الهمة .

free

Unresisted , or expansion

التمدد غير المقاوم أو الحر :-

لقد تم ذكر هذا الإجراء مسبقاً و لكن يتم توضيح أنه في إجراءً لا إنعكاسياً فإن الشغل

المبذول لا يعطى بالمعادلة $W = \int p dV$. اعتبر وعاءان A و B ، يتم توصيلهما بيناً

بمسورة قصيرة بصمام X ، و عزلهما حرارياً بمثالية (انظر الشكل 15) . ابتدائياً يجعل الوعاء A يكون مملأً بغاز عند ضغط معين ، و يجعل B يكون مفرغاً كلياً عندما يتم فتح الصمام X فإن المائع في A سيتمدد سريعاً ليملأ كلا الوعاءين A و B . و سيكون الضغط النهائي أقل من الضغط الابتدائي في الوعاء A . هذا يُعرف بالتمدد غير المقاوم أو التمدد الحر . لا يكون الإجراء إنعكاسياً ، بما أن شغلاً خارجياً يجب أداءه لإرجاع المائع إلى حالته الابتدائية.

$$\text{i.e. } Q = (u_2 - u_1) + W$$

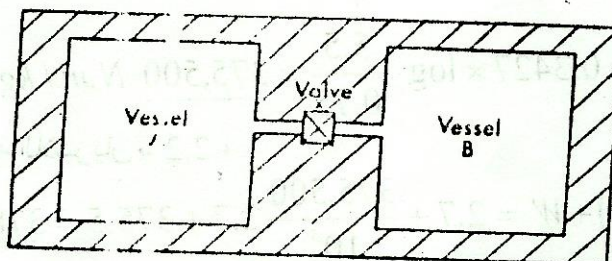


Fig. 2.15

الشكل (2.15)

الآن في هذا الإجراء لا يكون هناك شغلاً مبذولاً على أو بالغاز ، بما أن حد النظام لا يتحرك . لا يكون هناك إنسياپ حرارة إلى أو من المائع بما أن النظام معزول جيداً وبالتالي فإن الإجراء يكون كاظم للحرارة ، لكن لا إنعكاسياً .

$$\text{i.e. } u_2 - u_1 = 0 \quad \text{or} \quad u_2 = u_1$$

بالناتي في التمدد الحر فإن الطاقة الداخلية الابتدائية تساوي الطاقة الداخلية النهائية .

لغاز مثالي ، من المعادلة 1.14 نحصل على ،

$$u = c_v T$$

عليه لتمدد حر لغازاً مثالياً

$$c_v T_1 = c_v T_2$$

$$\text{i.e. } T_1 = T_2$$

عليه لغاز مثالي يؤدى تمدداً حرراً ، فإن درجة الحرارة الابتدائية تكون مكافئة لدرجة الحرارة النهائية .

مثال (9) : هواء عند bar 20 يكون بدايةً محبواً في وعاء A للشكل رقم (15) ، يمكن افتراض أن حجمه يكون m^3 . يتم فتح الصمام X ويتمدد الهواء ليملأ الوعاءين A و B . مفترضاً أن الوعاءان يكونان بحجم مكافئ ، أحسب الضغط النهائي للهواء .

لغاز يتمدد حر $T_2 = T_1$. أيضاً من المعادلة $pv = mRT$ ،
بالناتي $p_1v_1 = p_2v_2$

الآن فإن الحجم V_2 هي الحجم المتحد للوعاءان A و B ،
i.e. $V_2 = V_A + V_B = 1 + 1 = 2 m^3$, $V_1 = 1 m^3$

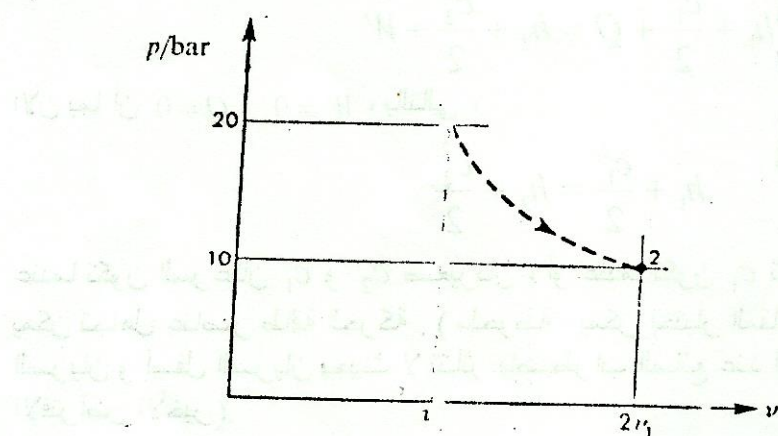


Fig. 16

الشكل (16)

عليه نحصل على

$$p_2 = p_1 \frac{V_1}{V_2} = 20 \times \frac{1}{2} = 10 \text{ bar}$$

i.e. الضغط النهائي = 10 bar

يتم توضيح الإجراء على مخطط $v-p$ في الشكل رقم (16) . يتم تثبيت الحالة 1 عند 20 bar و $1 m^3$ بمعلومية كتلة الغاز ؛ يتم تثبيت الحالة 2 عند 10 bar و $2 m^3$ لنفس كتلة الغاز . يكون الإجراء بين هاتين الحالتين لابعاً و يجب رسمه متقطعاً . النقاط 1 و 2 تقع على خط ثابت درجة الحرارة ، لكن الإجراء بين 1 و 2 لا يمكن تسميته إجراء ثابت درجة الحرارة ، بما أن درجات الحرارة الوسطية لا تكون هي نفسها خلال الإجراء . لا يكون هناك شغلاً مبذولاً خلال إجراء ، و لا تمثل المساحة المظللة تحت الخط المنقط الشغل المبذول .

الخنق : Throttling

يُقال لسريان مائع من خنق عندما يكون هناك بعض التقييد للسريان ، عندما تكون السرعات قبل وبعد التقييد إما متساوية أو صغيرة أو بحيث يمكن تجاهلها ، و عندما يكون هناك فقد حرارة إلى البيئة المحيطة يتم تجاهله . التقييد للسريان يمكن أن يكون فتح جزئي لصمام ، ثقب ، أو أي خفض مفاجئ آخر في مساحة المقطع العرضي للسريان.

هناك مثلاً للخنق يتم توضيحه في الشكل (17) . يناسب المائع بإستقرار على طول ماسورة معزولة جيداً و يمر خلال ثقب عند المقطع X . بما أن الماسورة تكون معزولة جيداً يمكن إفتراض أنه لا يكون هناك سريان للحرارة إلى أو من المائع . يمكن تطبيق معادلة السريان

(1.8) بين أي مقطعين للسريان ،

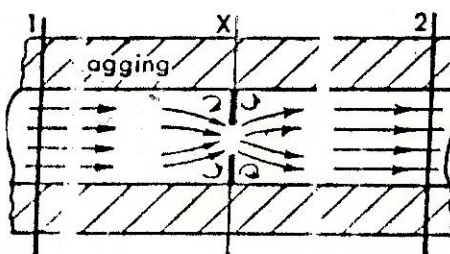


Fig. 2.17

$$h_1 + \frac{c_1^2}{2} + Q = h_2 + \frac{c_2^2}{2} + W$$

الآن بما أن $Q = 0$ و $W = 0$ ، وبالتالي ،

$$h_1 + \frac{c_1^2}{2} = h_2 + \frac{c_2^2}{2}$$

عندما تكون السرعات c_1 و c_2 صغيرتان ، أو عندما تكون c_1 تقريباً متساوية ل c_2 ، وبالتالي يمكن تجاهل عناصر طاقة الحركة . (ملحوظة : يمكن اختبار المقاطع 1 و 2 بصورة جيدة أعلى السريان و أسفل السريان بحيث لا تتأثر بإضطراب المائع عند الخنق ، وبحيث يمكن تبرير الإفتراض الأخير).

$$h_1 = h_2$$

عليه لإجراء خنق فإن المحتوى الحراري الإبتدائي يكون مكافئاً للمحتوى الحراري النهائي . يكون الإجراء كاظم للحرارة ، لكنه على الأبعادية بسبب تدويم المائع حول الثقب عند X . بين المقاطع 1 و X يهبط المحتوى الحراري وتزيد طاقة الحركة كلما تسارع المائع خلال الثقب . بين المقاطع X و 2 يزيد المحتوى الحراري بتحطم طاقة الحركة بدوريات المائع .

لغاز مثل $h = c_p T$ ، عليه ،

$$c_p T_1 = c_p T_2 \quad \text{أو} \quad T_1 = T_2$$

عليه لخنق غاز مثالى فإن درجة الحرارة الإبتدائية تكافئ درجة الحرارة النهائية .

مثال (10) : بخار عند bar 19 يتم خفقه إلى bar 1 و وجد أن درجة الحرارة بعد الخنق تساوى $150^\circ C$. أحسب كسر الجفاف الإبتدائى للبخار .

من جداول التحميص 1 و $150^\circ C$ نحصل $h_2 = 2777 \text{ kJ/kg}$. وبالتالي للخنق ،

$$h_1 = h_2 = 2777 \text{ kJ/kg}$$

مستخدماً المعادلة

$$h_1 = h_f + x_1 h_{fg}$$

$$\text{i.e. } 2777 = 897 + x_1 \times 1901$$

$$\therefore x_1 = \frac{1880}{1910} = 0.989$$

$$\text{i.e. } \text{كسر الجفاف الابتدائي} = 0.989$$

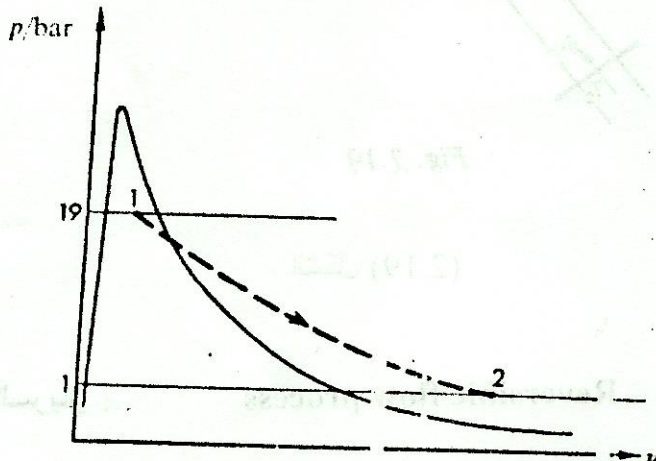


Fig. 2.18

(2.18)

يتم توضيح الإجراء على مخطط $p - v$ في الشكل رقم (18). يتم تثبيت الحالات 1 و 2 ، لكن لا يتم تحديد الحالات الوسطية ، يجب رسم الإجراء منقطاً كما موضح . لا يكون هناك شغلاً مبذولاً خلال الإجراء ، و المساحة تحت الخط 2 - 1 لا تكون متساوية للشغل المبذول . لبخار يمكن استخدام الخنق كوسيلة لإيجاد كسر الجفاف للبخار الرطب ، كما في المثال (10) . هذه سيتعامل معها بتفاصيل أكثر في المقطع 7.4 .

Adiabatic mixing

الخلطة الأدبياتية

خلط جدولين من مائع يكون عاديًا إلى حد بعيد في تطبيقات الهندسية ، و عادة يمكن افتراض حدوثه أدبياتياً (كامض للحرارة) . اعتبر جدولين من خليط لمائع كما موضح في الشكل رقم (19) . إجعل للجداول معادلات إنساب كتلة \dot{m}_1 و \dot{m}_2 ، و درجات حرارة T_1 و T_2 . إجعل للجدول المخلوط الناتج درجة حرارة T_3 . لا يكون هناك سريان حرارة إلى أو من المائع ، و لا يكون هناك شغلاً مبذولاً ، وبالتالي من معادلة السريان ،
بتجاهل التغيرات في طاقة الحركة نحصل على ،

$$H_1 + H_2 = H_3 \quad \dot{m}_1 h_1 + \dot{m}_2 h_2 = (\dot{m}_1 + \dot{m}_2) h_3 \quad (2.33)$$

أو لغاز ، من المعادلة $h = c_p T$ ، $h = c_p T_3$ ، وبالتالي ،

$$\dot{m}_1 c_p T_1 + \dot{m}_2 c_p T_2 = (\dot{m}_1 + \dot{m}_2) c_p T_3$$

$$\text{i.e. } \dot{m}_1 T_1 + \dot{m}_2 T_2 = (\dot{m}_1 + \dot{m}_2) T_3 \quad (2.34)$$

يكون إجراء الخلطة على الانعكاسية نتيجة للمقدار الضخم للتدوير الذي يحدث للمائع

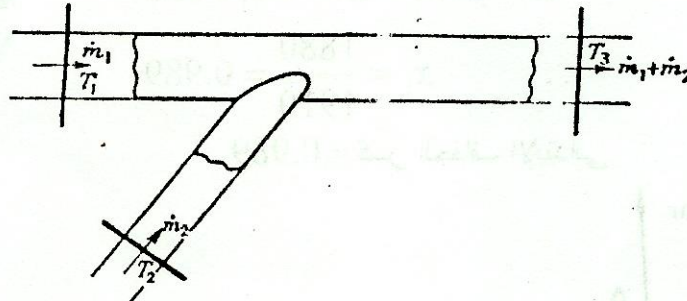


Fig. 2.19

(2.19) الشكل

Reversible flow process

2.5- إجراءت السريان :

بالرغم من أن إجراءات السريان تكون عادة عالية الإنعكاسية في الواقع العملي ، من الملائم في بعض الأحيان إفتراض أن إجراء السريان يكون إنعكاسياً و ذلك لكي يتم إعطاء مقارنة مثالية . المشاهد المنتقل مع سريان المائع سيلاحظ تغيراً في الخواص الديناميكية الحرارية كما في حالة إجراء أو ال拉斯ريان . كمثال في إجراء كاظم الحرارة إنعكاسي لغاز مثالي ، فإن المشاهد المنتقل مع الغاز سيلاحظ حدوث الإجراء $p v^r = const.$ ، لكن الشغل المبذول

بالغاز سوف يعطى بالمعادلة $\int p dv$ ، أو بتغير الطاقة الداخلية كما موضح بالمعادلة 2.13.

هناك بعض الشغل يتم بذلك على أو بالغاز بتأثير القوى التي تعمل بين الغاز المتحرك و بيته المحيطة . كمثال ، لإجراء سريان كاظم الحرارة إنعكاسي لغاز مثالي ، من معادلة السريان 1.8

$$h_1 + \frac{c_1^2}{2} + Q = h_2 + \frac{c_2^2}{2} + W$$

بالتالي بما أن $Q = 0$ ،

$$W = (h_1 - h_2) + \left(\frac{c_1^2 - c_2^2}{2} \right)$$

أيضاً بما أن الإجراء يتم إفتراضه إنعكاسياً و عليه و لغاز مثالي $p v^r = const.$

هذه المعادلة يمكن استخدامها لتثبيت الحالات الطرفية .

ملحوظة : حتى لو كانت عناصر الاطلاقات الحركية صغيرة يمكن تجاهلها ، فإن الشغل المبذول في إجراء سريان كاظم الحرارة إنعكاسي بين حالتين لا يكون مساوياً للشغل المبذول في إجراء لاسريان كاظم الحرارة إنعكاسي بين نفس الحالتين ($u_2 - u_1$) i.e. $W = (u_2 - u_1)$ كما في المعادلة

(2.13)

مثال (11) : توربينة غاز تستقبل غازات من غرفة الاحتراق عند 7 bar و 650°C وبسرعة مقدارها 9 m/s . تغادر الغازات التوربينة عند 1 bar ، بسرعة 45 m/s . مفترضاً أن التمدد أن التمدد يكون كاظماً للحرارة و إبعاكسيًّا في الحالة المثلثية ، أحسب الشغل المبذول لكل kg

$$c_p = 1.11 \text{ kJ/kgK} \quad \gamma = 1.333$$

مستخدماً معادلة السريان و لإجراء كاظم الحرارة

$$W = (h_1 - h_2) + \left(\frac{c_1^2 - c_2^2}{2} \right)$$

لغاز مثالي من المعادلة $h = c_p T$ ، عليه ،

$$W = c_p (T_1 - T_2) + \left(\frac{c_1^2 - c_2^2}{2} \right)$$

لإيجاد T_2 يستخدم المعادلة 2.21 ،

$$\frac{T_1}{T_2} = \left(\frac{P_1}{P_2} \right)^{(\gamma-1)/\gamma}$$

$$i.e. \frac{T_1}{T_2} = \left(\frac{7}{1} \right)^{(1.333-1)/1.333} = 7^{0.25} = 1.627$$

$$\therefore T_2 = \frac{T_1}{1.627} = \frac{923}{1.627} = 567 \text{ K}$$

$$(T_1 = 650 + 273 = 923 \text{ K})$$

بالتالي بالتعويض ،

$$W = 1.11(923 - 567) + \left(\frac{9^2 - 45^2}{2 \times 10^3} \right)$$

$$i.e. W = 395.2 - 0.97 = 394.2 \text{ kJ/kg}$$

لاحظ أن تغير طاقة الحركة يكون صغيراً مقارنةً بتغير المحتوى الحراري . هذه هي غالباً الحالات في مسائل إجراءات السريان ، ويمكن في بعض الأحيان تجاهل التغير في طاقة الحركة .

2.6- إجراءات السريان اللامستقر :-

أولي

في الواقع العملي هناك الكثير من الحالات يكون فيها معدل سريان الكتلة العابر لحد نظام عند المدخل غير مساوٍ لمعدل سريان الكتلة عند المخرج . أيضاً ، فإن المعدل الذي يبذل به الشغل على أو بالمانع ، والمعدل الذي تنتقل به الحرارة إلى أو بالنظام لا يكون ثابتاً مع الزمن . في مثل هذه الحالة فإن الطاقة الكلية لا تبقى ثابتة خلال حد النظم ، كما هو الحال في إجراء سريان مستقر ، بل تتغير مع الزمن .

اجعل الطاقة الكلية للنظام خلال حد النظم عند أي لحظة تساوى E . أثناء فترة زمنية صغيرة ، اجعل الكتلة المدخلة للنظام δm_1 ، و اجعل الكتلة المغادرة للنظام تكون δm_2 ؛ اجعل الحرارة

المنقولة و الشغل المبذول خلال نفس الزمن يكونا δQ و δW على الترتيب . اعتبر نظاماً مماثلاً الموضح في الشكل 1.3 ، يتم أداء شغل عند المدخل و المخرج في إدخال و إخراج الكتلة عبر الحدود النظام .

$$\text{i.e. } \delta m_1 p_1 v_1 = \text{الطاقة المطلوبة عند المدخل}$$

$$\delta m_2 p_2 v_2 = \text{الطاقة المطلوبة عند المخرج}$$

أيضاً ، كما من قبل ، فإن الطاقة لوحدة كتلة للمائع المنساب تعطى بـ $(u_1 + c_1^2/2 + z_1 g)$

$$\text{عند المدخل ، وبـ } (u_2 + c_2^2/2 + z_2 g) \text{ عند المخرج}$$

بالتالي ،

$$\delta Q + \delta m_1 (u_1 + c_1^2/2 + z_1 g) + \delta m_1 p_1 v_1 = \text{الطاقة الداخلية للنظام}$$

و

$$\delta W + \delta m_2 (u_2 + c_2^2/2 + z_2 g) + \delta m_2 p_2 v_2 = \text{الطاقة المغادرة للنظام}$$

بتطبيق القانون الأول :-

$$\delta E = \text{طاقة الدخلة للنظام} - \text{طاقة المغادرة} = \text{زيادة طاقة النظام}$$

$$\delta Q + \delta m_1 (u_1 + c_1^2/2 + z_1 g + p_1 v_1) - \delta W - \delta m_2 (u_2 + c_2^2/2 + z_2 g + p_2 v_2) = \delta E$$

$$\Sigma \delta Q = Q \quad \text{خلال زمن كبير فإن الحرارة المنقولة الكلية تعطى بـ}$$

$$\Sigma \delta W = W \quad \text{و الشغل المبذول الكلي يعطى بـ}$$

إجعل الكتلة الإبتدائية خلال حدود النظام تكون مساوية لـ m' ، و الطاقة عند نهاية الفترة

الزمنية تكون m'' ، و الطاقة الداخلية النهائية تكون u' .

$$\therefore \Sigma \delta E = m'' u'' - m' u'$$

عليه نحصل على :

$$\delta Q + \delta m_1 (u_1 + p_1 v_1 + c_1^2/2 + z_1 g) = \delta W + \Sigma \delta m_2 (u_2 + p_2 v_2 + c_2^2/2 + z_2 g)$$

2.36

أيضاً من إجراء استمرارية الكتلة :

$$\text{الكتلة الدخلة} - \text{الكتلة المغادرة} = \text{زيادة الكتلة خلال حد النظام}$$

$$\text{i.e. } \therefore \Sigma \delta m_1 - \Sigma \delta m_2 = m'' - m' \quad (2.37)$$

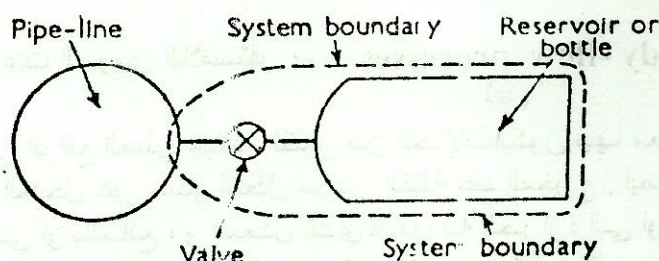


Fig. 2.20

الشكل (2.20)

إحدى المسائل الأكثر حدوثاً ضمن معادلة السريان اللامتسق هي ملء زجاجة أو وعاء من مصدر ضخم مقارنة بالزجاجة أو الوعاء . الشكل 2.20 يوضح مثلاً نموذجياً . يتم إفتراض أن حالة المائع في خط المواسير تكون غير متغيرة أثناء إجراء الملمء . في هذه الحالة لا يكون هناك شغلاً مبذولاً على حد النظام ؛ أيضاً ، لا تكون هناك كتلة مغادرة للنظام أثناء الإجراء ، وبالتالي ،

$$\delta m_2 = 0$$

بتطبيق المعادلة 2.36 ، وبعمل إفتراض إضافي أن التغييرات في طاقة الوضع تكون صنفية ، وان طاقة الحركة $\frac{1}{2} h^2$ تكون صغيرة بالمقارنة مع المحتوى الحراري ، h ، نحصل على :

$$Q + \sum \delta m_1 h_1 = m'' u'' - m' u'$$

أو بما أن h_1 تكون ثابتة أثناء الإجراء

$$Q + h_1 \sum \delta m_1 = m'' u'' - m' u'$$

في هذه الحالة فإن المعادلة 2.37 تصبح :

$$\therefore \sum \delta m_1 = m'' - m'$$

بالتالي بالتعويض :

$$Q + h_1 (m'' - m') = m'' u'' - m' u' \quad (2.38)$$

من الممكن غالباً إفتراض أن الإجراء يكون كاظماً للحرارة ، وفي تلك الحالة نحصل على ،

$$h_1 (m'' - m') = m'' u'' - m' u'$$

أو بالكلمات : المحتوى الحراري لكتلة الذي يدخل إلى الزجاجة = زيادة الطاقة الداخلية للنظام .

مثال (12) : وعاء صد (غير مرن) بحجم $m^3 = 10$ يحوى بخاراً عند ضغط 2.1 bar وكسر جفاف 0.9 ، يتم توصيله إلى خط مواسير ويسمح بالسريان من خط المواسير إلى الوعاء حتى يكون الضغط ودرجة الحرارة في الوعاء مساوياً 6 bar و $200^\circ C$ على الترتيب . يكون البخار عند خط المواسير عند 10 bar و $250^\circ C$ طول الإجراء . أحسب إنتقال الحرارة إلى أو من الوعاء أثناء الإجراء .

كسر الحمّامٍ = كتلة الحمّام - الحمّام تحت وظائفه الحارطة
باستخدام الترميز الذي تم تقديمها سابقاً نحصل على

$$u' = u'_f (1 - 0.9) + (u'_g \times 0.9) = 511 \times 0.1 + 2531 \times 0.9$$

$$i.e. u' = 2329 \text{ kJ/kg}$$

أيضاً ،

$$m' = V/v = 10/0.9v_g = 10/0.9 \times 0.8461 = 13.13 \text{ kg}$$

يتم تحميص البخار نهائياً عند 6 bar و $200^\circ C$ عليه ،

$$u'' = 2640 \text{ kJ/kg}$$

و

$$v'' = 0.3522 \text{ m}^3/\text{kg}$$

$$i.e. m'' = V/v'' = 10/0.3522 = 28.4 \text{ kg}$$

يتم تحميص البخار في خط المواسير عند 10 bar و 250°C ، وبالتالي :

$$h_1 = 2944 \text{ kJ/kg}$$

بالتالي مستخدماً المعادلة 2.38 :

$$Q + 2944(28.4 - 13.3) = (28.4 \times 2640) - (13.3 \times 2329)$$

$$\therefore Q = 74980 - 30590 - 44940 = -550 \text{ kJ}$$

i.e. الحرارة المطرودة من الوعاء $= 550 \text{ kJ}$

مثال آخر يحدث عموماً لإجراء السريان اللامستقر هو الحالة التي يفتح فيها وعاءً إلى فراغ كبير ويسمح للمانع بالهروب (الشكل 2.21). لا يكون هناك شغلاً مبذولاً في هذه الحالة $\delta m_1 = 0$ بما أنه ليس هناك كتلة تدخل إلى النظام . بتجاهل التغيرات في طاقة الوضع ويتطبيق المعادلة 2.36

$$Q = \sum \delta m_2 (h_2 + c_2^2 / 2) + (m'' u'' - m' u')$$

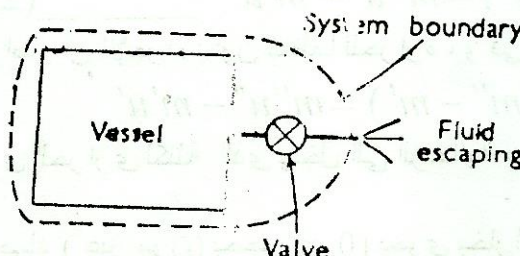


Fig. 2.21

الشكل (2.21)

الصعوبة التي تنشأ في هذا التحاليل هي أن الحالة 2 للكتلة المغادر للوعاء تكون متغيرة باستمرار، وبالتالي من المستحيل تقدير العنصر $\sum \delta m_2 (h_2 + c_2^2 / 2)$. هناك تقريباً يمكن عمله لإيجاد كتلة المانع التي تغادر الوعاء كلما يهبط الضغط لقيمة معطاة . يمكن إفتراض أن المانع المتبقى في الوعاء يؤدي تماماً كأداة لحرارة انعكاسياً . هذا يكون تقريباً جيداً إذا كان الوعاء معزولاً جيداً ، أو إذا كانت فترة استغراق الإجراء قصيرة . باستخدام هذا الإفتراض يمكن إيجاد الحالة الظرفية للمانع في الوعاء ، وبالتالي يمكن حساب الكتلة المتبقية في الوعاء m''

مثال (13) : مستقبل هواء بحجم 6 m^3 يحوى هواءً عند 15 bar و 40.5°C . يتم فتح صمام ويسمح لبعض الهواء بالخروج إلى الجو . يهبط ضغط الهواء في المستقبل بسرعة إلى 12 bar عندما يتم غلق الصمام . أحسب كتلة الهواء الخارجة في المستقبل .

ابتداءً :

$$m' = P' V / RT' = \frac{15 \times 10^5 \times 6}{0.287 \times 10^3 \times 313.5} = 100 \text{ kg}$$

مفترضاً أن الكتلة في المستقبل تؤدي إجراءً كاظم للحرارة إنعكاسياً ، وبالتالي مستخدماً المعادلة : 2.21

$$\frac{T'}{T''} = \left(\frac{P'}{P''} \right)^{(\gamma-1)/\gamma} = \left(\frac{15}{12} \right)^{0.4/1.4} = 1.25^{0.286} = 1.066$$

$$\therefore T'' = 313.5 / 1.066 = 294.2 K$$

بالتالي ،

$$m'' = P''V / RT'' = \frac{12 \times 10 \times 6}{0.287 \times 10^3 \times 294.2} = 85.3 \text{ kg}$$

عليه ،

$$100 - 85.3 = 14.7 \text{ kg} = \text{كتلة الهواء الذي يغادر المستقبل}$$

في حالة بخار يؤدى تمدداً كاظم للحرارة إنعكاسياً لا تكون هنالك معادلة صحيحة مثل المعادلة 2.21 المستخدمة عاليه . من الضروري الإستفادة من خاصية القصور الحراري (entropy) ، $s' = s''$ i.e. ، التي يمكن التوضيح بأنها تبقى ثابتة خلال إجراءً كاظم للحرارة إنعكاسي و m'' . و من ثم بإستخدام الجداول يمكن حساب قيمة v و بالتالي إيجاد m'' .

مثال (14) : عند بداية شوط السحب لمحرك بترول ذو نسبة انضغاط مقدارها 8/1 ، يكون حجم الخلوص محتلاً بمتبقي غاز عند درجة حرارة $C = 840^\circ$ و ضغط 1.034 bar . حجم الخليط أثناء الشوط ، مقاساً عند أحوال جوية 1.013 bar و $C = 15^\circ$ ، يكون مساوياً لـ 0.75 من الحجم المكتسح للأسطوانة .

يكون الضغط و درجة الحرارة المتوسطان في مجمع السحب (induction manifold) أثناء السحب مساويان 0.965 bar و $C = 27^\circ$ على الترتيب ، و يكون متوسط الضغط في الأسطوانة أثناء شوط السحب مساوياً لـ 0.828 bar . أحسب درجة حرارة الخليط عند نهاية شوط السحب مفترضاً إجراءً كاظماً للحرارة . أحسب أيضاً الضغط النهائي في الأسطوانة . الخليط خذ $R = 0.2871 \text{ kJ / kgK}$ و $c_v = 0.718 \text{ kJ / kgK}$ و $c_p = 0.84 \text{ kJ / kgK}$

اجعل الحجم المكتسح يكون V_s و حجم الخلوص يكون V_c ، وبالتالي ،

$$\frac{V_s + V_c}{V_c} = 8 = \text{نسبة الإنضغاط}$$

$$\text{i.e. } V_s = 7V_c$$

إبتدائياً فإن متبقي الغاز يحتل الحجم $V_c = V_s / 7$

$$\therefore m' = \frac{P'V_c}{RT'} = \frac{1.034 \times 10^5 \times V_s}{0.296 \times 1113 \times 7 \times 10^3} = 0.0448 V_s \text{ kg}$$

$$(T' = 840 + 297 = 1113 K)$$

أيضاً مستخدماً المعادلة 2.37

$$m'' - m' = \sum \delta m_1 - \sum \delta m_2$$

و بلاحظة أنه في هذه المثال ، نحصل على :

$$m'' - m' = m_1 = \frac{1.013 \times 10^5 \times 0.75 V_s}{0.2871 \times 288 \times 10^3} = 0.919 V_s \text{ kg}$$

$$\therefore m'' = 0.919 V_s + 0.0448 V_s = 0.9638 V_s \text{ kg}$$

يمكن تجاهل التغيرات في طاقة الحركة والوضع ، ويكون الإجراء كاظماً للحرارة ($Q = 0$) ، بتطبيق المعادلة 2.36 نحصل على : (i.e.)

$$m_1 h_1 = W + m'' u'' - m' u'$$

أيضاً ، فإن درجة حرارة الخليط في مجمع السحب تكون ثابتة طوال الشوط ، i.e.

$$h_1 = c_p T_1 = \text{constant}$$

$$\text{i.e. } m_1 c_p T_1 = W + m'' c_v T'' - m' c_v T'$$

الشغل المبذول يعطى بـ ،

الحجم المكتسح × متوسط الضغط في السطوانة أثناء السحب = W

$$0.828 \times 10^5 V_s = 82800 V_s \text{ Nm} = 82.8 V_s \text{ kj}$$

i.e.

$$V_s \times 1.0051 \times 300 = 82.8 V_s + 0.9638 V_s \times 0.718 T''$$

$$- 0.0448 V_s \times 0.84 \times 1113$$

(حيث للكيلوغرام المنسوب $c_p = c_v + R = 0.718 = 1.0051 \text{ kj/kg K}$)

$$\therefore T'' = \frac{236.1}{0.692} = 341 K = 68 {}^\circ C$$

i.e. درجة الحرارة النهائية = $68 {}^\circ C$

بالتالي ،

$$p'' = \frac{m'' R T''}{V_s \times V_C} = \frac{0.9638 V_s \times 0.2871 \times 341 \times 10^3}{8 V_s / 7} = 82700 N/m^2$$

i.e. الضغط النهائي = $0.827 bar$

مسائل

1/ كتلة مقدارها 1 kg من هواء موجود في حاوية صلدة تكون بداية عند 4.8 bar و 150° C . يتم تسخين الحاوية حتى تكون درجة الحرارة متساوية بـ 200° C . أحسب الضغط النهائي للهواء و الحرارة المكتسبة أثناء الإجراء .

Ans.(5.37bar; 35.9kj/kg)

2/ وعاء صلب بحجم 1 m^3 يحوي بخاراً عند 20 bar و 400° C . يتم تبريد الوعاء حتى يكون البخار جافاً مشبعاً . أحسب كتلة البخار في الوعاء ، الضغط النهائي للبخار ، و الحرارة المزالة أثناء الإجراء .

Ans.(6.62 bar ; 13.01 bar ; 23355 kj)

3/ اكسجين (بكتلة جزئية 32) يتمدد بانعكاسية في أسطوانة خلف كباس بضغط مقداره 3 bar . يكون الحجم ابتدائياً متساوياً لـ 0.01 m^3 و نهائياً متساوياً لـ 0.03 m^3 ، تكون درجة الحرارة الإبتدائية متساوية بـ 17° C . أحسب الشغل المبذول بالأكسجين و سريان الحرارة إلى أو من جدران الأسطوانة أثناء التمدد . إفترض أن الأوكسجين يكون غازاً مثاليًا و خذ $c_p = 0.917 \text{ kJ / kgK}$.

Ans.(6 kj ; 21.16 kj)

4/ بخار عند ضغط 7 bar ، كسر جاف 0.9 ، يتمدد بانعكاسية بضغط ثابت حتى تكون درجة الحرارة متساوية بـ 200° C . أحسب الشغل المبذول و الحرارة المكتسبة لكل kg من البخار أثناء الإجراء .

Ans. (38.2 kj/kg; 288.7 kj/kg)

5/ حجم مقداره 0.05 m^3 من غاز مثالي عند 6.3 bar يؤدي إجراءً بانعكاسياً ثابت الحرارة إلى ضغط 1.05 bar . أحسب سريان الحرارة إلى أو من الغاز .

Ans.(56.4 kj)

6/ بخار جاف مشبعب عند ضغط 7 bar يتمدد بانعكاسية في أسطوانة خلف كباس حتى يكون الضغط متساوياً لـ 0.1 bar . إذا تم إمداد الحرارة بإستمرار أثناء الإجراء للمحافظة على درجة الحرارة ، أحسب التغير لطاقة الداخلية لكل kg من البخار .

Ans.(37.2 kj/kg)

7/ كتلة هواء مقدارها 1 kg يتم إنضغاطها بإجراء ثابت الحرارة و بانعكاسية من 1 bar إلى 5 bar . أحسب الشغل المبذول على الهواء و سريان الحرارة إلى أو من الهواء .

Ans.(140 kj/kg ; - 140 kj/kg)

8/ كتلة مقدارها 1 kg عند 1 bar و 15°C يتم إنضغاطها انعكاسياً وباهراء كاظم للحرارة إلى 4 bar . أحسب درجة الحرارة النهائية و الشغل المبذول على الهواء .

Ans.(155°C ; 100.5 kJ/kg)

9/ نايتروجين (بكثافة جزيئية 28 kg/kmol) يتمدد انعكاسياً في أسطوانة معزولة جيداً حرارياً من 200°C ، 3.5 bar إلى حجم مقداره 0.09 m^3 . إذا كان الحجم الإبتدائي المحتمل مساوياً ل 0.03 m^3 ، أحسب الشغل المبذول أثناء التمدد . افترض أن النايتروجين يكون غازاً مثالياً و خذ $c_v = 0.741 \text{ kJ/kgK}$

Ans.(9.31 kJ)

10/ كتلة مقدارها 10 kg يتمدد في إسطوانة معزولة جيداً حرارياً من 10.0°C ، 0.01 bar إلى 100°C ، 0.01 bar . إذا كان الحجم الإبتدائي المحتمل مساوياً ل 0.01 m^3 ، أحسب الشغل المبذول أثناء التمدد . افترض أن الغاز ينتمي إلى المجموعة 1 . اختر المنهجية التي تفضي إلى إيجاد الشغل المبذول .

الكتلة المذكورة تمدد من 10.0°C إلى 100°C في إسطوانة معزولة جيداً حرارياً . إذا كان الحجم الإبتدائي المحتمل مساوياً ل 0.01 m^3 ، أحسب الشغل المبذول .

الكتلة المذكورة تمدد من 10.0°C إلى 100°C في إسطوانة معزولة جيداً حرارياً . إذا كان الحجم الإبتدائي المحتمل مساوياً ل 0.01 m^3 ، أحسب الشغل المبذول .

الكتلة المذكورة تمدد في إسطوانة معزولة جيداً حرارياً من 10.0°C إلى 100°C . إذا كان الحجم الإبتدائي المحتمل مساوياً ل 0.01 m^3 ، أحسب الشغل المبذول .

الكتلة المذكورة تمدد في إسطوانة معزولة جيداً حرارياً من 10.0°C إلى 100°C . إذا كان الحجم الإبتدائي المحتمل مساوياً ل 0.01 m^3 ، أحسب الشغل المبذول .

الفصل الثالث

3.0 القانون الثاني للديناميكا الحرارية

The Second Law of thermodynamics

في الفصل 2 تم توضيح أنه طبقاً للقانون الأول للديناميكا الحرارية ، عندما يوجد نظاماً دورة كاملة فإن صافي الحرارة المكتسبة يكون مساوياً لصافي الشغل المبذول . ويكون هذا مؤسساً على مبدأ بقاء الطاقة ، الذي يتبع من مشاهدة الأحداث الطبيعية . القانون الثاني للديناميكا الحرارية ، الذي هو أيضاً قانون طبيعي ، يشير إلى أنه ، بالرغم من أن صافي الحرارة المكتسبة في دورة يكون مساوياً لصافي الشغل المبذول ، فإن إجمالي الحرارة المكتسبة يجب أن يكون أكبر من صافي الشغل المبذول ؛ وذلك لأن بعض الحرارة يتم فقدانها دائمًا من النظام.

The Heat Engine

3.1 المحرك أو الآلة الحرارية :

المحرك الحراري هو نظام يعمل في دورة كاملة وينتج صافي شغل من إمداد حرارة . يقتضي القانون الثاني ضمناً أن مصدراً لإمداد حرارة و غاطساً لفقد الحرارة يكونا ضروريان ، بما أن بعض الحرارة يجب أن يكون دائماً طردها بواسطة النظام . هنالك تمثيلاً مخططياً يتم توضيحه في الشكل (3.1) . تكون الحرارة المكتسبة Q_1 ، الشغل المبذول W ، و الحرارة المفقودة هي Q_2 . بالقانون الأول ، في دورة واحدة كاملة ، فإن صافي الحرارة المكتسبة = صافي الشغل المبذول وبالتالي من المعادلة 1.1

$$\sum dQ = \sum dW$$

بالرجوع للشكل رقم 5.1

$$Q_1 - Q_2 = W \quad (3.1)$$

بالقانون الثاني ، فإن إجمالي الحرارة المكتسبة يجب أن يكون أكبر من صافي الشغل المبذول $Q_1 > W$

يتم تعريف الكفاءة الحرارية (thermal efficiency) لمحرك حراري كالنسبة لصافي الشغل المبذول في الدورة إلى إجمالي الحرارة المكتسبة في الدورة . و من المعتاد التعبير عنها كنسبة مئوية . بالرجوع للشكل 3.1 ،

$$\eta = \frac{Q_1 - Q_2}{Q_1} = \text{الكافأة الحرارية} \quad (3.2)$$

بالتعمييق في المعادلة 3.1

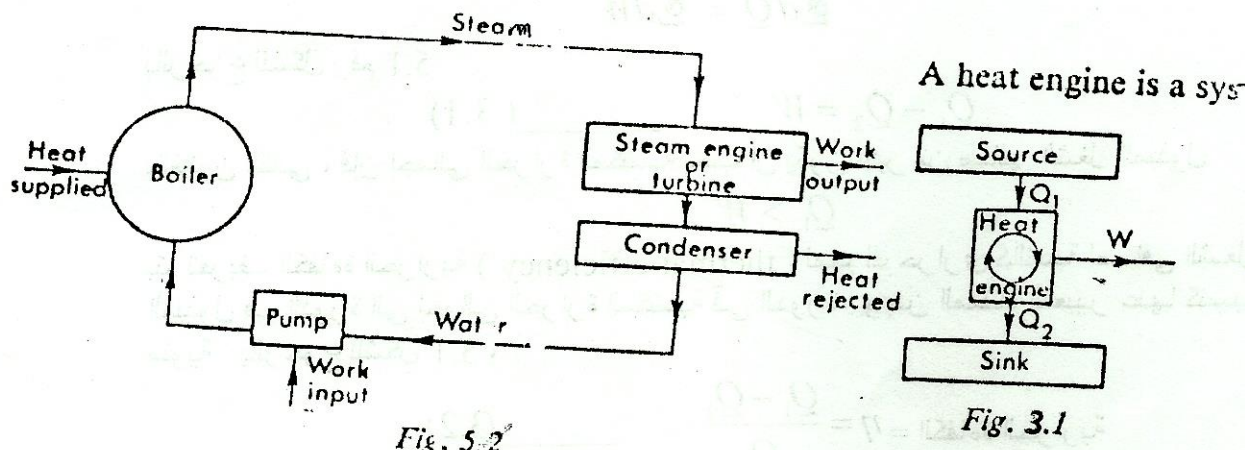
$$\eta = \frac{Q_1 - Q_2}{Q_1} = 1 - \frac{Q_2}{Q_1} \quad (3.3)$$

يمكن الملاحظة من أن القانون الثاني يقتضي ضمنياً أن الكفاءة الحرارية لمحرك حراري يجب أن تكون دائماً أقل من 100% . من تعريف الحرارة في المقطع 1.1 ، فإن فرقاً في درجة الحرارة يكون ضرورياً لسريان الحرارة . يتبع ذلك أن مصدر الحرارة في الشكل 3.1 يجب أن يكون عند درجة حرارة أعلى من الغاطس . يمكن التفكير بمصدر الحرارة كوعاء ساخن و الغاطس كوعاء بارد . يوضح القانون الثاني أن فرقاً لدرجة الحرارة ، مهما يكون صغيراً ، يكون ضرورياً قبل أن يمكن إنتاج صافي شغل في دورة .

هذا يقود لبيان القانون الثاني كالتالي:
يكون مسحتيلاً لمحرك حراري إنتاج صافى شغل فى دورة كاملة إذا تبادل حرارة فقط مع الأجسام عند درجة حرارة مثبتة مفردة.

القييد المفروض بالقانون الثاني يكون أكثر وضوحاً إذا تم عمل محاولة للتفكير في نظام لا يكون مشمولاً بالقانون . كمثال ، ليس هنالك شيئاً في القانون الأول يشير إلى أن الطاقة الداخلية للبحر لا يمكن تحويلها إلى شغل ميكانيكي بأسلوب مستمر . يمثل البحر مقداراً ضخماً للطاقة بملايين الأطنان من الماء عند درجة حرارة فوق الصفر المطلق . على أي حال ، لا يمكن عمل سفينة ستدور محركاتها بأخذ الطاقة من البحر . من القانون الثاني كما ذكر عالياً ، يلاحظ أن مستودعاً ثابتاً للطاقة عند درجة حرارة ادنى يكون أساسياً قبل أن يمكن إنتاج شغل .

أحد الأمثلة عملياً لمحرك الحراري كما تم تعريفه عند بداية هذا المقطع ، هو دورة البخار البسيطة . لقد تم استخدام هذه الدرواة مسبقاً لشرح القانون الأول ، في المثل 1.1 .
بالرجوع للشكل رقم 3.2 ، يتم إمداد حرارة في الغلاية ، وينتج شغلاً في محرك بخاري أو توربينة ، يتم فقد حرارة في مكثف ، ويطلب مقدار صغير لشغيل دخل المضخة . يكون المستودع الساخن هو فرن الغلاية ، بينما يكون المستودع البارد هو ماء التبريد الدائر في المكثف ، ويكون النظام نفسه هو البخار .



(3.2)

الشكل (3.1)
مثال آخر لمحرك حرارة هو الدورة المغلقة لمحطة توربينة غاز كما موضح في الشكل 3.3 .
يكون المظامن في هذه الحالة هو الهواء . يتم إمداد الحرارة إلى الهواء بالغازات الساخنة في مبادل حراري ، يتم إنتاج شغيل بواسطة التوربينة . يتم فقد الحرارة لماء التبريد في مبرد ، ويتم بذلك شغيل على الهواء في ضاغط . المستودع الساخن هو الغاز الساخن الدائر حول الهواء في المبادل الحراري ؟ المستودع البارد هو ماء التبريد الدائر في المبرد .

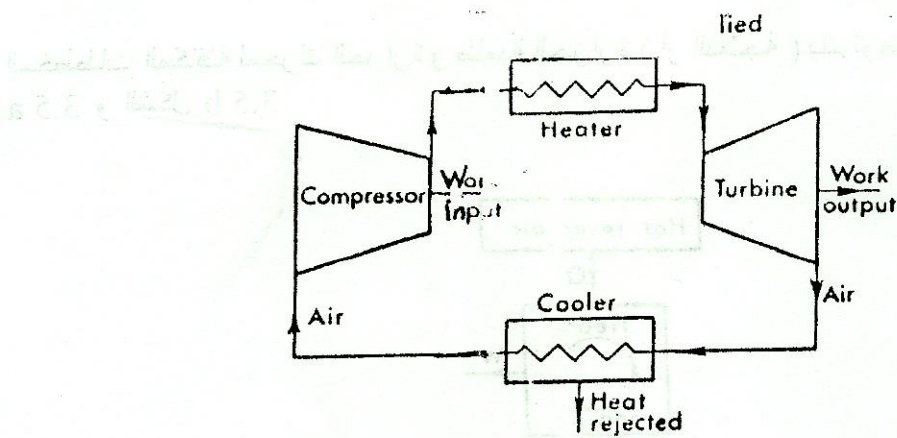


Fig. 3.3

الشكل (3.3)

في محطة توربينية غاز مفتوحة الدورة يتم إمداد الطاقة برش الوقود في جدول الهواء في غرفة الاحتراق؛ تتمدد الغازات الناتجة في التوربينة و من بعد يخرج إلى الجو ، (أنظر الشكل رقم 3.4). لا تكون هذه الدورة هي دورة محرك حرارة طبقاً للتعریف المعطى ، بما أن النظام لا يسترجع لحالته الأصلية ، و حقيقة يتعرض للتغيير كيميائي بالإحتراق. نفس الشئ في محرك الاحتراق داخلي ترددى يتم خلط الهواء مع وقود و يُحرق في الأسطوانة ، و تستند الغازات الناتجة بعد التمدد إلى الجو . على أي حال ، فإن محطة توربينية الغاز مفتوحة الدورة ، و محرك الاحتراق هما مولدات قدرة هامان في الهندسة و يطلق عليهما عادة محركات حرارة . من الممكن تجاهل كتلة الوقود بالمقارنة مع كتلة الهواء ، و يمكن أخذ الحرارة المفقودة كطاقة الغاز المستنفدة (exhaust gas) ناقصاً طاقة الهواء عند المدخل (i.e. الطاقة المفقودة إذا تم تبريد العادم إلى أحوال المدخل و من بعد إعادة تدويرها)

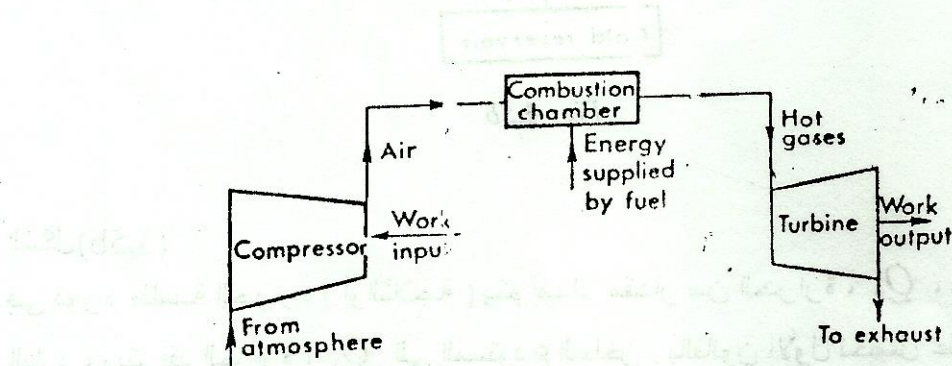


Fig. 3.4

الشكل (3.4)

يتم تطبيق القانون الأول و الثاني لدورات تشغيل في الإتجاه المعكوس لتلك للمحرك الحراري . في حالة دورة معكوسه ، فإن صافي الشغل يُبُذل على النظام و يساوى صافي الحرارة المفقودة بواسطة النظام . مثل هذه الدورات تحدث في طلبات الحرارة و الثلاجات .

المخططات المكافئة لمحرك الحرارة و طلمبة الحرارة (أو الثلاجة) يتم توضيحيهما فى الشكل 3.5 a و الشكل 3.5 b

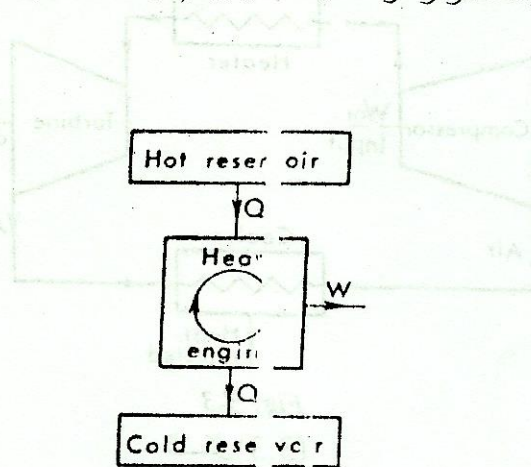


Fig. 3.5a

الشكل(3.5a)

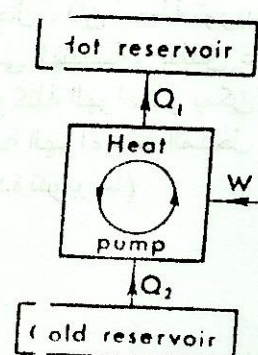


Fig. 3.5b

الشكل(3.5b)

فى دورة طلمبة الحرارة (أو الثلاجة) يتم إمداد مقدار من الحرارة ، Q_2 ، من المستودع البارد ، ويتم فقد الحرارة ، Q_1 إلى المستودع الساخن . بالقانون الأول نحصل على ،

$$Q_1 = Q_2 + W \quad (3.4)$$

بالقانون الثاني يمكن القول بأن شغل الدخل يكون أساساً لكي يكون هناك إنقال للحرارة من المستودع البارد إلى المستودع الساخن ،

$$\text{i.e. } W > 0$$

هذه يمكن برهانها من بيان القانون الثاني المعطى مسبقاً ، لكن سوف لن يتم إعطاء البرهان هنا . هناك بياناً للقانون الثاني متعلقاً بمضخة الحرارة (أو الثلاجة) يُعزى لـ clausius ، ويكون كما يلى :

يكون من المستحيل بناء جهاز عندما يشتغل فى دورة سوف لن ينتج تأثيراً أكثر من إنقال حرارة من مبرد الى جسم ساخن.

هذا البيان يتم برهانه بسهولة بتجربة (خبرة) الإجراءات الطبيعية : من الملاحظ أن الحرارة لا تسرى من جسم بارد إلى جسم ساخن ؛ تتطلب الثلاجة مدخلاً للطاقة لكي تجرى الحرارة من الغرفة الباردة و تطردتها عند درجة حرارة أعلى . عندما يتم اعتبار بيانى القانون الثاني ، تبدو حقيقة هامة . بالرجوع للشكل a 3.5 و البيان الأول للقانون الثاني يتضح أن Q_2 لا يمكن أن تكون صفرأ ، بمعنى آخر ، من المستحيل تحويل باستمرار من الحرارة بالكامل إلى شغل ميكانيكي .

على أي حال . بالرجوع إلى الشكل b 3.5 ، يمكن الملاحظ أن Q_2 في هذه الحالة يمكن أن تكون صفرأ ، بدون أنتهاك للقانون الثاني . وبالتالي من المستحيل تحويل شغل ميكانيكي بالكامل إلى حرارة . يتم توضيح هذه الحقيقة بسهولة كمثال ، عندما يتم تطبيق الفرامل في سيارة لاجتذابها إلى السكون ، فإنه يتم تحويل طاقة الحركة بالكامل إلى حرارة عند العجلات . لا يمكنه إيجاد مثال يمكن فيه تحويل حرارة باستمرار و بالكامل إلى شغل ميكانيكي .

3.2 القصور الحراري :

في المقطع 2.2 ، وجد أن هناك خاصية هامة ، التي هي الطاقة الداخلية تنشأ كنتيجة للقانون الأول للديناميكا الحرارية . هناك خاصية هامة أخرى تتبع من القانون الثاني الأول وهي القصور الحراري .

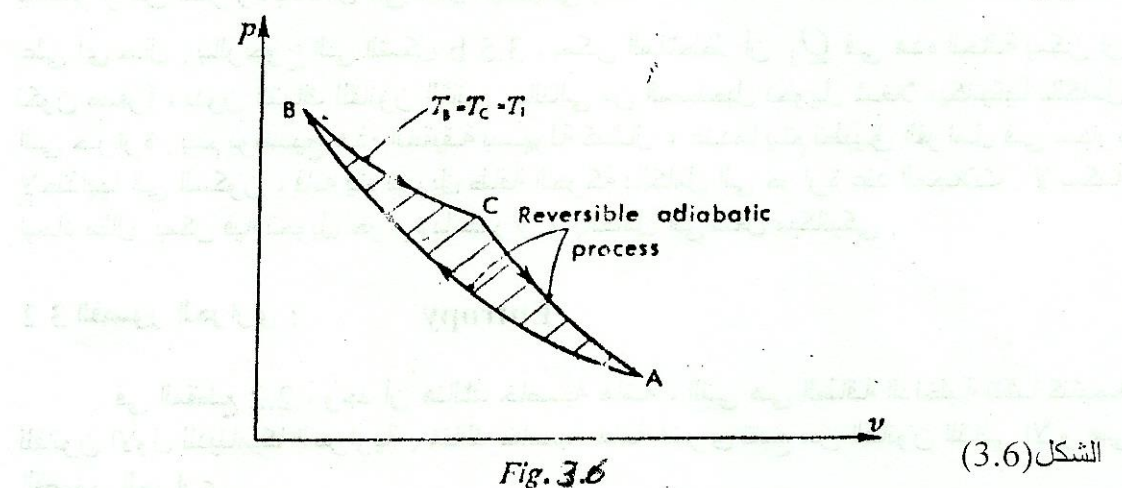
اعتبر إجراءً كاظماً للحرارة إنعكاسياً لاي نظام على مخطط $v - p$. هذا يمثل بالخط AB على الشكل 3.6 . دعنا نفترض أنه من الممكن للنظام أن يؤدي إجراءً ثابت الحرارة إنعكاسي عند درجة الحرارة T_1 من B إلى C و من بعد يتم استرجاعه لحالته الأولى بإجراء ثانٍ كاظم للحرارة إنعكاسي من C إلى A . الآن بالتعريف فإن الإجراء الكاظم للحرارة هو أحد الإجراءات التي لا يكون فيها سريان للحرارة إلى أو من النظام . وبالتالي فإن الحرارة المنتقلة الوحيدة هي من B إلى C أثناء الإجراء ثابت الحرارة . يتم إعطاء الشغل المبذول بالنظام بالمساحة المطوفة . عليه فإننا نملك نظاماً يؤدي دورة و يطور صافى شغل بينما يقوم بسحب حرارة من مستودع عند درجة حرارة مفردة مثبتة بهذه تكون مستحيلة لأنها تنتهك القانون الثاني ، كما ذكر في المقطع 3.1 . عليه الإفراط الأصلي يكون خطأنا ، و يكون من المستحيل وجود إجراءين كاظمين للحرارة يمران خلال نفس الحالة A .

الآن ، فإن إحدى الخصائص (المميزات) لخاصية نظام هي أنه هناك خطأ و حيداً يمثل قيمة للخاصية على مخطط الخواص . (كمثال ، فإن الخط BC على الشكل 3.6 يمثل ثابت الحرارة عند T_1) . وبالتالي يجب أن يكون هناك خاصية تمثل بإجراء كاظم للحرارة إنعكاسي . تسمى هذه الخاصية بالقصور الحراري .

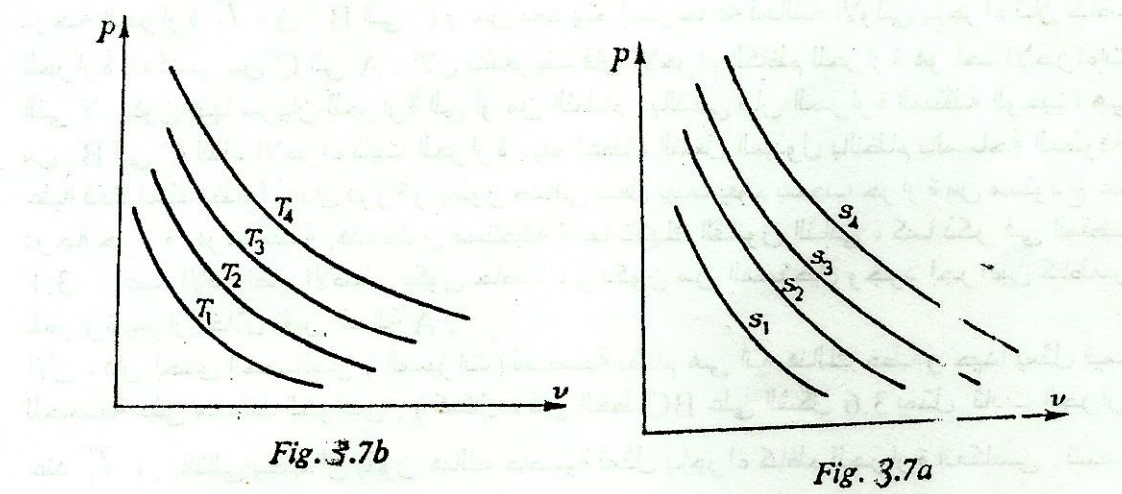
يتبع ذلك أنه ليس هناك تغييرًا للقصور الحراري في إجراء كاظم للحرارة . على مخطط $v - p$ هناك سلسلة من الإجراءات كاظمة للحرارة إنعكاسية كما موضح في الشكل a 3.7 ، يكون كل خط مثلاً لقيمة واحدة من القصور الحراري . هذه تكون مشابهة للشكل b 3.7 الذي يتم فيه رسم خطوط ثابتة درجة الحرارة ، كل تمثل قيمة واحدة لدرجة الحرارة . لكي يتم تعريف القصور الحراري بدلالة الخواص الديناميكية الحرارية الأخرى يكون من الضروري استخدام إسلوب ما .

في المقطع 2.2 لقد تم توضيح إجراءً كاظماً للحرارة إنعكاسياً لغاز مثالي يتبع القانون $p v' = \text{constant}$. الآن فإن القانون $p v' = \text{constant}$

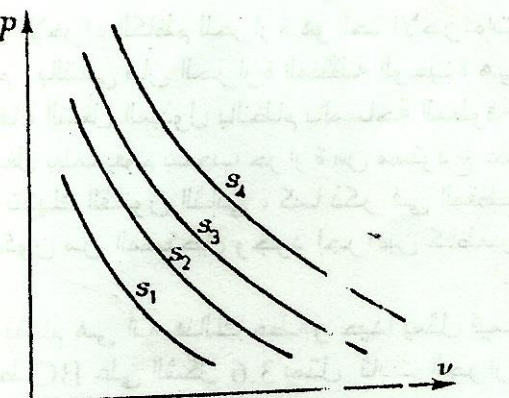
بحيث أن البرهان المعطى في المقطع 2.2 لغاز مثالي هو برهان مشابه لذلك المعطى عليه) i.e. برهان أن هنالك إجراءً كاظماً للحرارة إنعكاسياً يحتل خطأً وحيداً على مخطط الخواص . البرهان المعطى عليه يعتمد على القانون الثاني ولقد لاستخدم لتقديم القصور الحراري كخاصية عليه يتبع أن البرهان ل $pV^\gamma = \text{constant}$ في المقطع 2.2 يجب أن يتضمن حقيقة أن القصور الحراري لا يتغير أثناء إجراءً كاظماً للحراري إنعكاسياً .



الشكل (3.6)



الشكل (3.7b)



الشكل (3.7a)

بالرجوع إلى البرهان في المقطع 2.2 ، بدءاً بمعادلة اللاسيران لإجراء إنعكاسياً ،

$$dQ = du + p dv$$

و لغاز مثالي ،

$$dQ = c_v dT + RT \frac{dv}{v}$$

هذه المعادلة يمكن تكاملها بقسمة طرفي المعادلة على T

$$\text{i.e. } \frac{dQ}{T} = \frac{c_v}{T} dT + \frac{Rdv}{v}$$

أيضاً لإجراء كاظم للحرارة ، $dQ = 0$

$$\text{i.e. } \frac{dQ}{T} = \frac{c_v dT}{T} + \frac{Rdv}{v} = 0 \quad (3.5)$$

الآن بعيداً عن المعالجة الرياضية و إدخال العلاقة بين R, c_v, c_p, γ ، لا يكون هناك خطوات أساسية أخرى في البرهان . هذا يجب أن يعني أنه قسمة طرفى المعادلة على T هي إحدى الخطوات التي تتضمن تقييد القانون الثاني ، و الحقيقة الهامة التي تقول أن التغيير في القصور الحراري يكون صفرأ عليه يمكننا القول أن $dQ/T = 0$ لإجراء كاظم للحرارة إنعكاسي . لأى إجراء إنعكاسي آخر $dQ/T \neq 0$.

يمكن توضيح أن هذه النتيجة تطبق على جميع المواد التشغيلية ،

$$\text{i.e. } ds = \frac{dQ}{T} \quad \text{لجميع المواد التشغيلية} \quad (3.6)$$

(حيث s هو القصور الحراري)

لاحظ بما أن المعادلة 3.5 تكون لإجراء إنعكاسي ، فإن dQ في المعادلة 3.6 تكون هي الحرارة المضافة بإنعكاسي .

يكون التغيير في القصور الحراري أكثر أهمية عن قيمته المطلقة ، و يمكن اختبار القصور الحراري العنصري على نحو اعتباطي . كمثال ، في جداول البخار يوضع القصور الحراري مساوياً لصفر عند $0.01^\circ C$ ؛ في جداول سوائل التبريد فإن القصور الحراري يوضع مساوياً لصفر عند $-40^\circ C$. بتكميل المعادلة 3.6 يعطى ،

$$s_2 - s_1 = \int_{T_1}^{T_2} \frac{dQ}{T} \quad (3.7)$$

معتبراً 1 لمانع ، يمكن اعطاء وحدات القصور الحراري ب kJ/kg مقسومة على K . عليه فإن وحدات القصور الحراري ، s ، هي kJ/kgK .

سيتم استخدام الرمز S للقصور الحراري لكتلة ، m ، لمانع ،
i.e. $S = ms$

بإعادة كتابة المعادلة 3.6 نحصل على ،

$$dQ = Tds$$

أو لأى إجراء إنعكاسي

$$Q = \int_{T_1}^{T_2} T ds \quad (3.8)$$

تكون هذه المعادلة مناظرة لأى إجراء إنعكاسي

$$W = \int p dv$$

هكذا ، كما يكون هناك مخططاً تمثل عليه المساحات شغلاً مبذولاً في إجراء إنعكاسي ، يكون هناك أيضاً مخططاً تمثل عليه المساحات سريان الحرارة في إجراء إنعكاسي . تكون هذه

المخططات هي مخططات $v - p$ و $T - s$ على الترتيب ، كما موضح في الأشكال a و b . اجراءً انعكاسياً 2 - 1 في الشكل a ، فإن المساحة المظللة

$$W = \int p dv$$

، تمثل الشغل المبذول ؛ و لإجراءً انعكاسياً 2 - 1 في الشكل b فإن المساحة المظللة ، تمثل سريان الحرارة . عليه فإن إحدى الفوائد لخاصية القصور

$W = \int T ds$ الحراري هي التمكين من رسم مخطط تكون عليه المساحات مماثلة لسريان الحرارة في إجراء انعكاسي .

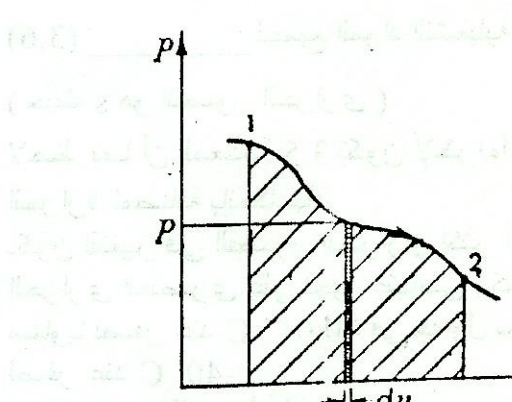


Fig. 3.8a

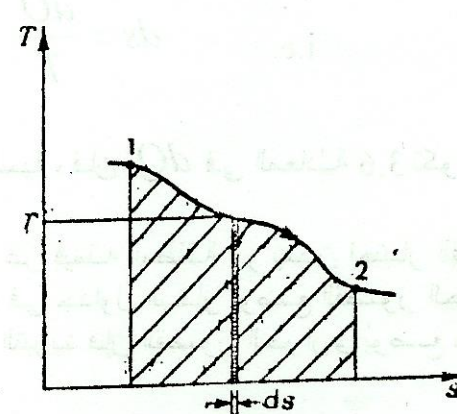


Fig. 3.8b

الشكل (3.8a)

الشكل (3.8b)

-:- T - S مخطط 3.3

لبخار : a / For a vapour

كما ذكر سابقاً ، فإن الصفر للقصور الحراري يؤخذ ك $0.01^{\circ} C$ لبخار وك $40^{\circ} C$ لسوائل التبريد . سيتم هنا فقط اعتبار مخطط $T - S$ للبخار ؛ و يكون المخطط لمواد التبريد مشابهاً بالضبط بـ إستثناء صفر القصور الحراري . يتم توضيح مخطط $T - S$ للبخار في

الشكل 3.9 . يتم توضيح ثلات خطوط ذات ضغط ثابت (P_1 و P_2 و P_3) i.e. الخطوط ABCD ، EFGH و JKLM . تكون خطوط الضغط في منطقة عملياً متطابقة مع خط السائل المشبع (i.e. الأجزاء AB ، EF ، JK) ، و يتم عادة تجاهل الفرق . يبقى الضغط ثابتاً مع درجة الحرارة عندما يتم إضافة الحرارة الكامنة ، وبالتالي فإن خطوط الضغط تكون متوازية في المنطقة الرطبة (i.e. الأجزاء BC ، FG ، BC ، و KL) . تتقross خطوط الضغط لأعلى في منطقة التحميص كما موضح (i.e. الأجزاء CD ، GH ، و LM) . هكذا فإن درجة الحرارة ترتفع باستمرار التسخين بضغط ثابت .

هناك خط حجم ثابت واحد (موضح منقطاً سلسلياً) يتم رسمه في الشكل 3.9 . تكون خطوط الحجم الثابت مقعرة لأسفل في المنطقة الرطبة ويميل لأعلى بانحدار أكثر عن خطوط الضغط في منطقة التحبيص .

في جداول البخار فإن القصور الحراري للسائل المشبع والبخار الجاف المشبع يتم تمثيلها بـ s_f و s_g على الترتيب . يتم أيضاً جدولة الفرق $s_{fg} = s_g - s_f$. يتم إعطاء القصور الحراري لبخار رطب بالقصور الحراري للماء في خليط زائد القصور الحراري للبخار الجاف في الخليط .

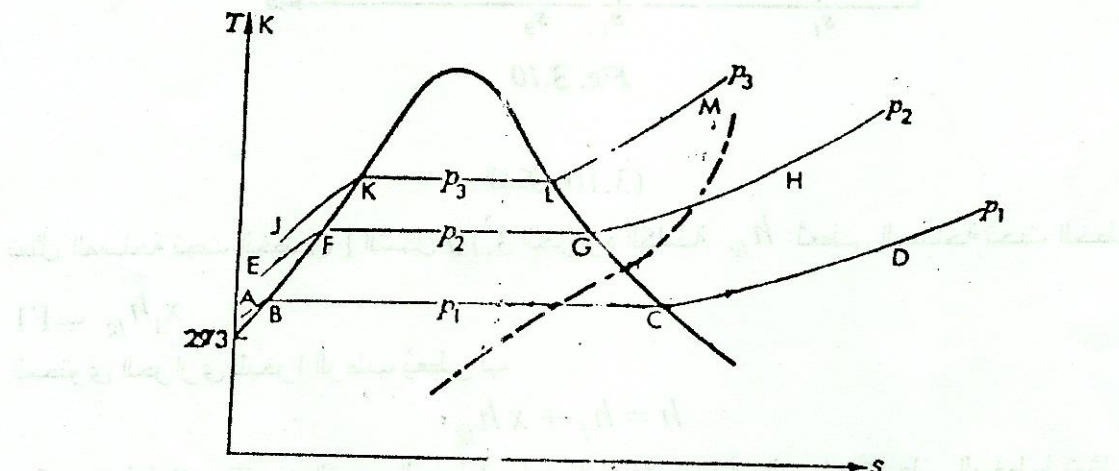


Fig. 3.9

الشكل (3.9)

لبخار رطب بكسر جفاف ، x ، نحصل على ،

$$s = (1-x)s_f + x s_g \quad (3.9)$$

$$\text{أو } s = s_f + x(s_g - s_f)$$

$$\text{i.e. } s = s_f + x s_{fg} \quad (3.10)$$

بالتالي فإن كسر الحفاف يعطى ب

$$x = \frac{s - s_f}{s_{fg}} \quad (3.11)$$

يمكن الملاحظة من المعادلة 3.11 أن كسر الحفاف يكون متناسباً مع بعد نقطة الحالة من خط السائل على مخطط $T - S$. كمثال ، للحالة 1 على الشكل 3.10 فإن كسر الحفاف ،

$$x_1 = \frac{\frac{F1}{\text{البعد}}}{\frac{FG}{\text{البعد}}} = \frac{s - s_f}{s_{fg}}$$

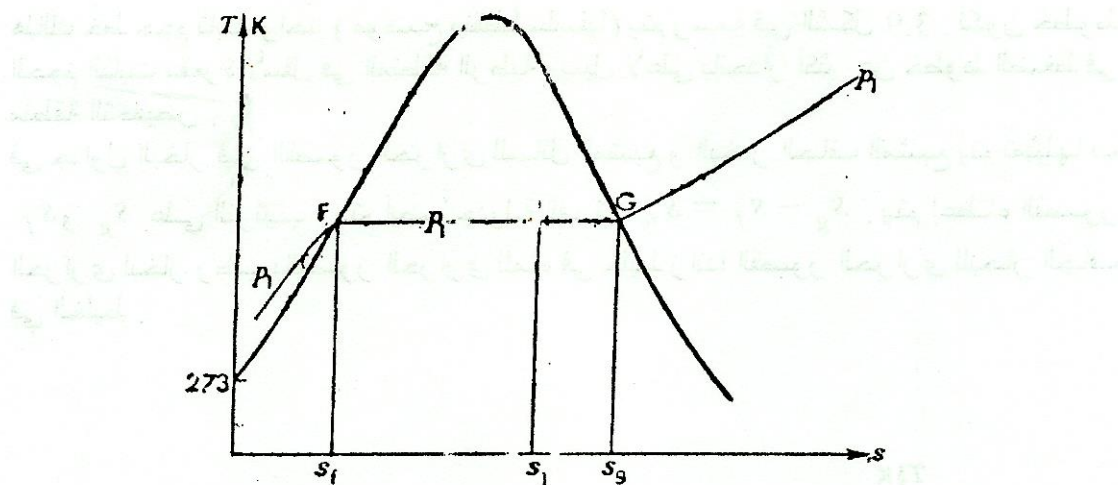


Fig. 3.10

(3.10)

تمثل المساحة تحت الخط FG في الشكل 3.10 الحرارة الكامنة h_{fg} . يعطى المساحة تحت الخط

$$x_1 h_{fg}$$

المحتوى الحراري للبخار الرطب يعطى ب

$$h = h_f + x h_{fg}$$

يمكن مخطط $S - T$ من التعبير المخططى لهذه الحقيقة ، بما أن المساحات على المخطط تمثل سريان الحرارة . بافتراض أن خط الضغط في منطقة السائل يكون متطابقاً مع خط السائل المشبع ، وبالتالي يمكن تمثيل المحتوى الحراري على المخطط . بالرجوع للشكل 3.11 ، عندما يكون هناك ماءً عند أي ضغط p ، وعند $0.01^{\circ}C$ ، يتم تسخينه بضغط ثابت فإنه يتبع بالتقريب الخط AB ؛ تكون النقطة B عند درجة حرارة التشبع T التي يغلق فيها الماء عند الضغط من المعادلة 2.4 ، بضغط ثابت ،

$$Q = h_B - h_A = h_B$$

(بما أن h_A عند $0.01^{\circ}C$ هو تقريباً صفر)
نحصل على ،

$$\text{عند ضغط } p \quad ABFOA = h_B = h_f$$

عند النقطة B ، إذا استمر التسخين فإن الماء يتغير تدريجياً إلى بخار حتى عند C التي يكون عندها البخار بالضبط جافاً مشبعاً عليه نحصل على ،

$$\text{عند ضغط } p \quad BCHFB = h_C - h_B \quad \text{والحرارة الكامنة = المساحة}$$

بالناتي عند النقطة C ، يعطى المحتوى الحراري ب

$$\text{عند ضغط } p \quad ABFOA + BCHFB = h_g \quad \text{المساحة = المساحة}$$

لبخار رطب عند النقطة E ،

$$h_E = h_B + x_E h_{fg}$$

$$\text{i.e.} \quad h_E = ABEGOA \quad \text{المساحة}$$

عندما يتم التسخين إضافياً لبخار جاف مشبع يصبح محمضاً .

يتم إعطاء الحرارة المضافة من C إلى D بضغط ثابت p ، بـ

$$Q = h_D - h_C = CDJHC \text{ المساحة}$$

بالتالي فإن المحتوى الحراري عند D يكون ،

$$h_D = h_C + CDJHC = ABCDJOA \text{ المساحة}$$

مثال 3.1 :- 1 من بخار kg عند bar 7 و قصور حراري 6.5 kJ/kgK ، يتم تسخينه إعكاسياً عند ضغط ثابت حتى تكون درجة الحرارة متساوية ل 250°C . أحسب الحرارة المكتسبة ، ووضح على مخطط $T - S$ المساحة التي تمثل سريران الحرارة .

عند bar 7 $s_g = 6.709 \text{ kJ/kgK}$ ، بالتالي يكون البخار رطباً ، بما أن القصور

الحراري الفعلى ، s ، يكون أقل من s_g .

من المعادلة 3.11

$$x_1 = \frac{s_1 - s_{f1}}{s_{fg1}} = \frac{6.5 - 1.992}{4.717} = 0.955$$

بالتالي ،

$$h_1 = h_{f1} + x_1 h_{fg1} = 697 + 0.955 \times 2067$$

$$\text{i.e. } h_1 = 697 + 1975 = 2672 \text{ kJ/kg}$$

عند الحالة 2 يكون البخار عند 250°C عند bar 7 ، و عليه يكون محمضاً . من جداول التحبيص

$$h_2 = 2955 \text{ kJ/kg}$$

عند ضغط ثابت من المعادلة 2.3

$$Q = h_2 - h_1 = 2955 - 2672 = 283 \text{ kJ/kg}$$

يعطى الإجراء على مخطط $S - T$ في الشكل رقم 3.12 ، تمثل المساحة المظللة سراناً للحرارة

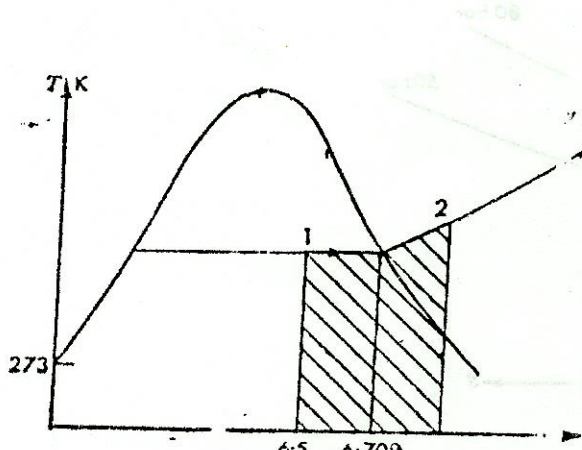


Fig. 3.12

الشكل (3.12)

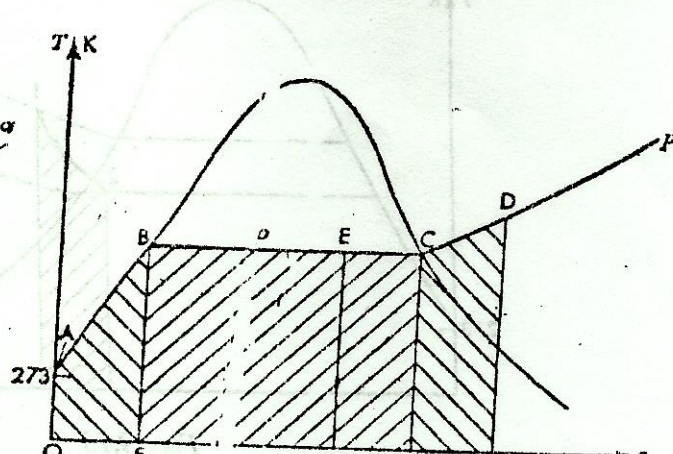


Fig. 3.11

الشكل (3.11)

مثال 3.2 : أسطوانة صلبة بحجم 0.025 m^3 تحوى بخاراً عند 80 bar و 350°C . يتم تبريد الأسطوانة حتى يكون الضغط مساوياً ل 50 bar . أحسب حالة البخار بعد التبريد و مقدار الحرارة المرفوعة بواسطة البخار. وضح الإجراء على مخطط $T - S$ - مشيراً للمساحة التي تمثل سريان الحرارة.

البخار عند 80 bar و 350°C يكون محمضاً ، ويكون الحجم النوعي من الجداول مساوياً ل $0.0299 \text{ m}^3/\text{kg}$. وبالتالي فإن كثافة البخار في الأسطوانة تُعطى ب

$$m = \frac{0.025}{0.02994} = 0.835 \text{ kg}$$

لبخار محمض فوق 80 bar يتم إيجاد الطاقة الداخلية من المعادلة 1.7 ،

$$u_1 = h_1 - p_1 v_1 = 2990 - \frac{80 \times 10^5 \times 0.02994}{10^3}$$

$$\text{i.e. } u_1 = 2750.5 \text{ kJ/kg}$$

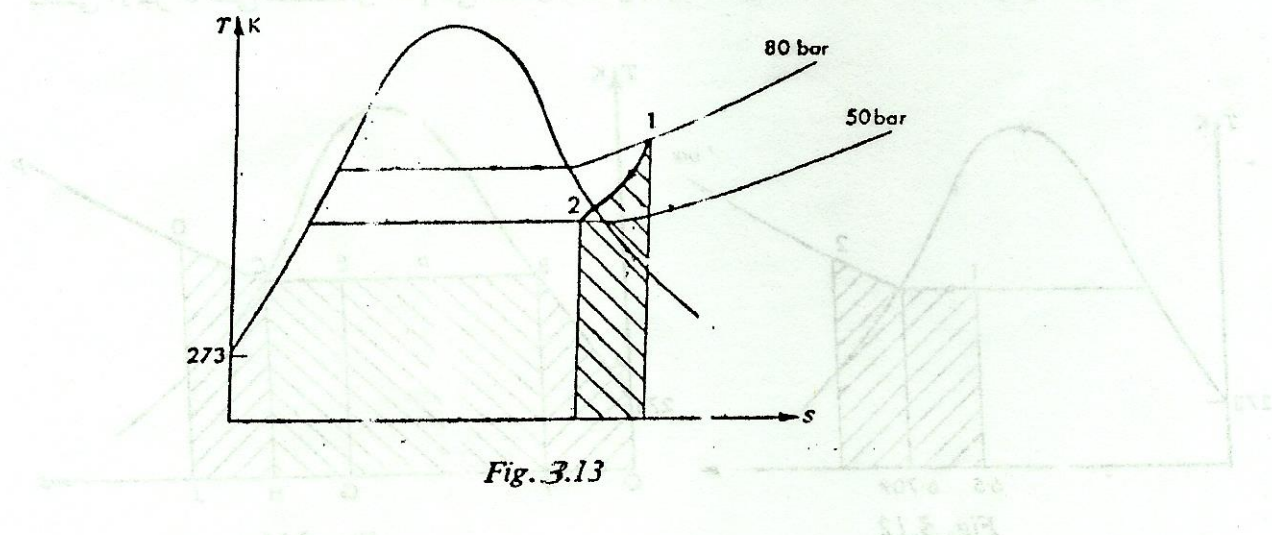
عند الحالة 2 ، $v_2 = 0.02994 \text{ m}^3/\text{kg}$ عليه يكون البخار رطباً ، و يُعطى كسر الجاف بالمعادلة ،

$$x_2 = \frac{v_2}{v_{g2}} = \frac{0.02994}{0.03994} = 0.758$$

من المعادلة ،

$$u_2 = (1 - x_2)u_{f2} + x_2 u_{g2} = 0.242 \times 1149 + 0.758 \times 2597$$

$$\text{i.e. } u_2 = 278 + 1969 = 2247 \text{ kJ/kg}$$



الشكل (3.13)

بحجم ثابت من المعادلة 2.2 ،

$$Q = U_2 - U_1 = m(u_2 - u_1) = 0.835(2247 - 2750.5)$$

$$\text{i.e. } Q = -0.835 \times 503.5 = -420 \text{ kJ}$$

$$\text{i.e. } \text{الحرارة المفقودة} = \frac{420}{\text{kg}}$$

الشكل رقم 3.13 يوضح الإجراء مرسوماً على مخطط $T - S$ ، و تمثل المساحة المظللة الحرارة المفقودة بالنظام .

b/ لغاز مثالي :

من المفيد رسم خطوط الضغط الثابت و الحجم الثابت على مخطط $S - T$ لغاز مثالي . بما أن تغيرات القصور الحراري تكون ذات تطبيق مباشر أكثر من القيمة المطلقة ، فيمكن اختبار القصور الحراري الصفرى عند أي مرجعية اعتمادية درجة الحرارة و الضغط . فى الشكل 3.14 فإن الضغط p_1 و خط الحجم v_1 يتم رسمها ماران خلال النقطة 1 . لاحظ أن خط الضغط الثابت يميل بأقل انحداراً عن خط الحجم الثابت . هذه يمكن برهانها بسهولة بالرجوع للشكل 3.14 . أجعل النقاط A و B تكونان عند T_2 و v_1 ، و T_1 و p_1 على الترتيب كما موضح . الأن بين 1 و A من المعادلة 3.7 نحصل على ،

$$S_A - S_1 = \int_1^A \frac{dQ}{T}$$

أيضاً لحجم ثابت ل 1 kg من الغاز من المعادلة

$$\therefore S_A - S_1 = \int_1^A \frac{c_v dT}{T} = c_v \log_e \frac{T_A}{T_1} = c_v \log_e \frac{T_2}{T_1}$$

نفس الشئ ، عند ضغط ثابت 1 kg من الغاز . وبالتالي ،

$$S_B - S_1 = \int_1^B \frac{c_p dT}{T} = c_p \log_e \frac{T_B}{T_1} = c_p \log_e \frac{T_2}{T_1}$$

الآن يمكن بما أن c_p تكون أكبر من c_v لأى غاز مثالي ، وبالتالي $S_B - S_1$ يكون أكبر من $S_A - S_1$. عليه يجب أن تقع النقطة A يسار النقطة B على المخطط ، وبالتالي فإن خط ثابت الضغط يميل بأقل عن خط الضغط الثابت . يوضح الشكل 3.15a متسلسلة خطوط ضغط ثابت على مخطط $S - T$ ، و يوضح الشكل 3.15b متسلسلة خطوط حجم ثابت على مخطط $T - S$. لاحظ أنه فى الشكل 3.15a $p_6 > p_5 > p_4 > p_3$ etc و فى الشكل 3.15b $v_1 > v_2 > v_3$ etc . كلما يرتفع الضغط ، ترتفع درجة الحرارة و ينخفض الحجم ؛ بالعكس كلما هبط الضغط و درجة الحرارة ، يزداد الحجم .

مثال (3.5) :-

هواء عند $C 15^{\circ}$ و bar 1.05 يحتل حجماً مقداره $m^3 0.02$. يُسخن الهواء بحجم ثابت حتى يكون الضغط مساوياً bar 4.2 ، و من ثم يبرد بضغط ثابت إلى درجة الحرارة الأصلية . أحسب صافى سريان الحرارة إلى أو من الهواء و صافى التغير فى القصور الحراري . أرسم الإجراء على مخطط $T - S$.

using the eqn. (3.14)

$$(2000 - 1400) \times 288.0 = (n - 1) \times 13 = Q \quad \text{Ans}$$

$$1600 = 13Q \Rightarrow Q = 123.06 \text{ kJ}$$

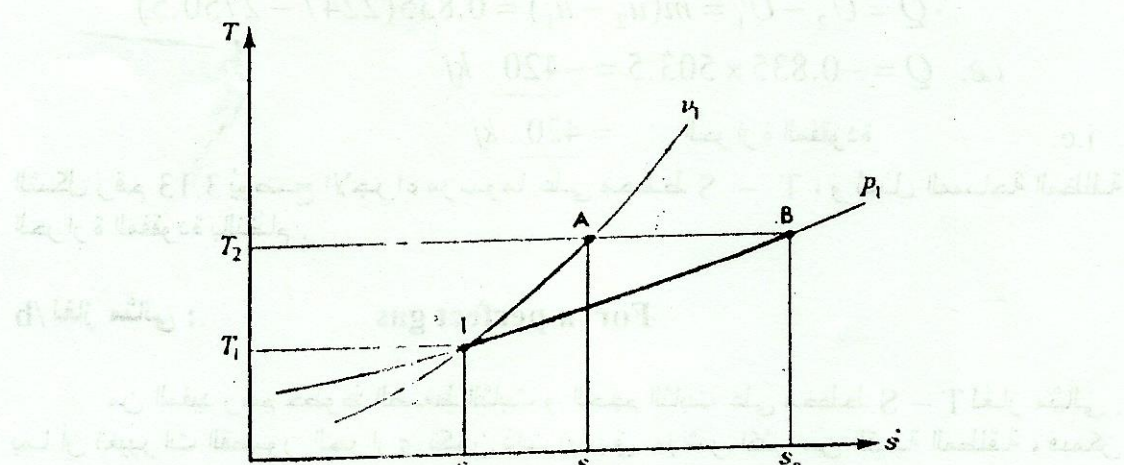


Fig. 3.14

الشكل (3.14)

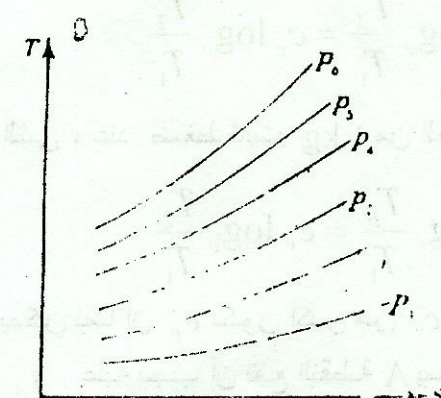


Fig. 3.15a

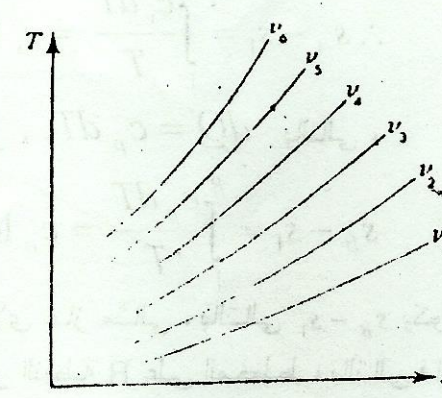


Fig. 3.15b

الشكل (3.15a)

الشكل (3.15b)

يتم توضيح الإجراء على مخطط S-T في الشكل رقم 3.16 لغاز مثالي ،

$$m = \frac{p v}{R T} = \frac{1.05 \times 10^5 \times 0.02}{0.287 \times 10^3 \times 288} = 0.0254 \text{ kg}$$

$$(T_1 = 15 + 273 = 288 \text{ K})$$

لغاز مثالي عند حجم ثابت ، $p_1 / T_1 = p_2 / T_2$ ، وبالتالي ،

$$T_2 = \frac{4.2 \times 288}{1.05} = 1152 \text{ K}$$

عند حجم ثابت ،

$$Q = m c_v (T_2 - T_1) = 0.0254 \times 0.718 (1152 - 288)$$

$$\text{i.e. } Q_{1-2} = 15.75 \text{ kJ}$$

عند ضغط ثابت

$$Q = m c_p (T_3 - T_2) = 0.0254 \times 1.005 (288 - 1152)$$

$$\text{i.e. } Q_{2-3} = -22.05 \text{ kJ}$$

$$\therefore \text{صافى سريان الحرارة} = Q_{1-2} + Q_{2-3} = 15.75 - 22.05 = -6.5 \text{ kJ}$$

i.e. $= 6.3 \text{ kJ}$ = الحرارة المفقودة

بالرجوع للشكل 3.16

$$\text{صافى النقصان فى القصور الحرارى} = s_1 + s_3 = (s_2 - s_3) - (s_2 - s_1)$$

عند ضغط ثابت ، $dQ = m c_p dT$ ، وبالتالي ، مستخدماً المعادلة 3.7 ،

$$m(s_2 - s_3) = \int_{288}^{1152} \frac{m c_p dT}{T} = 0.0254 \times 1.005 \times \log_e \frac{1152}{288}$$

$$= 0.0354 \text{ kJ/K}$$

عند حجم ثابت ، $dQ = m c_v dT$ ، وبالتالي ، بإستخدام المعادلة 3.7

$$m(s_2 - s_1) = \int_{288}^{1152} \frac{m c_v dT}{T} = 0.0254 \times 0.718 \times \log_e \frac{1152}{288}$$

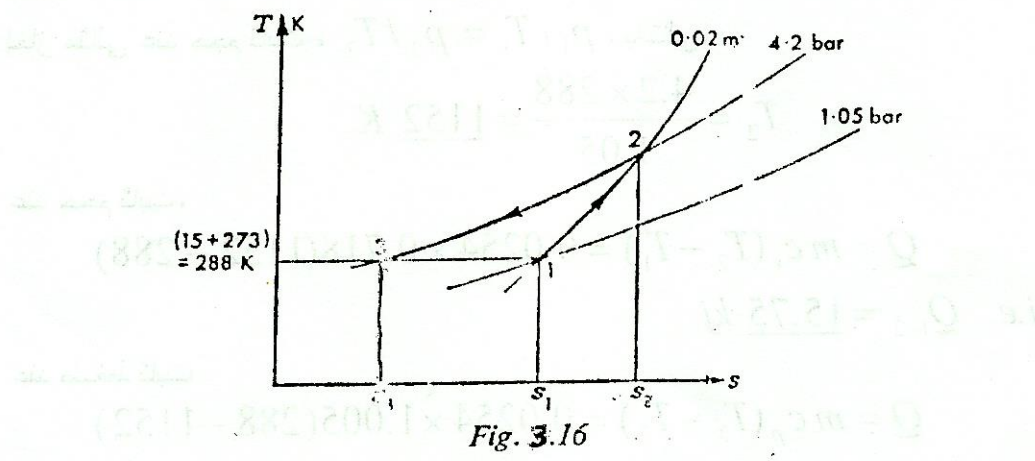
$$= 0.0253 \text{ kJ/K}$$

عليه ،

$$m(s_1 - s_3) = 0.354 - 0.0253 = 0.0101 \text{ kJ/K}$$

$$\text{i.e. } = \text{النقصان فى القصور الحرارى} = 0.0101 \text{ kJ/K}$$

لاحظ انه بما أن القصور الحراري هو عبارة عن خاصية، فإن النقصان في القصور الحراري في المثال 3.3، المعطى بـ $(s_3 - s_1)$ ، يكون مستقلاً عن الإجراءات الخاصة بين الحالات 1 و 3. يمكن أيضاً إيجاد التغير $(s_3 - s_1)$ بتخيل إجراءً ثابتاً لدرجة الحرارة إنعكاسياً يحدث بين 1 و 3.



الشكل (3.16)

Fig. 3.16

Fig. 3.16

3.4 إجراءات إنعكاسية على مخطط T – S : Reversible process on the T – S diagram

الإجراءات الإنعكاسية العديدة التي تم التعامل معها في الفصل 2 سيتم الآن اعتبارها بالعلاقة على مخطط T – S . لقد تم تمثيل إجراءات الحجم الثابت والضغط الثابت على مخطط T – S في المقطع 3.3، وعليه فسوف لن يتم نقاشها مرة أخرى في هذا المقطع.

الإجراء ثابت درجة الحرارة الإنعكاسي :- Reversible Isothermal Process

سيبدو الإجراء ثابت درجة الحرارة الإنعكاسي كخط مستقيم على مخطط T – S ، و تمثل المساحة تحت الخط سريان الحرارة أثناء الإجراء. كمثال، فإن الشكل 3.17 يوضح تمدد ثابت لدرجة الحرارة إنعكاسي لبخار رطب في منطقة التحبيص. تمثل المساحة المظللة الحرارة المكتسبة أثناء الإجراء،

$$\text{i.e. } T(s_2 - s_1) = \text{الحرارة المكتسبة}$$

لاحظ أنه يجب استخدام درجة الحرارة المطلقة . تكون درجة الحرارة المجدولة في جداول البخار هي $t^{\circ}C$ ، ويجب تحويلها إلى $T K$. عندما يتم اعتبار الإجراء ثابت درجة الحرارة لبخار في المقطع 2.1، لم يكن هناك أسلوباً متاحاً لتقييم سريان الحرارة . يمكن إدخال مخطط T – S من إيجاد سريان الحرارة ، كما موضح في المثال التالي.

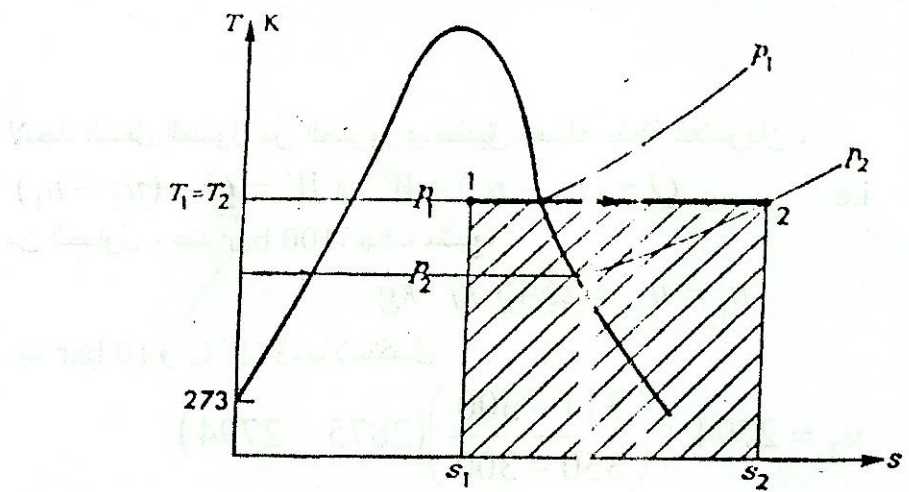


Fig. 3.17

(3.17)

مثال 3.5 :-
بخار جاف مشبّع عند 100 bar يتمدد بثبات درجة الحرارة و بانعكاسية إلى ضغط مقداره 10 bar . أحسب الحرارة المكتسبة و الشغل المبذول لكل kg من البخار اثناء الاجراء.

يتم توضيح الاجراء في الشكل 3.18 ، حيث المساحة المظللة تمثل الحرارة المكتسبة .
من الجداول عند 100 bar ، جاف مشبّع

$$s_1 = s_g' = 5.615 \text{ kJ/kgK} , \quad T_1 = 311^\circ\text{C}$$

عند 10 و 311°C يكون البخار محمصاً ، وبالتالي بالإستكمال

$$s_2 = 7.124 + \left(\frac{311 - 300}{350 - 300} \right) (7.301 - 7.124)$$

$$\text{i.e. } s_2 = 7.124 + 0.039 = 7.163 \text{ kJ/kgK}$$

بالتالي نحصل على ،

$$\text{المساحة المظللة} = T(s_2 - s_1)$$

$$= 584 (7.163 - 5.615) = 584 \times 1.548$$

(حيث $T = 311 + 273 = 584$)

$$\text{i.e. } 584 \times 1.548 = 904 \text{ kJ/kg}$$

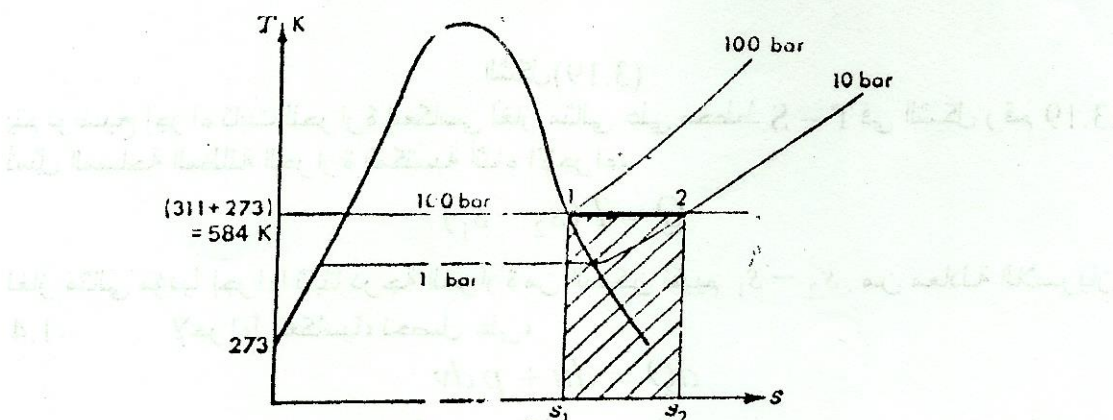


Fig. 3.18

(3.18)

لإيجاد الشغل المبذول من الضروري تطبيق معادلة طاقة اللاسريان ،

$$\text{i.e. } Q = (u_2 - u_1) + W \quad \text{أو} \quad W = Q - (u_2 - u_1)$$

من الجداول ، عند 100 bar ، عند 311° C ، جاف مشبع ،

$$u_1 = u_g = 2545 \text{ kJ/kg}$$

عند 10 bar و 311° C ، بالاستكمال

$$u_2 = 2794 + \left(\frac{311 - 300}{350 - 300} \right) (2875 - 2794)$$

$$\text{i.e. } u_2 = 2794 + 17.8 = 2811.8 \text{ kJ/kg}$$

بالتالي ،

$$W = Q - (u_2 - u_1)$$

$$= 904 - (2811.8 - 2545)$$

$$= 904 - 266.8$$

$$\text{i.e. } W = 637.2 \text{ kJ/kg}$$

$$\text{i.e. } 637.2 \text{ kJ/kg} = \text{الشغل المبذول بواسطة البخار}$$

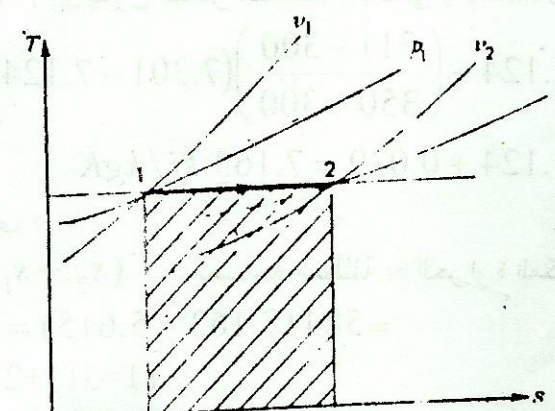


Fig. 3.19

الشكل (3.19)

يتم توضيح إجراء ثابت للحرارة إنعكاسي لغاز مثالي على مخطط T - S في الشكل رقم 3.19 . تمثل المساحة المظللة الحرارة المكتسبة أثناء الإجراء ،

$$Q = T(S_2 - S_1)$$

لغاز مثالي مؤدياً إجراء ثابت درجة الحرارة من الممكن تقدير $S_1 - S_2$. من معادلة اللاسريان لإجراء إنعكاسي ، نحصل على ،

$$dQ = du + p dv$$

أيضاً لغاز مثالي من قانون جول

i.e.

$$dQ = c_v dT + p dv$$

لإجراء ثابت درجة الحرارة ، $dT = 0$ ، وبالتالي ، $dQ = p dv$

بالتالي بما أن $p v = R T$ ، نحصل على ،

$$dQ = R T \frac{dv}{v}$$

الآن من المعادلة 3.7 ،

$$s_2 - s_1 = \int_{v_1}^{v_2} \frac{dQ}{T} = \int_{v_1}^{v_2} \frac{R T dv}{T v} = R \int_{v_1}^{v_2} \frac{dv}{v}$$

$$i.e. \quad s_2 - s_1 = R \log_e \frac{v_2}{v_1} = R \log_e \frac{p_1}{p_2} \quad (3.12)$$

عليه تعطى الحرارة المكتسبة بـ

$$Q = T(s_2 - s_1) = R T \log_e \frac{v_2}{v_1} = R T \log_e \frac{p_1}{p_2}$$

لاحظ أن هذه النتيجة هي نفس التي تم إشتقاقها في المقطع 2.1 ،

$$i.e. \quad Q = W = R T \log_e \frac{p_1}{p_2} = p_1 v_1 \log_e \frac{p_1}{p_2}, etc$$

مثال 3.6 :-

0.03 m³ من نايتروجين (بكتلة جزيئية 28 kg/kmol) محتوى في أسطوانة خلف كباس ، يكون ابتدائياً عند 1.05 bar و 15° C. يتم إنضغاط الغاز بثبات درجة الحرارة و بانعكاسية حتى يكون مساوياً ل 4.2 bar . أحسب التغير في القصور الحراري ، سريان الحرارة ، و الشغل المبذول ، وأرسم الإجراء على مخطط p - v و T - S

افتراض أن النايتروجين يعمل كغازاً مثاليأً . يوضح الإجراء على مخطط p - v و T - S في الأشكال a و b و 3.20 على الترتيب ، تمثل المساحات المظللة على الشكل a 3.20 شغل الدخل ، بينما تمثل المساحة المظللة على الشكل b الحرارة المفقودة.

$$R = \frac{R_o}{M} = \frac{8314}{28} = 297 \text{ N.m / kgK}$$

بالتالي بما أن $p v = m R T$ ، نحصل على

$$m = \frac{p v}{R T} = \frac{1.05 \times 10^5 \times 0.03}{297 \times 288} = 0.0368 \text{ kg}$$

$$(T = 15 + 273 = 288 \text{ K})$$

بالتالي من المعادلة 3.12 ، $m \text{ kg} = 0.0368 \text{ kg}$

$$s_2 - s_1 = mR \log_e \frac{p_1}{p_2} = \frac{0.0368 \times 297}{10^3} \log_e \frac{1.05}{4.2}$$

$$\text{i.e. } s_2 - s_1 = -\frac{0.0368 \times 297}{10^3} \log_e \frac{4.2}{1.05} = -0.01516 \text{ kJ/K}$$

النقصان في القصور الحراري،

$$s_2 - s_1 = 0.01516 \text{ kJ/K}$$

$T(s_2 - s_1) = \text{الحرارة المفقودة}$

$$= 288 \times 0.01516 = 4.37 \text{ kJ}$$

بالتالي لإجراء ثابت الحرارة لغاز مثالي، من المعادلة 2.12

$$W = Q = 4.37 \text{ kJ}$$

i.e. شغل الدخل = 4.37 kJ

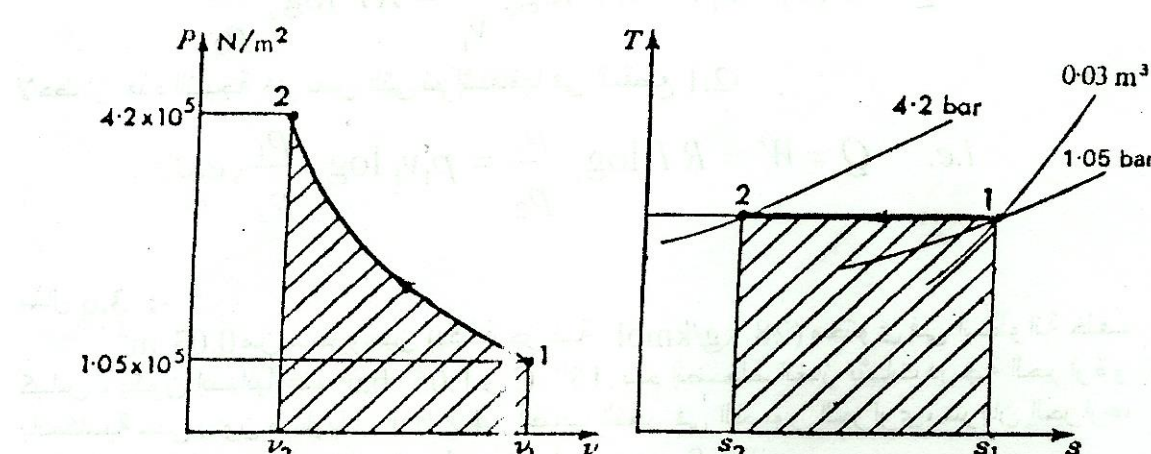


Fig. 3.20a

Fig. 3.20b

(3.20a)

(3.20b)

إجراء كاظم للحرارة إنعكاسي (أو إجراء ثابت القصور الحراري) :-

Reversible adiabatic process (or isentropic process)

لإجراء كاظم للحرارة إنعكاسي يبقى القصور الحراري ثابتاً، و بالتالي يسمى ثابت القصور الحراري. لاحظ أنه لكي يكون الإجراء ثابت القصور الحراري فإنه لا يحتاج أن يكون كاظماً للحرارة أو إنعكاسياً، لكن سيبدو الإجراء دائمًا خط رأسى على مخطط $T - S$ - $P - v$ التي لا يكون فيها الإجراء ثابت القصور الحراري كاظماً للحرارة أو إنعكاسياً تحدث قليلاً لذا سيتم تجاهلها طوال هذه المذكرات.

هذا إجراء ثابت للقصور الحراري لبخار محمض يتمدد في المنطقة الرطبة يوضح في الشكل 3.21. عندما تم اعتبار الإجراء كاظم الحرارة إنعكاسي في المقطع 2.1، لقد تم ذكر

أنه ليس هنالك أسلوباً متماماً لتنشيط الحالات الظرفية. الآن باستخدام حقيقة أن القصور الحراري يبقى ثابتاً، فإن الحالات الظرفية يمكن إيجادها بسهولة من الجداول. هذه تُوضح في المثال التالي

مثال 3.7 :

بخار عند 100 bar و 375° C يتمدد بثبوت القصور الحراري في أسطوانة خلف كباس إلى ضغط مقداره 10 bar . أحسب التشغيل المبذول لكل kg من البخار.

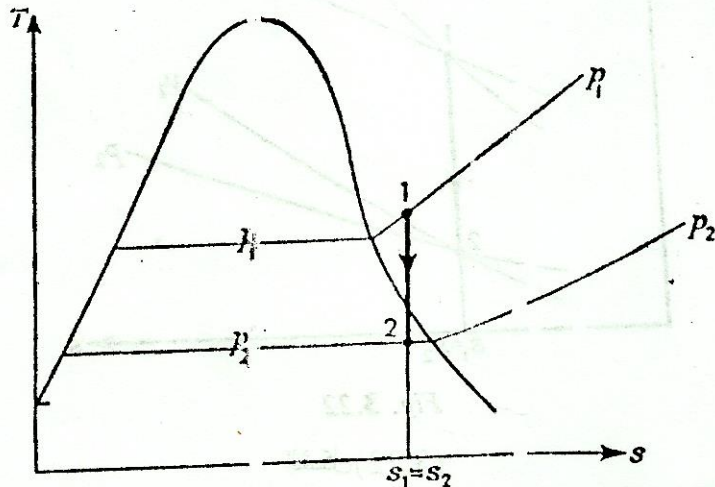


Fig. 3.21

الشكل (3.21)

من جداول التحميص، عند 100 bar ، 375° C ، نحصل على ،

$$s_1 = s_2 = 6.091 \text{ kJ/kgK}$$

عند 10 bar و $s_2 = 6.091$ ، فإن البخار يكون رطباً، وبالتالي ، تكون s_2 أقل من s_{fg_2} من المعادلة 3.11

$$x_2 = \frac{s_2 - s_{fg_2}}{s_{fg_2}} = \frac{6.091 - 2.138}{4.448} = 0.889$$

بالتالي ،

$$u_2 = (1 - x_2)u_{fg_2} + x_2 u_{g_2} = (0.111 \times 762) + (0.88 \times 2584)$$

$$\text{i.e. } u_2 = 84.6 + 2297 = 2381.6 \text{ kJ/kg}$$

عند ضغط 10 bar ، 375° C ، 100 bar ، $h_1 = 3017 \text{ kJ/kg}$ ، نحصل من الجداول ،

$$v_1 = 3017 \text{ m}^3/\text{kg} . \text{ وبالتالي باستخدام المعادلة 1.7 ،}$$

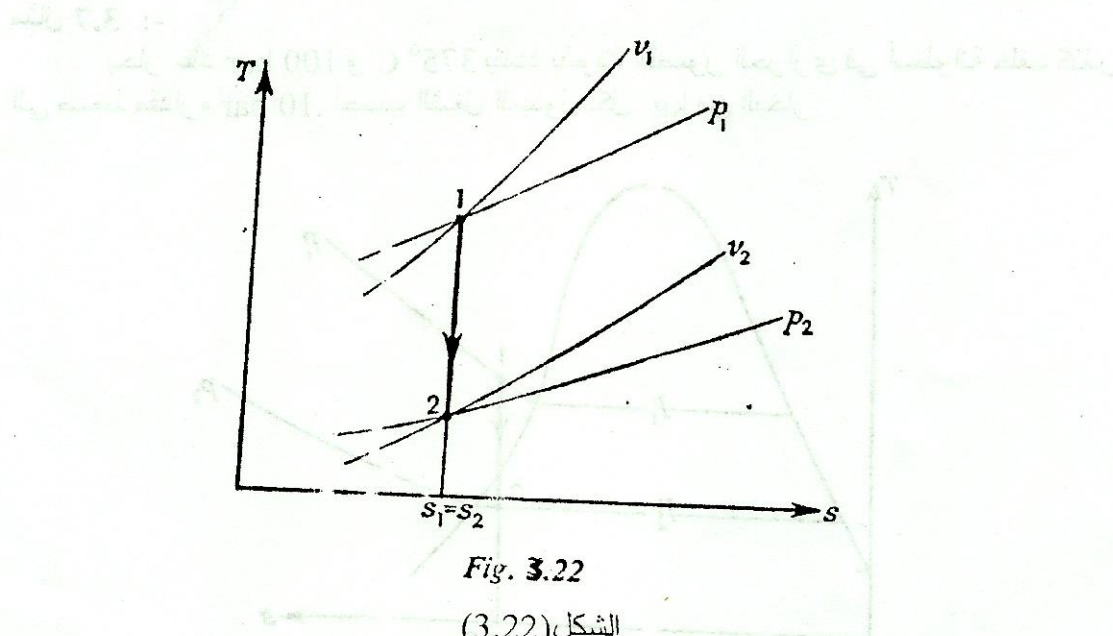
$$u_1 = h_1 - p_1 v_1 = 3017 - \frac{100 \times 10^5 \times 0.02453}{10^3} = 3017 - 245.3$$

$$\text{i.e. } u_2 = 2771.7 \text{ kJ/kg}$$

لإجراء كاظم للحرارة من المعادلة 2.13

$$i.e. \quad W = u_1 - u_2$$

$$= 2771.7 - 2381.6 = 390.1 \text{ kJ/kg}$$



الشكل (3.22)

يتم توضيح إجراءً ثابتاً للقصور الحراري على مخطط $T - S$. لقد تم التوضيح في المقطع 2.1 أنه لإجراء كاظم للحرارة إنعكاسي لغاز مثالي فإن الإجراء يتبع القانون $p v^{\gamma} = const.$. بما أن الإجراء كاظم الحرارة الإنعكاسي يحدث عند قصور حراري ثابت، ويُسمى بالإجراء ثابت القصور الحراري، فإن الأس γ يُعرف بالأس ثابت القصور الحراري للغاز.

Polytropic Process

إجراء متعدد الاتجاهات:-

لإيجاد التغير في القصور الحراري في إجراءً متعدد الاتجاه لبخار يتم تثبيت الحالات الطرفية باستخدام $p_1 v_1^{\gamma} = p_2 v_2^{\gamma}$ ، فإن قيم القصور الحراري عند الحالات الطرفية يمكن قراءتها مباشرة من الجداول.

مثال 3.8 :-
في محرك بخار يكون البخار عند بداية إجراء التمدد عند 7 bar، كسر حفاف 0.95، يتبع التمدد القانون $p v^{1.1} = const.$ ، أسفل إلى ضغط مقداره 0.34 bar. أحسب التغير في القصور الحراري لكل kg من البخار أثناء الإجراء.

(لاحظ أن هذه هي بيانات المثال 2.6)

عند $v_g = 0.2728 \text{ m}^3/\text{kg}$ ، بالتالي،

$$v_1 = x_1 v_{g1} = 0.95 \times 0.2728 = 0.26 \text{ m}^3/\text{kg}$$

بالتالي من المعادلة 2.25،

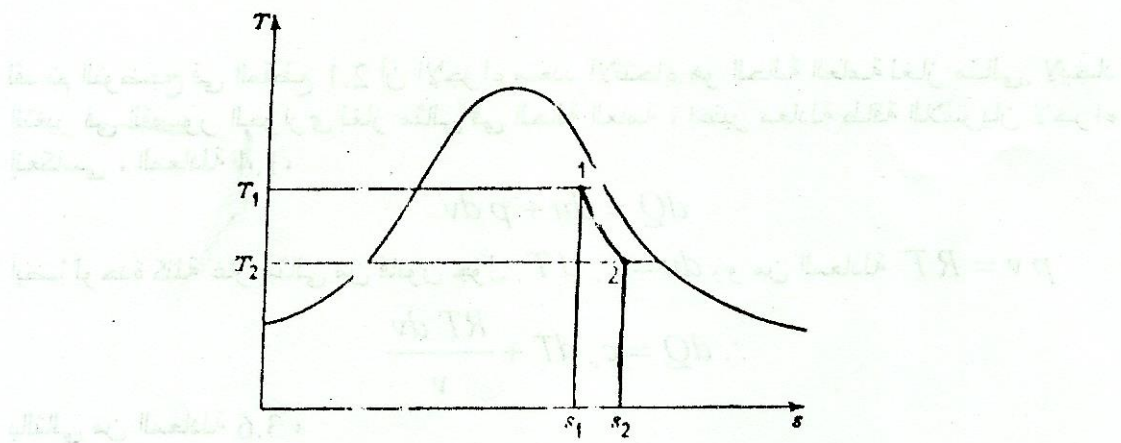


Fig. 3.23
(3.23) الشكل

$$\frac{P_1}{P_2} = \left(\frac{v_2}{v_1} \right)^{1.1} \quad \text{أو} \quad \frac{v_2}{v_1} = \left(\frac{P_1}{P_2} \right)^{1/1.1}$$

$$\therefore v_2 = 0.26 \times \left(\frac{7}{0.34} \right)^{0.909} = 0.26 \times 20.59^{0.909} = 4.06 \text{ m}^3 / \text{kg}$$

$v_g = 4.649$ ، يكون البخار رطباً، بما أن $v_2 = 4.06 \text{ m}^3 / \text{kg}$ عند 0.34 bar و

$$x_2 = \frac{v_2}{v_{g_2}} = \frac{4.06}{0.649} = 0.876$$

بالتالي من المعادلة 3.10 ،

$$s_f = s_{f_1} + x_1 s_{fg_1} = 1.992 + 0.95 \times 4.717 = 6.472 \text{ kJ / kgK}$$

و

$$s_2 = s_{f_2} + x_2 s_{fg_2} = 0.98 + 0.876 \times 6.745 = 6.889 \text{ kJ / kgK}$$

$(s_2 - s_1)$ الزيادة في القصور الحراري

يكون الإجراء موضحاً على مخطط T-S في الشكل 3.23

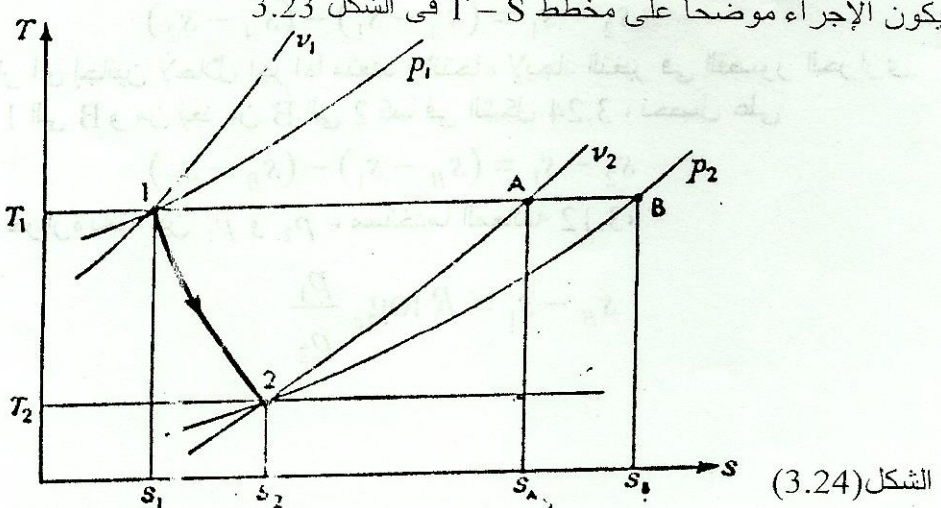


Fig. 3.24

لقد تم التوضيح في المقطع 2.1 أن الإجراء متعدد الإنتحاء هو الحالة العامة لغاز مثالي. لإيجاد التغير في القصور الحراري لغاز مثالي في الحالة العامة، يعتبر معادلة طاقة اللاسيران لإجراء انعكاسي، المعادلة 1.4،

$$dQ = du + p dv$$

أيضاً لوحدة كتلة غاز مثالي من قانون جول $p v = R T$ ، و من المعادلة

$$\therefore dQ = c_v dT + \frac{RT dv}{v}$$

بالتالي من المعادلة 3.6 ،

$$ds = \frac{dQ}{T} = \frac{c_v dT}{T} + \frac{R dv}{v}$$

بالتالي بين اى حالتين 1 و 2

$$s_2 - s_1 = c_v \int_{T_1}^{T_2} \frac{dT}{T} + R \int_{v_1}^{v_2} \frac{dv}{v} = c_v \log_e \frac{T_2}{T_1} + R \log \frac{v_2}{v_1} \quad (3.13)$$

هذه يتم توضيحيها على مخطط $S - T$ كما في الشكل رقم 3.24. بما أنه في الإجراء في الشكل 3.24 ، $T_2 > T_1$ ، بالتالي من الملائم أكثر كتابة

$$s_2 - s_1 = R \log \frac{v_2}{v_1} - c_v \log_e \frac{T_1}{T_2} \quad (3.14)$$

الجزء الأول من التعديل $s_1 - s_2$ في المعادلة 3.15 هو التغير في القصور الحراري في إجراء ثابت درجة الحجم من T_1 إلى T_2 ، بالرجوع للشكل 3.24 i.e.

$$s_1 - s_2 = c_v \log_e \frac{T_1}{T_2}$$

عليه يمكن الملاحظة أنه بحساب التغير في القصور الحراري في إجراء متعدد الإنتحاء من الحالة 1 إلى الحالة 2 تكون قد استبدلنا الإجراء بإجرانين أبسط؛ من 1 إلى A و من A إلى 2. من الواضح من الشكل 3.24 أن

$$s_2 - s_1 = (s_A - s_1) - (s_A - s_2)$$

يمكن اختيار أي إجرانين لإحلال إجراءً متعدد الإنتحاء لإيجاد التغير في القصور الحراري. كمثال من 1 إلى B و من بعد من B إلى 2 كما في الشكل 3.24 ، نحصل على

$$s_2 - s_1 = (s_B - s_1) - (s_B - s_2)$$

عند درجة حرارة ثابتة بين p_1 و p_2 ، مستخدماً المعادلة 3.12

$$s_B - s_1 = R \log_e \frac{p_1}{p_2}$$

عند ضغط ثابت بين T_1 و T_2 نحصل على ،

$$s_B - s_2 = c_p \log_e \frac{T_1}{T_2}$$

بالتالي ،

$$s_2 - s_1 = R \log \frac{p_1}{p_2} - c_p \log_e \frac{T_1}{T_2}$$

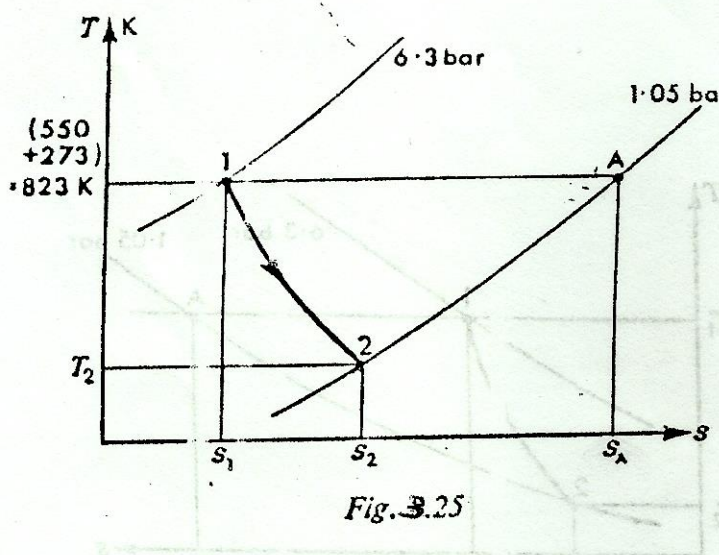
$$s_2 - s_1 = c_p \log_e \frac{T_2}{T_1} + R \log \frac{p_1}{p_2} \quad (3.15)$$

يمكن إشتقاق المعادلة 3.15 بسهولة من المعادلة 3.13. من الواضح أن هناك عدد كبير من المعادلات الممكنة للتغير في القصور الحراري في إجراء متعدد الإنتحاء ، ويتم التأكيد على أنه لا يجب عمل أي محاولة لتنكر جميع المعادلات مثل هذه التعبيرات. يمكن التعامل مع كل مسألة برسم مخطط $S - T$ و استبدال الإجراء بآخرتين آخرين انعكاسيين أبسط ، كما في الشكل

.3.24

مثال 3.9 :-

لحسب التغير في القصور الحراري ل 1 من هواء يتمدد بإنتحاء في أسطوانة خلف كباس من 1.05 bar إلى 550°C ، 6.3 bar . يكون ألس التمدد مساوياً ل 1.3 .



الشكل (3.25)

يتم توضيح الإجراء على مخطط $S - T$ في الشكل رقم 3.25. من المعادلة 2.29 ،

$$\frac{T_1}{T_2} = \left(\frac{p_1}{p_2} \right)^{(n-1)/n} = \left(\frac{6.3}{1.05} \right)^{(1.3-1)/1.3} = 6^{0.231} = 1.512$$

$$\therefore T_2 = \frac{823}{1.512} = 544 \text{ K}$$

(حيث $T_1 = 550 + 273 = 823 \text{ K}$)
الآن يستبدل الإجراء 1 إلى 2 بإجراءاتين ، 1 إلى A و 2 إلى A. وبالتالي عند درجة حرارة ثابتة من 1 إلى A ، من المعادلة 3.12 ،

$$s_B - s_1 = R \log_e \frac{p_1}{p_2} = 0.287 \log_e \frac{6.3}{1.05} \\ = 0.287 \times 1.792 = 0.515 \text{ kJ/kgK}$$

عند ضغط ثابت من A إلى 2

$$s_A - s_2 = c_p \log_e \frac{T_1}{T_2} = 1.005 \log_e \frac{823}{544} \\ = 1.005 \times 0.413 = 0.415 \text{ kJ/kgK}$$

بالناتي $s_2 - s_1 = 0.515 - 0.415 = 0.1 \text{ kJ/kgK}$

i.e. الزيادة في القصور الحراري $= 0.1 \text{ kJ/kgK}$

لاحظ أنه في هذه المسألة إذا أصبحت $s_1 - s_2$ أو $s_A - s_2$ ، هذا يعني أن s_1 تكون أكبر من s_2 ، ويجب أن يبدو الإجراء كما في الشكل 3.26 ،

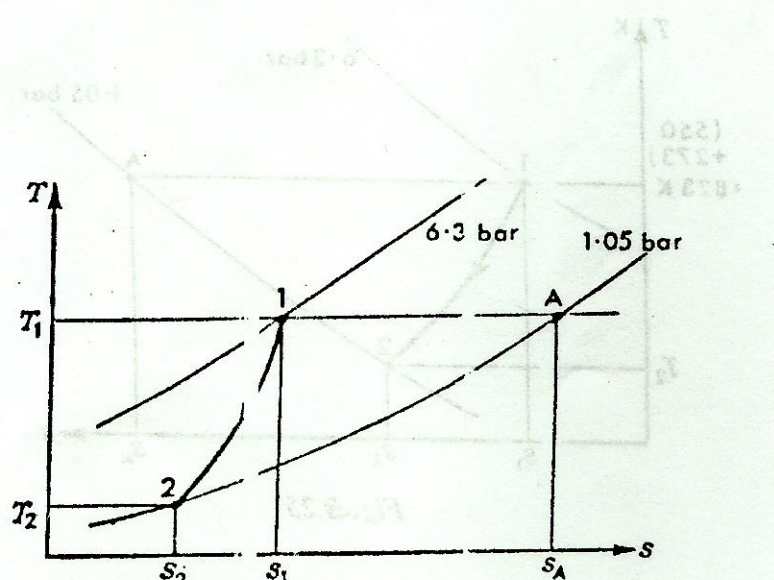


Fig. 3.26

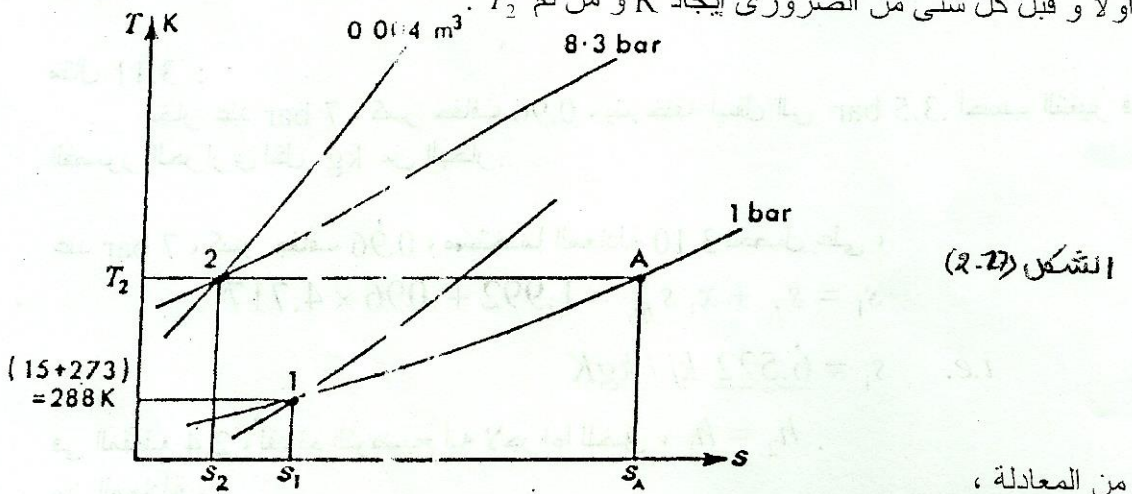
الشكل (3.26)

- مثال 5.10 :

كتلة مقدارها 0.05 kg من ثاني أكسيد كربون (بكتلة جزيئية 44 kg/kmol) يتم إنضغاطه من 1 bar ، 15° C ، حتى يكون الضغط مساوياً لـ 8.3 bar ، ويكون عنده الحجم 0.004 m^3 . أحسب التغير في القصور الحراري . جذ c_p لثاني أكسيد الكربون ك 0.88 kJ/kg K ، وافتراض أن ثاني أكسيد الكربون يكون غازاً مثاليّاً.

يتم توضيح الحالتين الطرفيتين على مخطط $S-T$ في الشكل رقم 3.27. لم يتم تحديد الإجراء في المثال وليس هناك معلومات ضرورية حوله. يتم تثبيت الحالات 1 و 2 وبالتالي فإن $s_1 - s_2$ تكون مثبتة. يمكن أن يكون الإجراء بين 1 و 2 إبعاكاسياً أو لأنعكاسياً؛ يكون التغير في القصور الحراري هو نفسه بين الحالات الطرفية المعطاة.

بالرجوع للشكل 3.27 ، لإيجاد $s_2 - s_1$ يمكن أولاً إيجاد $s_2 - s_A$ و من بعد طرح $s_A - s_1$. أولاً و قبل كل شيء من الضروري إيجاد R و من ثم T_2 .



الشكل (2.27)

$$R = \frac{R_o}{M} = \frac{8314}{44} = 189 \text{ N.m/kgK}$$

عليه $p v = m R T$ من المعادلة ،

$$T_2 = \frac{p_2 v_2}{R m} = \frac{8.3 \times 10^5 \times 0.004}{0.05 \times 189} = 315 \text{ K}$$

بالتالي من المعادلة 3.12

$$s_2 - s_1 = R \log_e \frac{p_2}{p_1} = 0.189 \log_e \frac{8.3}{1} = 0.4 \text{ kJ/kgK}$$

أيضاً عند ضغط ثابت من 1 إلى A

$$s_A - s_1 = c_p \log_e \frac{T_2}{T_1} = 0.88 \log_e \frac{351}{288} = 0.174 \text{ kJ/kgK}$$

($T_1 = 15 + 273 = 288 \text{ K}$ حيث)

بالتالي

$$s_1 - s_2 = 0.4 - 0.174 = 0.226 \text{ kJ/kgK}$$

بالتالي ل 0.05 kg من ثاني أكسيد الكربون ،

$$0.05 \times 0.226 = 0.0113 \text{ kJ/K}$$

3.5- القصور الحراري والإنعكاسية:

Entropy and Irreversibility

لقد تمت الإشارة في المقطع السابق إلى أنه ، بما أن القصور الحراري هو خاصية ، فإن التغير في القصور الحراري يعتمد فقط على الحالات الظرفية وليس على الإجراء بين الحالات الظرفية . عليه ، فإن إجراءً لا إنعكاسيًا معطى يعطى معلومات كافية لتثبيت الحالات الظرفية وبالتالي يمكن إيجاد التغير في القصور الحراري . هذه يمكن توضيحها بصورة أفضل ببعض الأمثلة .

مثلاً 3.11 :
بخار عند 7 bar ، كسر جاف 0.96 ، يتم خنقه أسفل إلى 3.5 bar . احسب التغير في القصور الحراري لكل kg من البخار .

عند 7 bar ، كسر جاف 0.96 ، مستخدماً المعادلة 3.10 نحصل على ،

$$s_1 = s_{f_1} + x_1 s_{fg_1} = 1.992 + 0.96 \times 4.717$$

$$\text{i.e. } s_1 = 6.522 \text{ kJ/kgK}$$

في المقطع 2.4 ، لقد تم التوضيح أنه لإجراءً للخنق ،
من المعادلة ،

$$h_2 = h_1 = x_1 h_{fg_1} = 697 + 0.96 \times 2067 = 2682 \text{ kJ/kg}$$

عند 3.5 bar يكون البخار مايزال رطباً ، بما أن $h_2 > h_1$

من المعادلة ، $h_2 = h_1 = x_1 h_{fg_1}$ ، عليه ،

$$x_2 = \frac{h_2 - h_{f_2}}{h_{fg_2}} = \frac{2682 - 584}{h_{fg_2}} = 0.977$$

بالتالي ،

$$6.817 - 6.522 = 0.295 \text{ kJ/kgK}$$

يتم توضيح ذلك على مخطط $S-T$ في الشكل 3.28 . لاحظ أن الإجراء يُوضح منقطاً ، و لا تمثل المساحة تحت الخط سريان الحرارة ؛ يفترض إجراء الخنق أنه ليس هنالك سريان حرارة ، بل يكون هنالك تغيراً في القصور الحراري لأن الإجراء يكون إنعكاسياً .

مثلاً 3.12 :-

وعاءان بحجم متساوٍ يتم توصيلهما بمسورة قصيرة الطول تحتوى على صمام؛ كلاً الوعائين يكونان معزولاً حرارياً. أحد الوعائين يحتوى على هواء والأخر يكون مفرغاً تماماً. أحسب التغير في القصور الحراري لكل kg من الهواء في النظام عندما يفتح الصمام للهواء بملء كلاً الوعائين.

بداية يكون الوعاء A حاوياً لهواء ويكون الوعاء B مفرغاً تماماً، كما في الشكل 3.29؛ أخيراً يحتل الهواء الوعائين A و B. في المقطع 2.4 لقد تم التوضيح أنه في تمدد غير مقاوم (unresisted expansion) لغاز مثالي، تكون درجات الحرارة الإبتدائية والنهاية متساوية. في هذه الحالة يكون الحجم الإبتدائي V_A و الحجم النهائي $V_A + V_B = 2V_A$. يمكن توضيح الحالات الطرفية على مخطط $T - s$ كما موضح في الشكل 3.30. يكون الإجراء 1 إلى 2 لا إنعكاسياً ويجب رسمه منقطاً. يكون التغير في القصور الحراري هو $s_2 - s_1$ ، بدون النظر لمر الإجراء بين 1 و 2. وبالتالي، لحساب التغير في القصور الحراري، تخيل أن الإجراء يتم استبداله بإجراء ثابت للحرارة إنعكاسياً بين الحالات 1 و 2. وبالتالي من المعادلة 3.12.

$$(s_2 - s_1) = R \log_e \frac{V_2}{V_1} = 0.287 \log_e \frac{2V_A}{V_A}$$

$$= 0.287 \log_e 2 = 0.119 \text{ kJ/kgK}$$

i.e. 0.119 kJ/kgK = الزيادة في القصور الحراري

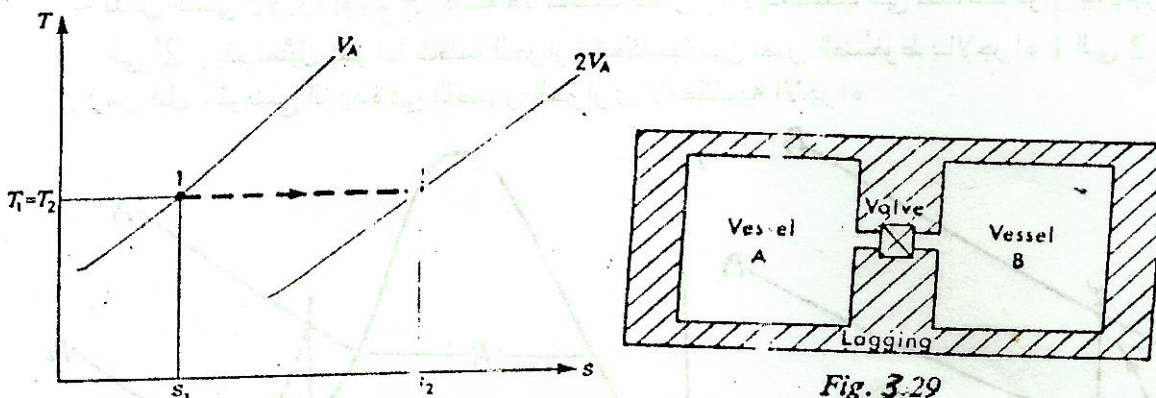


Fig. 3.29

الشكل (3.29)

Fig. 3.30

الشكل (3.30)

لاحظ أن الإجراء يتم رسمه منقطاً في الشكل 3.30، و تكون المساحة تحت الخط ليست ذات أهمية؛ يكون الإجراء كاظماً للحرارة ويكون هنالك تغيراً في القصور الحراري بما أن الإجراء يكون لا إنعكاسياً.

من المهم التذكر بأن المعادلة $ds = dQ/T$ ، تكون صحيحة فقط لإجراءات لا إنعكاسية. بنفس الطريقة فإن المعادلة $dv = dW/p$ ، أو $dW = p dv$ ، تكون صحيحة فقط

لإجراءات إإنعكاسية . في المثال 3.12 يزداد حجم الهواء من V_1 إلى $2V_1$ ، و لا يكون هنالك شغلاً مبذولاً بالهواء خلال الإجراء ،

$$\text{i.e. } dW = 0 \quad v_1 = 2V_1 - V_1 = V_1$$

بالتالي في الإجراء الإنعكاسي للمثال 3.12 $dv \neq dW / p$. نفس الشي ، فإن المحتوى الحراري في المثال 3.12 يزداد ب 0.199 kJ/kgK ويكون سريان الحرارة صفراء ، i.e. $ds \neq dQ/T$. لا يجب أن يكون هنالك إتباساً إذا تم رسم مخطط $T-S$ أو مخطط $p-v$ لكل مسألة و تحديد نقاط الحالة في مواضعها الصحيحة . وبالتالي ، عندما يكون هنالك إجراءاً إنعكاسياً بين حالتين ، يمكن رسم الخطوط التي تمثل الإجراء بخطوط متصلة ، و تمثل الحرارة تحت الخط سريان الحرارة على مخطط $T-S$ و الشغل المبذول على مخطط $p-v$. عندما يكون الإجراء بين الحالتين لا إنعكاسياً ، يجب رسم الخط منقطاً ، و لا تكون المساحة تحت الخط أى أهمية على أى من المخططات .

يمكن التوضيح من القانون الثاني أن القصور الحراري لنظام نزعول حرارياً يجب إما أن يزيد أو يبقى كما هو ، كمثال ، فإن إجراءاً كاظماً للحرارة معزولاً من بيته المحيطة بما أنه لا يوجد سريان للحرارة إلى أو من النظام . لقد لاحظنا أنه في إجراء كاظم للحرارة إنعكاسي فإن القصور الحراري يبقى كما هو . في إجراء كاظم للحرارة لا إنعكاسي يجب أن يزيد القصور الحراري دائمًا ، و يكون الكسب في القصور الحراري هو قياس لا إنعكاسية الإجراء . توضح الإجراءات في الأمثلة 3.11 و 3.12 هذه الحقيقة . كمثال آخر ، اعتبر تمدداً كاظماً للحرارة لا إنعكاسياً في توربينة بخار كما موضح في الشكل 3.31 بالإجراء 1 إلى 2 كما في الشكل 3.31 . الزيادة في القصور الحراري ، $s_2 - s_1 = s'_2 - s'_1$ هي قياساً للإنعكاسية الإجراء . نفس الشي 3.32، يوضح إنضغاطاً كاظماً للحرارة لا إنعكاسي في ضاغط دوار بالإجراء 1 إلى 2 . يتم تمثيل إجراء كاظماً للحرارة إنعكاسياً بين نفس الضغوط بالإجراء 1 إلى 2 . كما من قبل ، توضح الزيادة في القصور الحراري لا إنعكاسية الإجراء

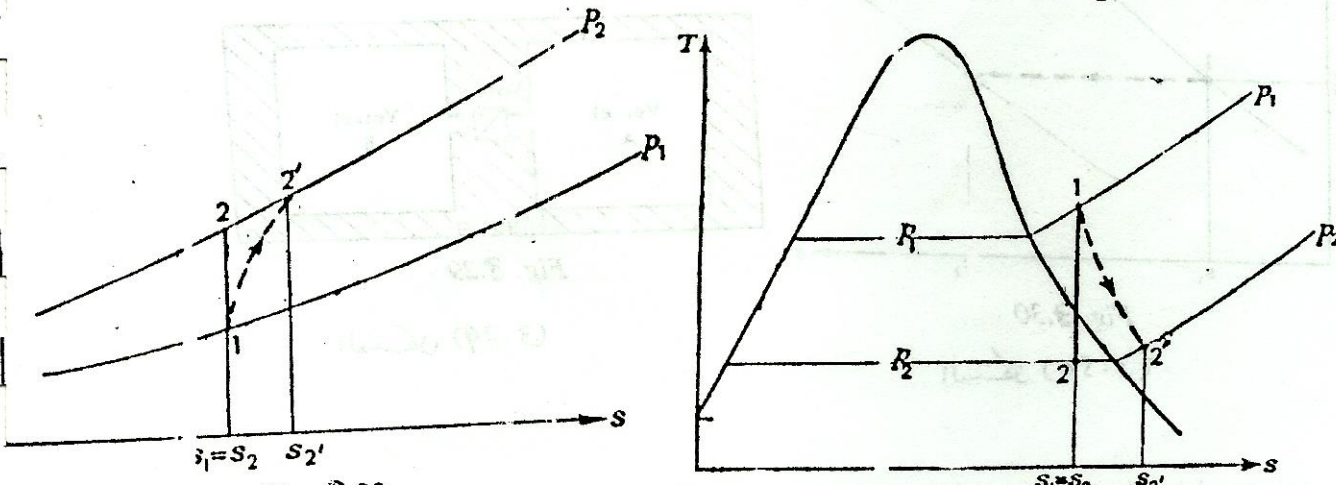


Fig. 3.31

الشكل 3.31

الشكل 3.32

الشكل 3.32

مثال 3.13 :-

في توربينة هواء يتمدد الهواء من 430°C و 1.013 bar إلى 6.8 bar و 150°C . يمكن إفتراض أن فقد الحراري من التوربينة يكون متغيراً بحيث يتم تجاهله. ووضح أن الإجراء يكون لإنعكاسياً، وأحسب التغير في القصور الحراري لكل kg من الهواء.

بما أنه تم تجاهل فقد الحراري، فإن الإجراء يكون كاظماً للحرارة. لإجراء كاظم للحرارة إنعكاسي لغاز مثل ، باستخدام المعادلة 2.21 ،

$$\frac{T_1}{T_2} = \left(\frac{P_1}{P_2} \right)^{(y-1)/y}$$

$$\text{i.e. } \frac{703}{T_2} = \left(\frac{6.8}{1.013} \right)^{(1.4-1)/1.4}$$

$$\text{حيث } (T_1 = 430 + 273 = 703 \text{ K})$$

$$\text{i.e. } T_2 = \frac{703}{6.71^{0.286}} = \frac{703}{1.724} = 408 \text{ K} = 408 - 273 = 135^{\circ}\text{C}$$

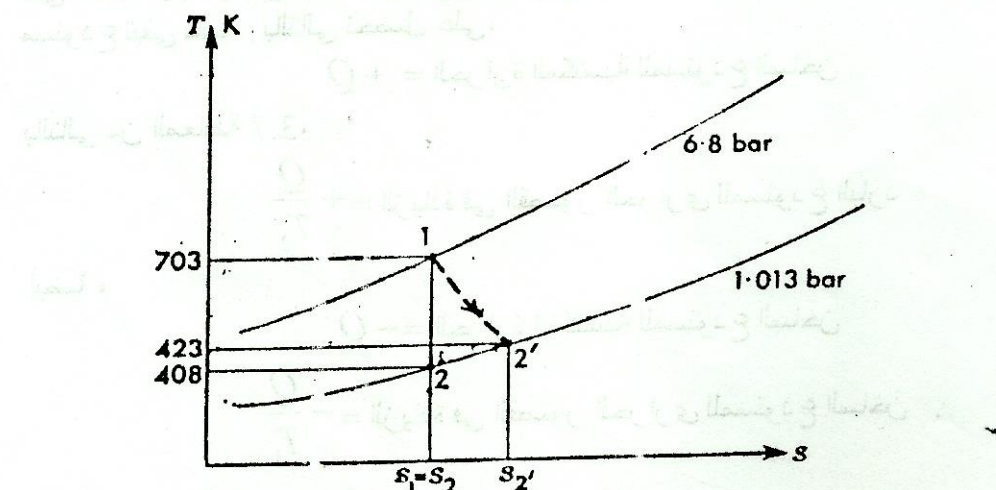


Fig. 3.33

الشكل (3.33)

لكن درجة الحرارة الفعلية تكون متساوية 150°C عند الضغط 1.013 bar ، وبالتالي يكون الإجراء لإنعكاسيًا . يوضح الإجراء ب 1 إلى 2 في الشكل رقم 3.33 ؛ يتم أيضًا توضيح الإجراء ثابت القصور الحراري ب 1 إلى 2 . من غير الممكن أن يكون الإجراء 1 إلى 2' إنعكاسيًا ، لأنه في تلك الحالة ستمثل المساحة نحن الخط 1 - 2' سريان الحرارة و يكون كاظماً للحرارة .

يمكن إيجاد القصور الحراري ، $s_1 - s_2$ باعتبار إجراء ثابتًا للضغط إنعكاسيًا بين 2 و 2' . وبالتالي من المعادلة 3.6

$$dQ = c_p dT \text{ ، عليه ،}$$

$$s_2 - s_1 = \int_2^2 \frac{c_p dT}{T} + R \int_{v_1}^{v_2} \frac{dv}{v} = cp \log_e \frac{T_2}{T_1}$$

$$= 1.005 \log_e \frac{423}{408} = 0.0355 \text{ kJ/kgK}$$

i.e. $s'_2 - s'_1 = 0.0355 \text{ kJ/kgK}$ = الزيادة في القصور الحراري

الآن اعتبر حالة عندما يكون هناك نظاماً غير معزول حرارياً من بيته المحيطة. يمكن للقصور الحراري لمثل هذا النظام أن يزيد، ينقص، أو يبقى كما هو، اعتماداً على الحراري العابر للحد. على أي حال ، إذا استطاع الحد ليشمل مصدر أو غاطس الحرارة الذي يكون معه النظام في إتصال ، وبالتالي فإن مستودعاً ساخناً عند T_1 و مستودعاً بارداً عند T_2 ، و افترض أن المستودعان معزولان حرارياً من البيئة المحيطة كما في الشكل 3.31. يجعل Q يكون سريان الحرارة من المستودع الساخن إلى البارد . يكون هناك إنداراً مستمراً لدرجة الحرارة من T_1 إلى T_2 بين النقاط A و B ، و يمكن افتراض أن الحرارة تنتقل بإيكاسية من المستودع الساخن إلى النقطة A ، و من النقطة B إلى المستودع البارد . سيتم افتراض أن درجة الحرارة لكل مستودع تبقى ثابتة . وبالتالي نحصل على ،

$$+ Q = \text{الحرارة المكتسبة للمستودع الساخن}$$

بالتالي من المعادلة 3.7 ،

$$+ \frac{Q}{T_2} = \text{الزيادة في القصور الحراري للمستودع البارد}$$

أيضاً ،

$$- Q = \text{الحرارة المكتسبة للمستودع الساخن}$$

$$- \frac{Q}{T_1} = \text{الزيادة في القصور الحراري للمستودع الساخن} \therefore$$

i.e. $\Delta s = \left(\frac{Q}{T_2} - \frac{Q}{T_1} \right)$ صافي الزيادة في القصور الحراري

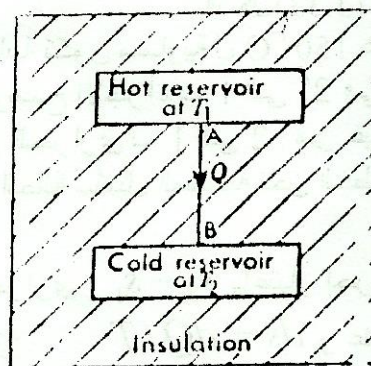


Fig. 3.34

(3.34) الشكل

بما أن $T_1 > T_2$ ، يلاحظ أن Δs تكون موجبة ، و بالتالي يجب أن يزيد القصور الحراري للنظام. في الحد عندما يكون الفرق في درجة الحرارة صغير جداً ، بالتالي $\Delta s = 0$. هذا يؤكد مبدأ أن القصور الحراري لنظام معزول يجب إما أن يزيد أو يبقى كما هو .

لقد تم ذكر الحكم (ج) للإنسكابية كما يلى:

يجب أن يكون فرق درجة الحرارة بين النظام وبين بيئته المحيطة صغيراً جداً أثناء الإجراء الانعكاسي.

في المثال عاليه ، عندما $T_1 > T_2$ ، فإن سريان الحرارة بين الواقعين يكون لانعكاسياً طبقاً للحكم عليه . هكذا يزيد القصور الحراري للنظام عندما يكون إجراء سريان الحرارة لانعكاسياً بينما يبقى كما هو عندما يكون الإجراء إنسكابياً . الزيادة في القصور الحراري هو مقاييس الانعكاسية . يمكن رسم الإجراءات في المثال السابق على مخطط $S - T$ كما موضح في الشكل 3.35 . لقد تم تراكم الإجراءات على نفس المخطط . يمثل الإجراء $R - P$ إنفاق وحدات الحرارة من المستودع الساخن ، و تكون المساحة تحت $R - P$ متساوية ل Q . و يمثل الإجراء $Y - X$ إنفاق وحدات Q للحرارة إلى المستودع البارد ، و تكون المساحة تحت $Y - X$ متساوية ل Q . تكون المساحة تحت $R - P$ متساوية ل المساحة تحت $Y - X$ ، بالتالي يمكن الملاحظة أن القصور الحراري للوعاء البارد يجب دائماً أن يزيد بصورة أكبر من النقصان في المحتوى الحراري للمستودع الساخن . عليه فإن القصور الحراري المتعدد يجب أن يزيد . لاحظ ، بما أنه في المثال السابق يكون كل من الإجراءات $R - P$ و $Y - X$ إنسكابيان ، بالتالي تحدث الانعكاسية بين A و B . متى ما تم إنفاق للحرارة خلال فرق درجة حرارة كبير ، فإن الإجراء يكون لانعكاسياً و تكون هنالك زيادة في القصور الحراري لنظام و بيئته المحيطة .

في حالات معينة (إجراءات معينة) يمكن أن تحدث الانعكاسية في البيئة المحيطة ، بالتالي فإن الإجراء يكون إنسكابياً داخلياً ، و تكون المساحات على مخططات $v - p$ و $T - S$ قريبة جداً من الشغل المبذول و سريان الحرارة على الترتيب .

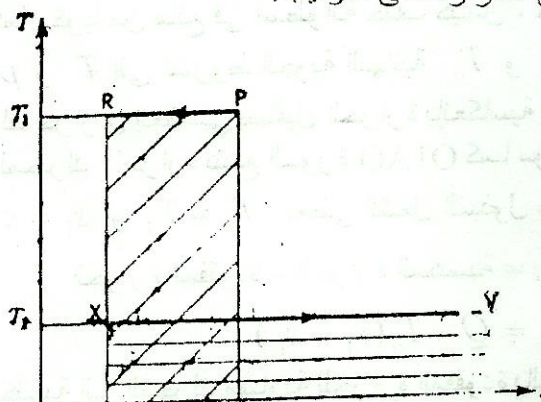


Fig. 3.35

الشكل (3.35)

في معظم المسائل عندم يتم افتراض إجراءاً إنسكابياً يكون المفهوم الضمني هو الانعكاسية الداخلية . عكس ذلك ، فإن معظم الإجراءات العملية التي يُقال أنها لانعكاسية ، هي لانعكاسية داخلية نتيجة لدويم مانع التشغيل كما في المثال 3.13 .

بالرجوع للشكل رقم 3.34 ، إذا تم وضع محرك حرارة بينيًّا بين المستودعين الساخن و البارد ، فإنه يمكن توليد بعض الشغل . يذكر القانون الثاني أن الحرارة لا يمكن أن تسرى بدون مساعدة من مستودع بارد إلى مستودع ساخن ، عليه لتوليد شغل من كمية الطاقة Q ، بعد أن يتم إنفاقها إلى المستودع البارد ، سيكون من الضروري وجود مستودع ثالث عند درجة حرارة أدنى من

المستودع البارد . من الواضح أنه عندما يتم إنتقال كمية حرارة خلال فرق درجة حرارة كبير ، فإن فائدتها تصبح أقل ، و في الحد عندما يتم إنتقال الحرارة لمستودع درجة الحرارة الأدنى الموجود وبالتالي لا يمكن توليد أي شغل إضافي . عليه فإن الإنعكاسية لديها تأثير سلبي على الطاقة المتاحة ، و يمكن اعتبار القصور الحراري ليس كقياس فقط للإنعكاسية بل أيضاً لإنهال الطاقة . لاحظ أنه ، بمبدأ بقاء الطاقة ، فإن الطاقة لا يمكن تحطيمها ؛ بالقانون الثاني للديناميكا الحرارية ، يمكن فقط للطاقة أن تصبح أقل فائدة . تمثل النظم طبيعياً لحالات ذات رتبة طاقة أدنى ؛ عليه فإن أي نظام يتحرك لحالة ذات رتبة أعلى بدون إمداد خارجي للطاقة سيخرق القانون الثاني .

يمكن الملاحظة أن القانون الثاني يشتمل على اتجاه أو ميل للاستفادة من الطاقة . يكون الشغل أكثر فائدة من الحرارة ؛ كلما زادت درجة الحرارة لمستودع الطاقة ، كلما يكون مقدار الطاقة المتاح أكثر فائدة . بتطبيق الخاتمة الأخيرة لمحرك حرارة يمكن استنتاج أنه ، لمستودع بارد معطى (e.g. الجو) ، كلما تكون درجة حرارة المستودع الساخن عالية ، ستكون الكفاءة الحرارية لمحرك الحراري عالية .

3.6 - الإتاحية : Availability

المقدار الأقصى النظري للشغل يمكن الحصول عليه من نظام عند حالة T_1 و p_1 عندما يعمل مع مستودع عند درجة حرارة و ضغط ثابتين T_o و p_o يسمى بالإتحاد .

a/ نظم اللاسريان : Non-flow systems

اعتبر نظاماً مكوناً من مائع في أسطوانة خلف كباس ، حيث يتمدد المائع إنعكاسياً من الشروط الأولية p_1 و T_1 إلى الشروط الجوية النهائية p_o و T_o . تحيل أيضاً أن النظام يعمل بالإقتران مع محرك حراري إنعكاسي يستقبل الحرارة إنعكاسياً من المائع في الأسطوانة بحيث أن مادة التشغيل لمحرك الحرارة يتبع الدورة O1AO كما موضح في الأشكال a 3.36 و 3.36b ، حيث $s_A = s_1$ و $T_o = T_A$. يعطى الشغل المبذول بهذا المحرك بـ :

$$\text{الحرارة المفقودة - الحرارة المكتسبة} = W_{\text{Engine}}$$

$$= Q - T_o(s_1 - s_o)$$

تكون الحرارة المكتسبة إلى المحرك متساوية للحرارة المفقودة بالمائع الذي يؤدي الإجراء I إلى صفر ، نحصل على ،

$$-Q = (u_o - u_1) + W_{\text{Fluid}}$$

$$\text{i.e. } W_{\text{Fluid}} = (u_1 - u_o) - Q$$

عليه بجمع المعادلين ،

$$W_{\text{Fluid}} + W_{\text{Engine}} = (u_1 - u_o) - T_o(s_1 - s_o)$$

يكون الشغل المبذول بالمائع على الكباس أقل من الشغل المبذول الكلى بالمائع، بما أن هناك شغلاً مبذولاً على الجو يكون عند الضغط p_o (انظر المسألة 2.24)

$$\text{i.e. } p_o(v_o - v_1) = \text{الشغل المبذول على الجو}$$

بالتالي ،

الشغل المتاح الكلى = $(u_1 - u_o) - T_o(s_1 - s_o) - p(v_o - v_1)$
 (ملحوظة عندما يؤدي مانعاً دوراً كاملاً فإن صافي الشغل المبذول على الجو يكون صغيراً)

$$W_{\max} = (u_1 + p_o v_1 - T_o s_1) - (u_o p_o - T_o s_o)$$

$$\therefore W_{\max} = a_1 - a_o$$

يُسمى الخاصية $a = u + p_o v - T_o s$ بالدالة المتاحة للسريان
 (non-flow availability function)

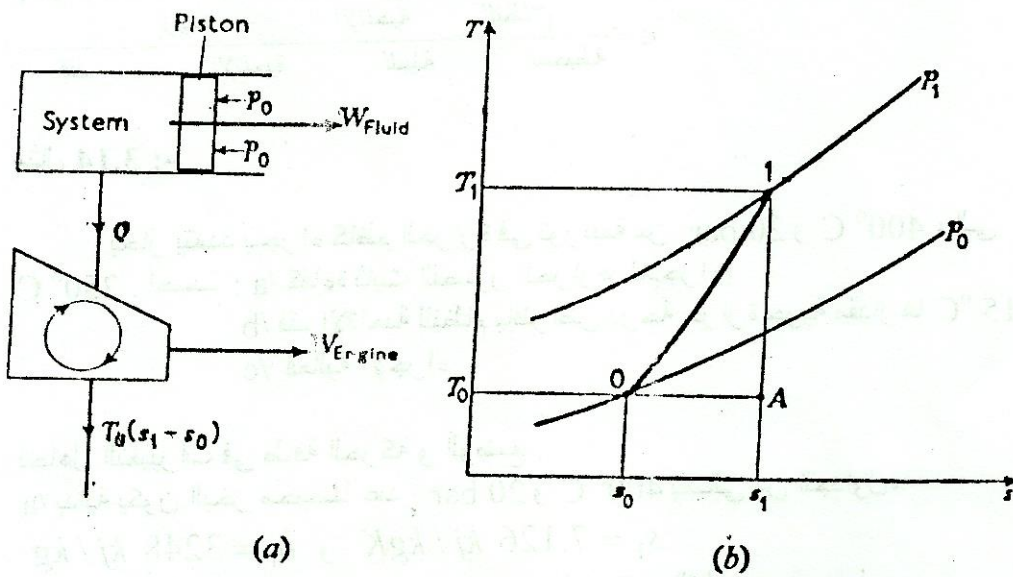


Fig. 3.36

الشكل (3.36)

Steady Flow Systems

b/ نظم السريان المستقر:

اجعل مانعاً يسرى بسرعة C من مستوى p_0 يكون فيه الضغط و درجة الحرارة ثابتين عند p_1 و T_1 خلال جهاز لضغط جوى مقداره p_o . اجعل المستوى يكون عند إرتفاع z_1 من خط المرجعية ، الذى يمكن أخذه عند مخرج الجهاز ، $z_o = 0$ i.e. للحصول على أقصى شغل من الجهاز فإن سرعة المخرج C ، يجب أن تكون صفراء . يمكن التوضيح كما في (a) عليه أن محركاً حرارياً إنعكاسياً يشتغل بين الحدود سيرفرض مقداراً من الحرارة يعادل $(T_o - T_1)(s_1 - s_o)$ وحدة ، حيث T_o هي درجة الحرارة الجوية.

عليه نحصل على :

$$W_{\max} = (h_1 + C^2/2 + z_1 g) - h_o - T_o(s_1 - s_o)$$

في نظم عديدة للديناميكا الحرارية ينم تجاهل عناصر طاقة الحركة والوضع.

$$W_{\max} = (h_1 - T_o s_1) - (h_o - T_o s_o) = b_1 - b_o$$

يُسمى الخاصية $b = h - T_o s$ بالدالة المتاحة للسريان المستقر
 steady flow availability function

الفعالية : Effectiveness

بدلاً من مقارنة إجراء بإجراء مثالي تخيلي، كما يُعمل في حالة الكفاءة ثابتة القصور الحراري كمثال ، من القياس الأفضل الفائدة من الإجراء هو مقارنة الخرج المستفاد من الإجراء بفقد الإاتاحية لنظام . يُعطى الخرج المستفاد من نظام بزيادة الإاتاحية للبيئة المحيطة.

$$\text{زيادة الإاتاحية للبيئة للمحيطة} = \frac{\text{فقط الإاتاحية لنظام}}{\text{للنظام}}$$

$$\text{لإجراء إنضغاط أو تتسخين تصبح الفعالية ،} \\ \epsilon = \frac{\text{زيادة الإاتاحية لنظام}}{\text{فقط الإاتاحية للبيئة للمحيطة}}$$

- 3.14 : مثال

- بخار يتمدد بإجراء كاظم الحرارة في توربينة من bar 20 و C 400 ، إلى 4 bar .
 أ. حسب : a/ كفاءة ثابت القصور الحراري للإجراء ؛
 b/ فقد الإاتاحية لنظام بافتراض درجة حرارة جوية مقدارها C 15 ؛
 c/ فعالية الإجراء .

تجاهل التغيرات في طاقة الحركة والوضع .

a/ بداية يكون البخار محمضاً عند bar 20 و C 400 ، وبالتالي من الجداول ،

$$s_1 = 7.126 \text{ kJ/kgK} \quad h_1 = 3248 \text{ kJ/kg}$$

أخيراً يكون البخار محمضاً عند C 250 ، 4 bar ، وبالتالي من الجداول ،

$$s'_2 = 7.379 \text{ kJ/kgK} \quad h'_2 = 2965 \text{ kJ/kg}$$

يُوضح الإجراء ك 1 إلى 2 في الشكل 3.37

$$s_1 = s'_2 = 7.126 \text{ kJ/kgK}$$

بالتالي بالاستكمال ،

$$h_2 = 2753 + \left(\frac{7.126 - 6.929}{7.172 - 2 - 6.929} \right) (2862 - 2753) = 2841.4 \text{ kJ/kg}$$

نسبة الخرج الفعال كفاءة ثابت القصور الحراري

نسبة قادمة العنصر الحراري

$$\frac{h_1 - h'_2}{h_1 - h_2} = \frac{3248 - 2965}{3248 - 2841.4} = \frac{283}{406.6} = 69.6\%$$

b/ فقد الإاتاحية ،

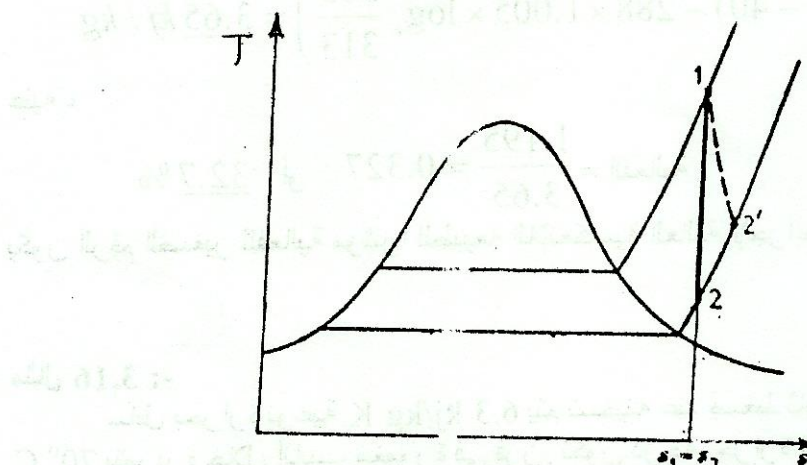
$$= b_1 - b'_2 = h_1 - h'_2 + T_o(s'_2 - s_1)$$

$$= 283 + 288(7.379 - 7.126) = 355.9 \text{ kJ/kg}$$

c/ الفعالية ،

$$\epsilon = \frac{W}{b_1 - b_2} = \frac{h_1 - h_2}{b_1 - b_2}$$

$$i.e. \quad \epsilon = \frac{283}{355.9} = 79.6\%$$



(3.37)

مثال 3.15 :-

هواء عند C^{15} يتم تسخينه إلى C^{40} بخلطه في سريان مستقر مع كمية من هواء C^{90} . مفترضاً أن إجراء الخلط يكون كاظماً للحرارة ومتجاهلاً التغيرات في طاقة الحركة والوضع، أحسب نسبة سريان الكتلة لهواء يكون بداية عند C^{90} إلى تلك التي تكون بداية عند C^{15} . أحسب أيضاً فعالية إجراء التسخين، إذا كانت درجة الحرارة الجوية تساوى C^{15} .

اجعل نسبة سريان الكتلة المكثبة تكون y ؛ يجعل الهواء عند C^{15} يكون الجدول 1، و الهواء C^{90} يكون الجدول 2، ز من جدول الهواء المخلوط عند C^{40} يكون الجدول 3. وبالتالي،

$$c_p T_1 + y c_p T_2 = (1+y)c_p T_3$$

$$y c_p (T_2 - T_1) = c_p (T_3 - T_1)$$

$$i.e. \quad (90 - 40) = 40 - 15$$

$$\therefore y = \frac{25}{50} = 0.5$$

اجعل النظام المعتبر يكون جدولًا من الهواء لوحدة الكتلة، يتم تسخينه من C^{15} إلى C^{40} .

$$= b_3 - b_1 = (b_3 - b_1) - T_o(s_3 - s_1)$$

$$1.005(40 - 15) - 288(s_3 - s_1)$$

$$s_3 - s_1 = c_p \log_e \frac{T_3}{T_1} = 1.005 \log \frac{313}{288} = 0.0831 \text{ kJ/kgK}$$

$$\therefore 1.005 \times 25 - 288 \times 0.0831$$

$$= 1.195 \text{ kJ/kg}$$

النظام ، الذى هو الهواء المراد تسخينه ، يكون محاطاً بجدول الهواء المراد تبریده . عليه ، فإن فقد الإاتاحية للبيئة المحيطة يعطى بـ ،

$$y(b_2 - b_1)$$

$$\text{i.e. } \text{فقد الإاتاحية للبيئة المحيطة} = 0.5 \{(h_2 - h_3) - T_o(s_2 - s_3)\}$$

$$= 0.5 \left(1.005(90 - 40) - 288 \times 1.005 \times \log_e \frac{363}{313} \right) = 3.65 \text{ kJ / kg}$$

عليه ،

$$\text{الفعالية} = \frac{1.195}{3.65} = 0.327 \text{ أو } 32.7\%$$

يكون الرقم الصغير للفعالية مؤشراً للطبيعة الإنعكاسية العالية لإجراء الخلط.

مثال 3.16 :-

سائل بحرارة نوعية $K = 6.3 \text{ kJ/kg}$ يتم تسخينه عند ضغط ثابت تقريباً من 15°C إلى 70°C بتمريره خلال أنابيب مغمورة في فرن. تكون درجة حرارة الفرن ثابتة عند 1400°C . أحسب الفعالية لإجراء التسخين عندما تكون درجة الحرارة الجوية متساوية لـ 10°C .

زيادة الإاتاحية للسائل ،

$$= b_2 - b_1 = (h_2 - h_1) + T_o(s_2 - s_1)$$

$$\text{i.e. } b_2 - b_1 = 6.3(70 - 15) - 288 \times 6.3 \log_e \frac{343}{288} = 34.7 \text{ kJ / kg}$$

الآن درجة الحرارة الملفوظة بواسطة الفرن تكون متساوية للحرارة المكتسبة للسائل ، $(h_2 - h_1)$. إذا تم إهداد هذه الكمية من الحرارة إلى محرك حرارة. يشتغل على دورة كارنوت فستكون

$$\text{كافأته الحرارية} = \left(1 - \frac{T_o}{1400 + 273} \right)$$

عليه فإن الشغل الذي يمكن الحصول عليه من محرك حرارة يعطى بحاصل ضرب الكفاءة الحرارية و الحرارة المكتسبة ،

$$(h_1 - h_2) \left(1 - \frac{283}{1673} \right)$$

الشغل الممكن من محرك حرارة هو قياس فقد الإاتاحية ل الفرن.

$$\text{i.e. } 6.3(70 - 15) \left(1 - \frac{283}{1673} \right) = \text{فقدان الإاتاحية للبيئة المحيطة}$$

$$= 288 \text{ kJ / kg}$$

بالتالي ،

$$\text{الفعالية} = \frac{34.7}{288} = 0.121 \text{ أو } 12.1\%$$

تعكس القيمة المنخفضة جداً لفعالية الالانعكاسية لانتقال الحرارة خلال فرق درجات حرارة كبير إذاً إذا كانت درجة حرارة الفرن أصغر بكثير فسيكون الإجراء أكثر فعالية بالرغم من أن الحرارة المنتقلة للسائل ستبقى نفسها.

E - $\eta = \frac{Q_1}{Q_2} = \frac{m_1 C_1 (T_1 - T_2)}{m_2 C_2 (T_1 - T_3)}$ \Rightarrow $\eta = \frac{m_1 C_1}{m_2 C_2} \cdot \frac{T_1 - T_2}{T_1 - T_3}$ \Rightarrow $\eta = \frac{m_1 C_1}{m_2 C_2} \cdot \frac{\Delta T}{T_1 - T_3}$ \Rightarrow $\eta = \frac{m_1 C_1}{m_2 C_2} \cdot \frac{\Delta T}{\Delta T + T_3}$

$$Q_1 = m_1 C_1 \Delta T = 0.001 \text{ kg} \cdot 0.001 \text{ J/g°C} \cdot 100 \text{ °C} \cdot 100 \text{ g} = 10 \text{ J}$$

E - $m_1 = 100.0 \text{ g} \quad C_1 = 0.001 \text{ J/g°C} \quad T_1 = 100 \text{ °C}$
 $m_2 = 100.0 \text{ g} \quad C_2 = 0.001 \text{ J/g°C} \quad T_3 = 20 \text{ °C}$
 $\eta = \frac{100.0 \text{ g} \cdot 0.001 \text{ J/g°C} \cdot 100 \text{ °C}}{100.0 \text{ g} \cdot 0.001 \text{ J/g°C} \cdot 80 \text{ °C}} = \frac{100 \text{ J}}{80 \text{ J}} = 1.25$

$$Q_1 = m_1 C_1 \Delta T = 0.001 \text{ kg} \cdot 0.001 \text{ J/g°C} \cdot 100 \text{ °C} \cdot 100 \text{ g} = 10 \text{ J}$$

E - $m_1 = 200.0 \text{ g} \quad C_1 = 0.001 \text{ J/g°C} \quad T_1 = 100 \text{ °C}$
 $m_2 = 100.0 \text{ g} \quad C_2 = 0.001 \text{ J/g°C} \quad T_3 = 20 \text{ °C}$
 $\eta = \frac{200.0 \text{ g} \cdot 0.001 \text{ J/g°C} \cdot 100 \text{ °C}}{100.0 \text{ g} \cdot 0.001 \text{ J/g°C} \cdot 80 \text{ °C}} = \frac{200 \text{ J}}{80 \text{ J}} = 2.5$

$$Q_1 = m_1 C_1 \Delta T = 0.001 \text{ kg} \cdot 0.001 \text{ J/g°C} \cdot 100 \text{ °C} \cdot 100 \text{ g} = 10 \text{ J}$$

E - $m_1 = 300.0 \text{ g} \quad C_1 = 0.001 \text{ J/g°C} \quad T_1 = 100 \text{ °C}$
 $m_2 = 100.0 \text{ g} \quad C_2 = 0.001 \text{ J/g°C} \quad T_3 = 20 \text{ °C}$
 $\eta = \frac{300.0 \text{ g} \cdot 0.001 \text{ J/g°C} \cdot 100 \text{ °C}}{100.0 \text{ g} \cdot 0.001 \text{ J/g°C} \cdot 80 \text{ °C}} = \frac{300 \text{ J}}{80 \text{ J}} = 3.75$

$$Q_1 = m_1 C_1 \Delta T = 0.001 \text{ kg} \cdot 0.001 \text{ J/g°C} \cdot 100 \text{ °C} \cdot 100 \text{ g} = 10 \text{ J}$$

E - $m_1 = 400.0 \text{ g} \quad C_1 = 0.001 \text{ J/g°C} \quad T_1 = 100 \text{ °C}$
 $m_2 = 100.0 \text{ g} \quad C_2 = 0.001 \text{ J/g°C} \quad T_3 = 20 \text{ °C}$
 $\eta = \frac{400.0 \text{ g} \cdot 0.001 \text{ J/g°C} \cdot 100 \text{ °C}}{100.0 \text{ g} \cdot 0.001 \text{ J/g°C} \cdot 80 \text{ °C}} = \frac{400 \text{ J}}{80 \text{ J}} = 5$

$$Q_1 = m_1 C_1 \Delta T = 0.001 \text{ kg} \cdot 0.001 \text{ J/g°C} \cdot 100 \text{ °C} \cdot 100 \text{ g} = 10 \text{ J}$$

E - $m_1 = 500.0 \text{ g} \quad C_1 = 0.001 \text{ J/g°C} \quad T_1 = 100 \text{ °C}$
 $m_2 = 100.0 \text{ g} \quad C_2 = 0.001 \text{ J/g°C} \quad T_3 = 20 \text{ °C}$
 $\eta = \frac{500.0 \text{ g} \cdot 0.001 \text{ J/g°C} \cdot 100 \text{ °C}}{100.0 \text{ g} \cdot 0.001 \text{ J/g°C} \cdot 80 \text{ °C}} = \frac{500 \text{ J}}{80 \text{ J}} = 6.25$

$$Q_1 = m_1 C_1 \Delta T = 0.001 \text{ kg} \cdot 0.001 \text{ J/g°C} \cdot 100 \text{ °C} \cdot 100 \text{ g} = 10 \text{ J}$$

مسائل

- 1 من بخار عند 20 bar ، كسر جفاف 0.9 ، يتم تسخينه إنعكاسياً بضغط ثابت إلى درجة حرارة $C 300^{\circ}$. أحسب الحرارة المكتسبة ، التغير في القصور الحراري ، ووضح الإجراء على مخطط $S - T$ ، مشيراً للمساحة التي تمثل سريان الحرارة.

Ans.(415 kJ/kg ; 0.8173 kJ/kg K)

- 2 بخار عند $\text{bar } 0.05$ ، $C 100^{\circ}$ يتم تكثيفه بالكامل بإجراء إنعكاسي ثابت الضغط .
أحسب الحرارة التي يتم إزالتها لكل kg من البخار ، و التغير في القصور الحراري .
أرسم الإجراء على مخطط $S - T$ و ظلال المساحة التي تمثل سريان الحرارة.

Ans.(2550 kJ/kg ; 8.292 kJ/kg K)

- 3 من بخار عند 10 bar ، كسر جفاف 0.84 ، يتم تسخينه إنعكاسياً في وعاء صلاد حتى يكون الضغط مساوياً ل 20 bar . أحسب التغير في القصور الحراري و الحرارة المكتسبة. وضح المساحة التي تمثل الحرارة المكتسبة على مخطط $S - T$.

Ans.(0.0704 kJ/kg K ; 36.85 kJ)

- 4 أسطوانة صلدة تحوى 0.006 m^3 من نايتروجين (بكثة جزيئية 28) عند 1.04 bar ، 15° ، يتم تسخينه إنعكاسياً حتى تصل درجة الحرارة إلى $C 90^{\circ}$.
أحسب التغير في القصور الحراري و الحرارة المكتسبة . أرسم الإجراء على مخطط $T - S$. خذ الأس ثابت القصور الحراري ، γ ، للنايتروجين ك 1.4 ، و أفترض أن النايتروجين يكون غازاً مثالياً.

Ans.(0.00125 kJ/K ; 0.407 kJ)

- 5 1 m^3 من هواء يتم تسخينه إنعكاسياً بضغط ثابت من $C 15^{\circ}$ إلى 300° ، و من بعد يتم تبريدده إنعكاسياً بحجم ثابت إلى درجة حرارته الإبتدائية. يكون الضغط الإبتدائي مساوياً ل 1.03 bar . أحسب صافي سريان الحرارة و التغير في القصور الحراري ، و أرسم الإجراءات على مخطط $S - T$.

Ans.(101.5 kJ ; 0.246 kJ/K)

- 6 1 من بخار يؤدى إجراءً إنعكاسياً ثابتاً درجة الحرارة من 20 bar ، $C 250^{\circ}$ إلى 30 bar . أحسب سريان الحرارة ، ذاكراً ما إذا كان مكتسباً أم مفقوداً ، و أرسم الإجراء على مخطط $S - T$.

Ans.(- 135 kJ/kg)

الفصل الرابع

4.0 دورة المحرك الحراري The Heat Engine Cycle

في هذا الفصل يتم مناقشة دورة المحرك الحراري بالتفصيل وأيضاً اعتبار دورات قدرة الغاز. يمكن ملاحظة أن هناك دورة نظرية مثالية بكفاءة أكبر مما نتخيل؛ تسمى هذه الدورة بدورة كارنوت (Carnot Cycle). و تكون الكفاءة الحرارية القصوى الممكنة لمحرك حراري في الواقع العملي هي فقط حوالي نصف تلك الدورة كارنوت النظرية المثالية. بين نفس حدرد درجات الحرارة. هذه تكون نتيجة للإبعاكاسيات في الدورة الفعلية، وللإنحراف عن الدورة المثالية التي يتم عملها لأسباب متعددة. يتم اختيار محطة القدرة عملياً بالتوافق بين الكفاءة الحرارية و عوامل عديدة مثل حجم المحطة لمتطلبات قدرة معطاة ، التعقيدات الميكانيكية ، تكلفة التشغيل ، و التكلفة الرأسمالية.

4.1 دورة كارنوت: The Carnot Cycle

يمكن التوضيح من القانون الثاني للديناميكا الحرارية أنه ليس هناك محرك حراري يمكن أن يكون أكبر كفاءة من محرك حراري إنعكاسي يعمل بين نفس حدود درجة الحرارة. كارنوت الذي هو مهندس فرنسي ، أوضح في ورقة كتب في العام 1824 أن الدورة الممكنة الأكثر كفاءة هي تلك التي يتم فيها إمداد جميع الحرارة المكتسبة عند درجة حرارة مفردة ثابتة ، ويتم فيها رفض جميع الحرارة المفقودة عند درجة الحرارة موصولة بإجراءين كاظمي للحرارة. بما أن جميع الإجراءات تكون إنعكاسية ، وبالتالي فإن الإجراءات الكاظمة للحرارة في الدورة تكون أيضاً ثابتة القصور الحراري. من الأكثر ملائمة تمثيل الدورة على مخطط $S - T$ كما هو موضح في الشكل 4.1.

الإجراء 1 إلى 2 تمدد ثابتة للقصور الحراري من T_1 إلى T_2 .

الإجراء 2 إلى 3 فقد للحرارة بثبات درجة الحرارة.

الإجراء 3 إلى 4 يكون انضغاطاً ثابتة للقصور الحراري من T_2 إلى T_1 .

الإجراء 4 إلى 1 يكون إمداداً للحرارة بثبات درجة الحرارة.

تكون الدورة مستقلة تماماً عن مادة التشغيل المستخدمة.

الكافأة الحرارية لمحرك حراري المعرفة في المقطع 3.1، أعطيت بالمعادلة 3.3

$$\eta = 1 - \frac{Q_2}{Q_1}$$

في دورة كارنوت بالرجوع للشكل 4.1 ، يمكن ملاحظة أن الحرارة المكتسبة Q_1 ، تعطى بالمساحة 41BA4 ،

$$\text{i.e. } Q_1 = T_1 (s_B - s_A) \text{ المساحة 41BA4}$$

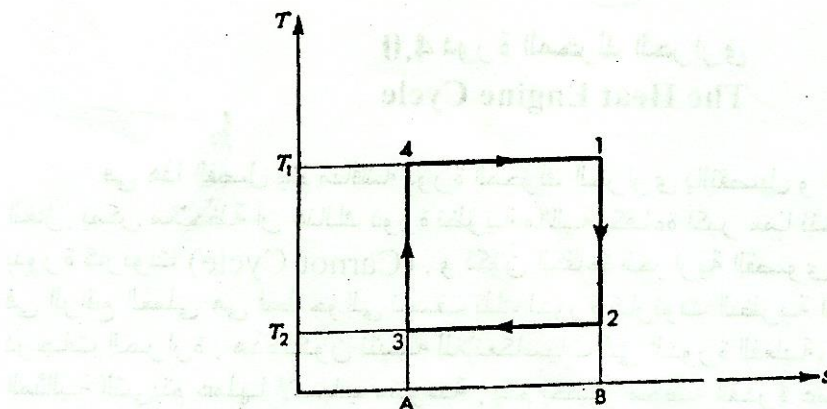


Fig. 4.1

(4.1) الشكل

بالمثل فإن الحرارة المفقودة ، Q_2 ، تعطى بالمساحة 23AB2

$$\text{i.e. } Q_2 = T_2 (s_B - s_A)$$

بالتالي نحصل على ،

$$\eta_{carnot} = 1 - \frac{T_2 (s_B - s_A)}{T_1 (s_B - s_A)}$$

$$\text{i.e. } \eta_{carnot} = 1 - \frac{T_2}{T_1} \quad (4.1)$$

إذا كان هنالك غاطساً متوفراً لفقد الحراري عند درجة حرارة مثبتة T_2 e.g. إمداد ضخم لماء التبريد) ، بالتالي فإن النسبة T_2/T_1 ستقل كلما تزيد درجة حرارة المصدر T_1 . من المعادلة 4.1 يمكن ملاحظة انه كلما زادت T_2/T_1 ، تزيد بالتالي الكفاءة الحرارية . بالتالي لدرجة حرارة أدنى مثبتة لفقد الحرارة ، فإن درجة الحرارة العليا التي يتم عندها إمداد الحرارة يجب عملها أكبر مما يمكن . الكفاءة الحرارية الممكنة القصوى بين درجتي حرارة هي تلك لدورة كارنوت . يمكن إيجاد شغل الخرج لدورة كارنوت ببساطة من مخطط S - T . من القانون الأول ،

$$\Sigma Q = \Sigma W$$

عليه ، فإن شغل الخرج لدورة تعطى ب

$$W = Q_1 - Q_2$$

بالتالي لدورة كارنوت ، بالرجوع للشكل 4.1 ،

$$\text{i.e. } W_{carnot} = (T_1 - T_2)(s_B - s_A)$$

مثال 4.1 :-

ماهى الكفاءة النظرية الممكنة القصوى لمحرك حراري الذى تعمل مع مستودع ساخن لغازات فرن عند 2000°C عندما يكون ماء التبريد متاحاً عند 10°C ؟

من المعادلة 4.1 ،

$$\eta_{carnot} = 1 - \frac{10 + 273}{2000 + 273} = 1 - \frac{283}{2273}$$

$$i.e. \quad 1 - 0.1246 = 0.8754$$

أو 87.54 %

يجب ملاحظة أن نظاماً عملياً يعمل بين نفس درجات الحرارة (e.g. محطة توليد بخار) سيعطيك كفاءة حرارية بحوالي 30 %. يكون التناقض (التعارض) نتيجة لفقدان التاجمة من اللاحوكاسية في المحطة الفعلية ، وأيضاً بسبب الإلترافات عن دورة كارنوت المثلية إلى عمل لأسباب عملية متعددة.

من الصعوبة بمكان عملياً عمل نظام يستقبل ويفقد الحرارة عند درجة حرارة ثابتة. البخار الرطب هو مادة التشغيل الوحيدة التي يمكن أن تؤدي هذا بملائمة ، بما أنه لبخار رطب فإن درجة الحرارة والضغط يظلا ثابتين كلما يتم إمداد أو فقد الحرارة الكامنة . دورة كارنوت لبخار رطب تكون موضحة في الشكل رقم 4.2. بالرغم من أن هذه الدورة هي الأكفاء الممكنة لبخار ، فإنها لا تستخدم في محطة البخار. تعرف الدورة النظرية والتي يتم عليها تأسيس دورات البخار بدوره رانكن.

Absolute temperature scale

4.2 مقياس درجة الحرارة المطلقة :

في الفصول السابقة لقد تم إفتراض مقياساً لدرجة الحرارة مؤسساً على ثيرموميتر الغاز المثالى. بإستخدام القانون الثاني للديناميكا الحرارية من الممكن تأسيس مقياساً لدرجة الحرارة يكون مستقلاً عن مادة التشغيل .

لأى محرك حراري من المعادلة 3.3 ،

$$\eta = 1 - \frac{Q_2}{Q_1} \quad (4.2)$$

أيضاً فإن الكفاءة لمحرك يشتغل على دورة كارنوت تعتمد فقط على درجة الحرارة للمستودعين الساخن والبارد . بتزميز درجة الحرارة على أساس مقياس اعتباطي ب X ، نحصل على ،

$$\eta = \phi(X_1, X_2) \quad (4.3)$$

(حيث φ هي دالة و X_1, X_2 هما درجتا الحرارة للمستودعين البارد والساخن)
بتوحيد المعادلتين نحصل على ،

$$\frac{Q_2}{Q_1} = F(X_1, X_2)$$

(حيث F دالة جديدة)

هناك عدد ضخم ممكن لمقياس درجة الحرارة يكون مستقلاً عن مادة التشغيل . يمكن اختيار أي مقياس تشغيل بالإختيار المناسب لقيمة الدالة F . يمكن اختبار الدالة بحيث أن

$$\frac{Q_2}{Q_1} = \frac{X_2}{X_1} \quad (4.4)$$

أيضاً من المعادلة 4.1 ، نحصل على ،

$$\eta = 1 - \frac{T_2}{T_1}$$

بالتالي باستخدام المعادلة 4.2،

$$\eta = 1 - \frac{Q_2}{Q_1} = 1 - \frac{T_2}{T_1}$$

$$\text{أو } \frac{Q_2}{Q_1} = \frac{T_2}{T_1} \quad (4.5)$$

بمقارنة المعادلات 4.4 و 4.5 يمكن الملاحظة أن درجة الحرارة X تكون مكافئة لدرجة الحرارة T . عليه بالإختيار المناسب للدالة F ، يتم جعل مقياس درجة الحرارة المثالي مكافئاً للمقياس المؤسس على ثيرموميتر الغاز المثالي.

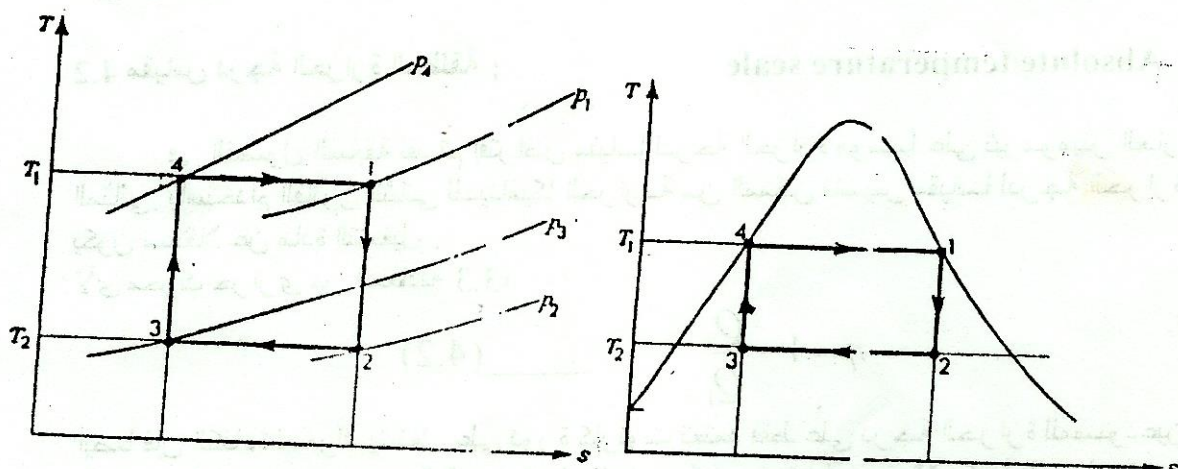


Fig. 4.3

Fig. 4.2

(4.3)

(4.2)

4.3 دورة كارنوت لغاز مثالي: The Carnot cycle for a perfect gas

يتم توضيح دورة كارنوت على مخطط $S - T$ في الشكل 4.3. لاحظ أن ضغط الغاز يتغير بإستمرار من p_1 إلى p_4 أثناء إمداد الحرارة بثبات درجة الحرارة ، ومن p_2 إلى p_3 أثناء فقد الحرارة بثبات درجة الحرارة. من الملائم أكثر عملياً تسخين غاز بضغط ثابت تقريباً أو بحجم ثابت ، وبالتالي من الصعب بمكان محاولة تشغيل محرك حراري فعلى على دورة كارنوت عملياً بإستخدام غاز كمادة تشغيل . هناك سبب هام آخر لعدم محاولة استخدام دورة كارنوت عملياً يوضح برسم الدورة على مخطط $v - p$ ، كما في الشكل 4.4. يعطي صافي الشغل للدورة بالمساحة 12341. تكون هذه كمية صغيرة مقارنة بإجمالي الشغل لإجراءات التمدد للدورة المعطاة بالمساحة 41BA4 . شغل إجراءات الإنضغاط (i.e. الشغل المبذول على الغاز) يُعطى بالمساحة 234AB2 . تسمى نسبة صافي شغل الخرج إلى إجمالي شغل الخرج بنسبة الشغل (Work ratio) . بالرغم من أن الكفاءة الحرارية العالية لدورة كارنوت ، فإنها تمتلك نسب شغل منخفضة.

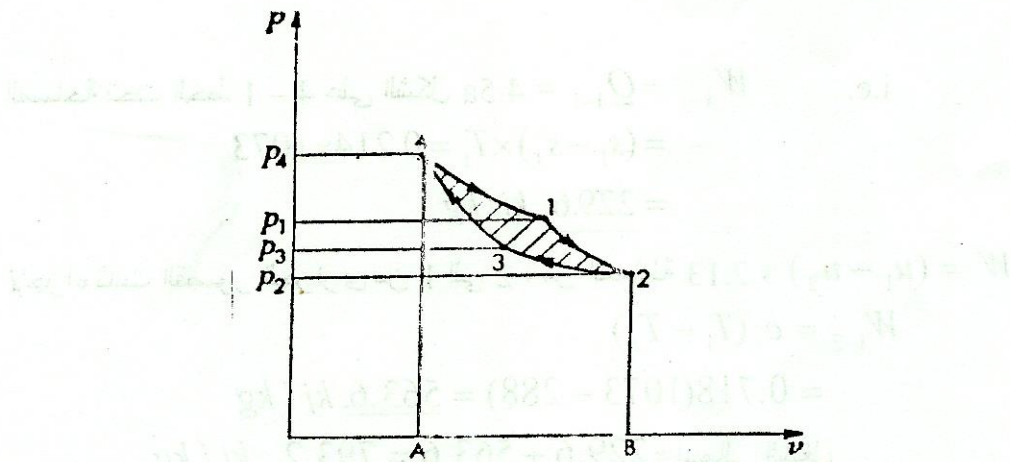


Fig. 4.4

الشكل (4.4)

مثال 4.2 :-

إذا كان هناك مستودع ساخن عند درجة حرارة مقدارها 800°C ومستودع بارد عند درجة حرارة 15°C . أحسب الكفاءة الحرارية ونسبة الشغل لدورة كارنوت باستخدام الهواء للتشغيل، إذا كان الضغوط القصوى فى الدورة هما 210 و 1 bar.

يتم توضيح الدورة على مخطط $S - T$ و $p - v$ فى الأشكال 4.5a و 4.5b على الترتيب .
باستخدام المعادلة 4.1 ،

$$\eta_{carnot} = 1 - \frac{T_2}{T_1} = 1 - \frac{15 + 273}{300 + 273} = 1 - 0.268 = 0.732$$

أو 73.2%

لكى يتم إيجاد شغل الخرج ونسبة الشغل الكلى من الضرورى إيجاد التغير فى القصور

الحرارى ، $(s_1 - s_4)$ ،

لإجراء ثابت الحرارة من 4 إلى A ، مستخدماً المعادلة 3.12

$$(s_A - s_4) = R \log_e \frac{p_4}{p_2} = 0.287 \log_e \frac{210}{1} = 1.535 \text{ kJ/kgK}$$

عند ضغط ثابت من A إلى 2 ، نحصل على ،

$$(s_A - s_2) = c_p \log_e \frac{T_1}{T_2} = 1.005 \log_e \frac{1073}{288} = 1.321 \text{ kJ/kgK}$$

$$\therefore s_1 - s_4 = 1.535 - 1.321 = 0.214 \text{ kJ/kgK}$$

بالناتلى

$$\text{المساحة} = (T_1 - T_2)(s_1 - s_2) = \text{صافى شغل الخرج} \quad 12341$$

$$= (1073 - 288) \times 0.214 = 168 \text{ kJ/kgK}$$

صافى الشغل للتمدد = الشغل المبذول 4 إلى 1 + الشغل المبذول 1 إلى 2

$$Q = W \quad \text{من المعادلة 2.12 ، لجراء ثابت درجة الحرارة ،}$$

i.e. $W_{4-1} = Q_{4-1} = 4.5a$ على الشكل
 $= (s_1 - s_4) \times T_1 = 0.214 \times 1073$
 $= 229.6 \text{ kJ/kg}$

لإجراء ثابت القصور الحراري من 1 إلى 2 ، من المعادلة 2.13
 $W_{1-2} = c_v(T_1 - T_2)$
 $= 0.718(1073 - 288) = 563.6 \text{ kJ/kg}$
 $\therefore \text{إجمالي الشغل} = 229.6 + 563.6 = 793.2 \text{ kJ/kg}$

i.e. نسبة التشغيل $= \frac{\text{محتوى المشتقات}}{\text{إجمالي التشغيل}} = \frac{168}{793.2} = 0.212$

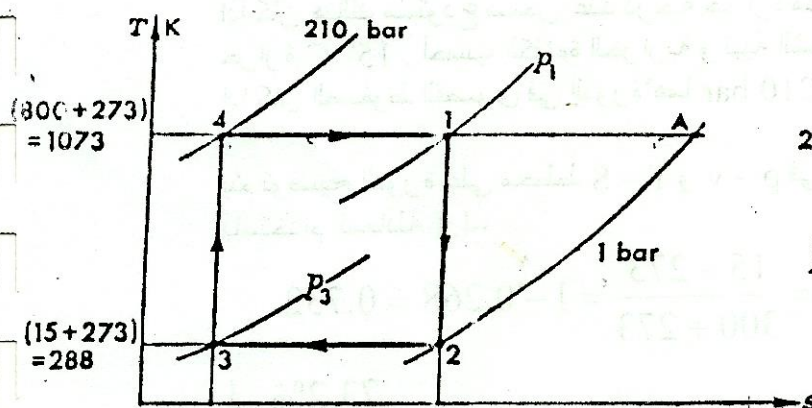


Fig. 4.5a

الشكل (4.5)

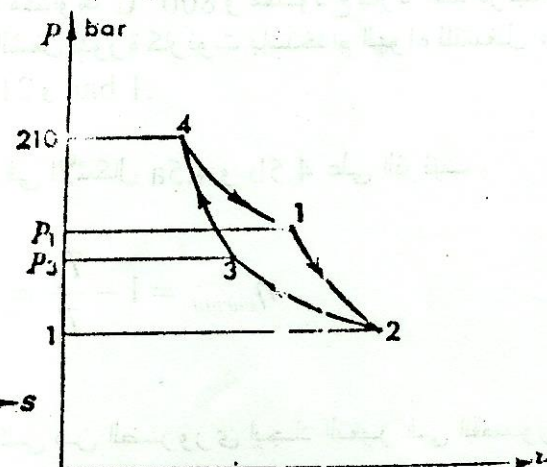


Fig. 4.5b

4.4 دورة الضغط الثابت:-

The Constant Pressure Cycle

في هذه الدورة فإن إجراءات إمداد الحرارة وفقد الحرارة تحدث انعكاسياً بضغط ثابت . و تكون إجراءات التمدد والانضغاط ثابتة القصور الحراري . يتم توضيح الدورة على مخطط T - S و p - v في الأشكال 4.6a و 4.6b . استخدمت هذه الدورة في إحدى الأوقات كأساس مثالى لمحرك تردد لهواء ساخن، و يُسمى بدورة جول أو بريتون (Joule or Brayton cycle) . في أيامنا الحاضرة ، فإن هذه الدورة هي الدورة المثالية لوحدة توربينية غاز مغلقة . هناك مخطط بسيطاً للمحطة موضحًا في الشكل 4.7 ، بأرقام متناظرة لتلك الأشكال 4.6a و 4.6b . تكون مادة التشغيل هي الهواء الذي ينساب بسريان مستقر حول الدورة ، وبالتالي ، يتجاهل تغيرات السرعة ، و بتطبيق معادلة طاقة السريان المستقر لكل جزء من الدورة ، نحصل على ،

$$(h_2 - h_1) = c_p(T_2 - T_1) = \text{شغل الدخل الاضغط}$$

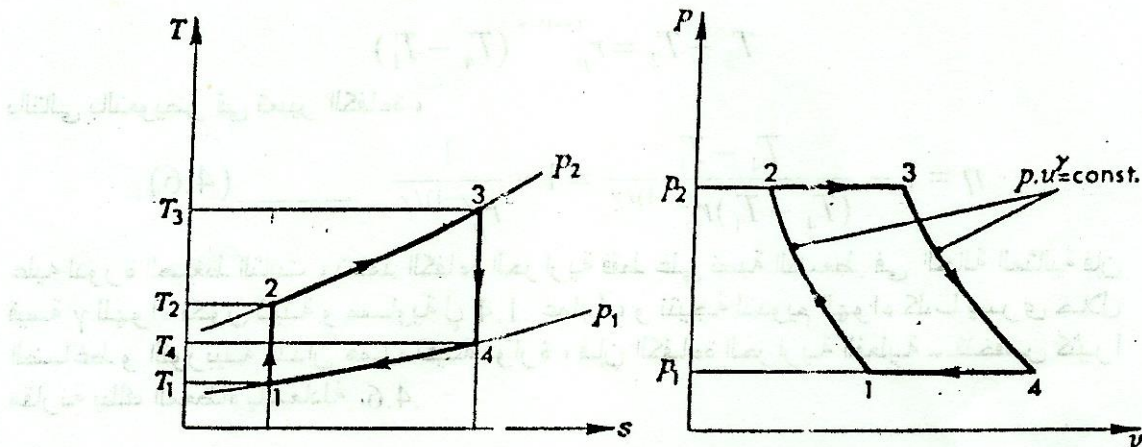
$$(h_3 - h_4) = c_p(T_3 - T_4) = \text{شغل الخرج من التوربينة}$$

الحرارة المكتسبة في السخان $Q_1 = (h_3 - h_2) = c_p(T_3 - T_2)$

الحرارة المفقودة في المبرد $Q_2 = (h_4 - h_1) = c_p(T_4 - T_1)$

بالتالي من المعادلة 3.3

$$\eta = 1 - \frac{Q_2}{Q_1} = 1 - \frac{c_p(T_4 - T_1)}{c_p(T_3 - T_2)} = 1 - \frac{T_4 - T_1}{T_3 - T_2}$$



الشكل (4.6a)

الشكل (4.6b)

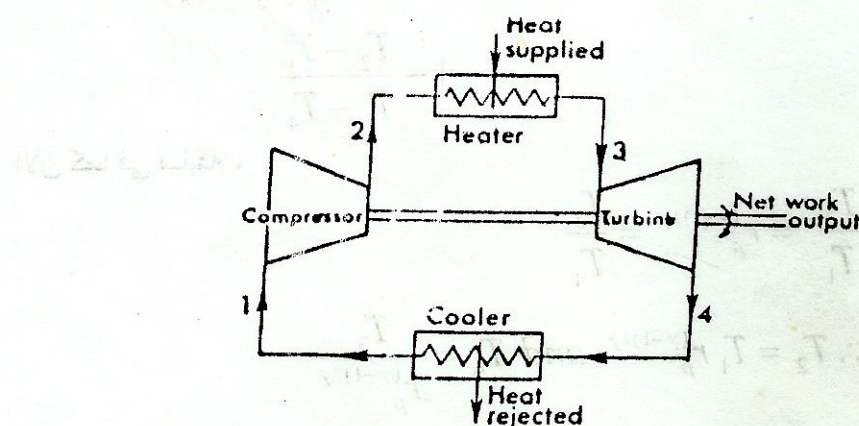


Fig. 4.7

الشكل (4.7)

الآن بما أن الإجراءات 1 إلى 2 و 3 إلى 4 هما ثابتان القصور الحراري بين نفس الضغوط p_1 و p_2

، مستخدماً المعادلة 2.21، نحصل على ،

$$\frac{T_2}{T_1} = \left(\frac{p_2}{p_1} \right)^{(1-\gamma)/\gamma} = \frac{T_3}{T_4} = r_p^{(1-\gamma)/\gamma}$$

(حيث r_p هي نسبة الضغط $\left(\frac{P_2}{P_1}\right)$)

بالتالي ،

$$T_3 = T_4 r_p^{\frac{(\gamma-1)}{\gamma}} \quad \text{و} \quad T_2 = T_1 r_p^{\frac{(\gamma-1)}{\gamma}}$$

$$T_3 - T_2 = r_p^{\frac{(\gamma-1)}{\gamma}} (T_4 - T_1)$$

بالتالي بالتعويض في تعبير الكفاءة ،

$$\eta = 1 - \frac{T_4 - T_1}{(T_4 - T_1)r_p^{\frac{(\gamma-1)}{\gamma}}} = 1 - \frac{1}{r_p^{\frac{(\gamma-1)}{\gamma}}} \quad (4.6)$$

عليه لدوره الضغط الثابت ، تعتمد الكفاءة الحرارية فقط على نسبة الضغط . في الحالة المثالية فإن قيمة γ للهواء تكون ثابتة و مساوية ل 1.4 . عملياً ، و نتيجة لتدويم الهواء كلما يسرى خلال الضاغط و التوربينة اللذان هما ماكينة دوارة ، فإن الكفاءة الحرارية الفعلية ستختفي كثيراً مقارنة بتلك المعطاة بالمعادلة 4.6.

نسبة الشغل لدوره الضغط الثابت يمكن إيجادها كمالي :-

$$\begin{aligned} \text{نسبة الشغل} &= \frac{c_p(T_3 - T_4) - c_p(T_2 - T_1)}{c_p(T_3 - T_4)} \\ &= 1 - \frac{T_2 - T_1}{T_3 - T_4} \end{aligned}$$

الآن كما في سابقه ،

$$\frac{T_2}{T_1} = r_p^{\frac{(\gamma-1)}{\gamma}} = \frac{T_3}{T_4}$$

$$\therefore T_2 = T_1 r_p^{\frac{(\gamma-1)}{\gamma}} \quad \text{and} \quad T_4 = \frac{T_3}{r_p^{\frac{(\gamma-1)}{\gamma}}}$$

بالتالي بالتعويض ،

$$\text{نسبة الشغل} = 1 - \frac{T_1(r_p^{\frac{(\gamma-1)}{\gamma}} - 1)}{T_3[1 - (1/r_p^{\frac{(\gamma-1)}{\gamma}})]}$$

$$= 1 - \frac{T_1}{T_3} \left(\frac{r_p^{\frac{(\gamma-1)}{\gamma}} - 1}{r_p^{\frac{(\gamma-1)}{\gamma}} - 1} \right) r_p^{\frac{(\gamma-1)}{\gamma}}$$

$$\text{i.e.} \quad \text{نسبة الشغل} = 1 - \frac{T_1}{T_3} r_p^{\frac{(\gamma-1)}{\gamma}} \quad (4.7)$$

يمكن الملاحظة من المعادلة 4.7 أن نسبة التشغيل لا تعتمد فقط على نسبة التشغيل بل أيضاً على نسبة درجات الحرارة معطاة ، T_1 ، فإن درجة الحرارة القصوى ، T_3 ، يجب جعلها أكبر ما يمكن للحصول على نسبة تشغيل عالية.

لوحدة توربينة غاز مفتوحة الحلقة فإن الدورة الفعلية لا تكون تقريباً جيدة لدوره الضغط الثابت المثالية ، بما أن الوقود يتم حرقه بالهواء ، ويتم سحب شحنة طازجة باستمرار في الضاغط . بالرغم من ذلك يعطى الدورة المثالية أساساً جيداً للمقارنة وفى حسابات كثيرة التوربينة غاز ذات حلقة مفتوحة مثالية يتم تجاهل تأثيرات كتلة الوقود والتغير فى مائع التشغيل.

مثال 4.3 :-

في وحدة توربينة غاز يتم سحب الهواء عند ضغط bar 1.02 و $C = 15^\circ$ ، ويتم إنضغاطه إلى 6.12 bar . أحسب الكفاءة الحرارية و نسبة التشغيل لدوره الضغط الثابت المثالية ، عندما تكون درجة الحرارة القصوى محدودة ب $C = 800^\circ$.

يتم توضيح الدورة المثالية على مخطط $S-T$ في الشكل 4.8 ، من المعادلة 4.6 ،

$$\eta = 1 - \frac{1}{r_p^{(\gamma-1)/\gamma}} , \text{ الكفاءة الحرارية}$$

$$\text{i.e. } \eta = 1 - \frac{1}{r_p^{(\gamma-1)/\gamma}} = 1 - \left(\frac{1.02}{6.12} \right)^{(\gamma-1)/\gamma} = 1 - \frac{1}{6^{0.286}} = 1 - 0.598$$

0.402 أو 40.2% = الكفاءة الحرارية .

يعطى صافي التشغيل للدوره بالشغيل المبذول بالتوربينة ناقصاً التشغيل المبذول على الهواء في الضاغط .

$$\text{i.e. } c_p(T_3 - T_4) - c_p(T_2 - T_1) = \text{صافي التشغيل}$$

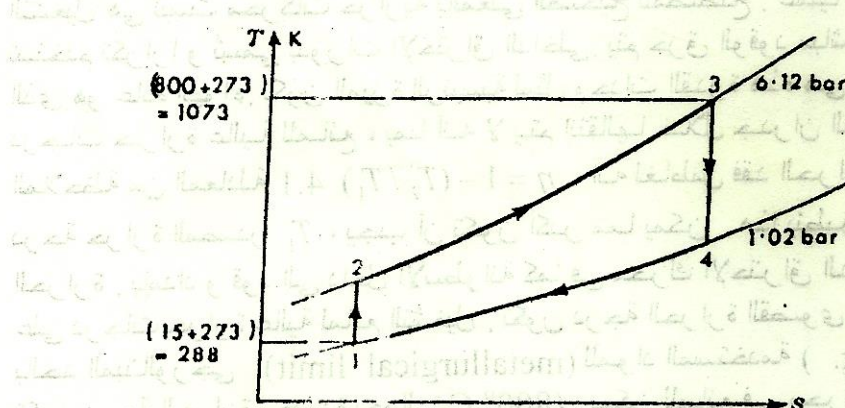


Fig. 4.8

من المعادلة 2.21

$$\frac{T_2}{T_1} = \left(\frac{P_2}{P_1} \right)^{\frac{(\gamma-1)}{\gamma}} = \frac{T_3}{T_4} = \left(\frac{6.12}{1.02} \right)^{\frac{(\gamma-1)}{\gamma}} = 6^{0.286} = 1.67$$

$$\therefore T_2 = 1.67 \times T_1 = 1.67 \times 288 = 481 \text{ K}$$

(حيث $T_1 = 15 + 273 = 288 \text{ K}$)

$$T_4 = \frac{T_3}{1.67} = \frac{1073}{1.67} = 643 \text{ K}$$

(حيث $T_3 = 800 + 273 = 1073 \text{ K}$)

$$1.005(1073 - 643) - 1.005(481 - 288)$$

$$= (1.005 \times 430) - 1.005 \times 193 = 288 \text{ kJ/kg}$$

$$\text{شغل التوربينة} = c_p (T_3 - T_4) = 1.005(1073 - 643) = 432 \text{ kJ/kg}$$

بالتالي ،

$$\text{نسبة الشغل} = \frac{288}{432} = 0.55$$

4.5 دورة الهواء القياسية:

The Air Standard Cycle

لقد تمت الإشارة في المقطع 3.1 أن الدورات التي يتم فيها حرق الوقود مباشرةً في مائع التشغيل هي ليست محركات حرارية بالمعنى الصحيح للمصطلح . عملياً فإن مثل هذه الدورات تستخدم تكراراً و تسمى بدورات الاحتراق الداخلي . يتم حرق الوقود مباشرةً في مائع التشغيل ، الذي هو عادةً الهواء . تكون الميزة الرئيسية لمثل وحدات القدرة هذه هي إمكانية الحصول على درجات حرارة عالية للمائع ، بما أنه لا يتم انتقالها خلال جدران المعدن إلى الماء . يتم الملاحظة من المعادلة 4.1 $(T_2/T_1) = 1/\eta$ ، أنه لغاطس فقد الحرارة معطى عند T_2 فإن درجة حرارة المصدر T_1 ، يجب أن تكون أكبر مما يمكن . هذا ينطبق على جميع محركات الحرارة . بإمداد وقود إلى داخل الأسطوانة كما في محرك الاحتراق الداخلي ، يمكن الحصول على درجات حرارة عالية لمائع التشغيل . تكون درجة الحرارة القصوى لجميع الدورات محدودة بالحد الميتالورجي (metallurgical limit) (المواد المستخدمة e.g. فى توربينات الغاز تكون درجة الحرارة محدودة بحوالى 800°C) . يمكن للماء في محرك الاحتراق الداخلي أن يصل إلى درجة حرارة مساوية لحوالى 2750°C . هذا يجعل ممكناً بتبريد الأسطوانة خارجياً بماء أو هواء ؛ أيضاً ، نتيجة الطبيعة المقطعة للدورة فإن مائع التشغيل يصل لدرجة حرارته القصوى فقط لحظة أثناء كل دورة .

من أمثلة دورات الاحتراق الداخلي هي وحدة توربينة الغاز مفتوحة الحلقة ، محرك البترول ، محرك الديزل أو محرك الزيت ، محرك الغاز . وحدة توربينة الغاز مفتوحة الحلقة ، رغم أنها دورة الاحتراق الداخلي ، تكون بالرغم من ذلك ذات تصنيف مختلف عن محركات الاحتراق

الداخلي الأخرى. لقد تم ذكر الدورة في المقطع 3.1 وتم توضيح مخطط المحطة في الشكل 3.4 يمكن الملاحظة أن الدورة تكون ذات سريان مستقر ينساب فيها مائع التشغيل من أحد المكونات إلى المكون الآخر حول الدورة. عليه سيتم افتراض أن وحدة توربينة الغاز إذا ما تم تشغيلها على دورة مفتوحة أو مغلقة ، يمكن مقارنتها مع دورة الضغط الثابت المثالية. التي تم التعامل معها في المقطع 4.4.

في محرك البترول يتم سحب خليطاً من الهواء والبترول إلى الأسطوانة، حيث يتم إنضغاطه بالكبس ، و من بعد إشعاله بشرارة كهربائية . تتمدد الغازات الساخنة دافعة الكبس للوراء و من بعد تكسح للخارج إلى العادم ، و تُعاد الدورة بسحب شحنة طازجة من البترول و الهواء . في محرك дизيل أو الزيت يتم رش زيت تحت ضغط في الهواء المنضغط عند نهاية شوط الإنضغاط ، و يكون الاحتراق تلقائياً نتيجة لدرجة الحرارة العالية للهواء بعد الإنضغاط . في محرك غاز فإن خليطاً من الغاز و الهواء يتم سحبه في الأسطوانة ، إنضغاطه ، و من بعد إشعاله كما في محرك البترول بشرارة كهربائية . لإعطاء أساس للمقارنة لمحرك الاحتراق الداخلي الفعلى يتم تعريف دورة الهواء القياسية.

في دورة هواء قياسية يتم افتراض أن مادة التشغيل تكون هواء طوال الدورة ، يتم افتراض أن جميع الإجراءات تكون انعكاسية ، و يتم افتراض أن مصدر إمداد الحرارة و غاطس فقد الحرارة يكونان خارجيان بالنسبة للهواء. يتم تمثيل الدورة على مخطط للخواص ، و عادة ما يتم رسمه على مخطط $v-p$ ، بما أن هذه تسمح بمقارنة مباشرة يتم عملها مع دورة المحرك الفعلى التي يمكن الحصول عليها من مخطط بياني. يجب التأكيد على أن دورة هواء قياسية على مخطط $v-p$ تكون عبارة عن دورة ديناميكية حرارية صحيحة ، بينما يكون مخطط البيان المأخوذ من محرك فعلى هو سجلاً لتغيرات الضغط في الأسطوانة ضد إزاحة الكبس.

4.6 دورة أوتو:-

The Otto Cycle

دورة أوتو هي دورة الهواء القياسية المثالية لمحرك البترول ، محرك الغاز ، و محرك الزيت ذو السرعة العالية .

يتم توضيح دورة أوتو على مخطط $v-p$ في الشكل 4.9 الإجراء من 1 إلى 2 هو إنضغاط ثابت القصور الحراري. الإجراء من 2 إلى 3 هو تسخين ثابت الحجم (انعكاسي). الإجراء من 3 إلى 4 هو تمدد ثابت القصور الحراري. الإجراء من 4 إلى 1 هو تبريد انعكاسي ثابت الحجم.

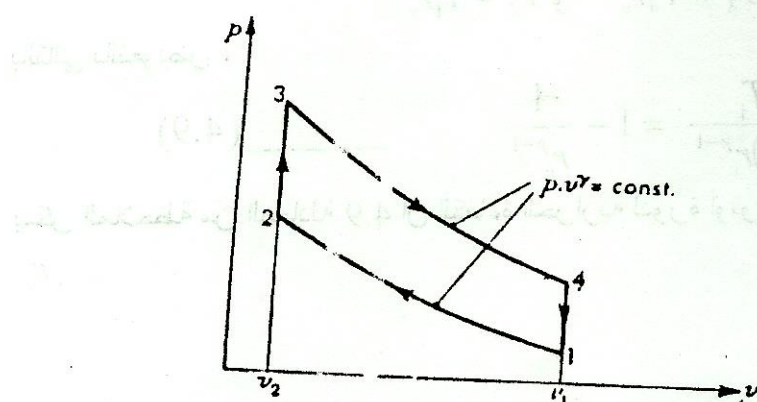


Fig. 4.9

الشكل (4.9)

لإعطاء مقارنة مباشرة بالمحرك الفعلى فإن نسبة الحجوم النوعية v_2/v_1 يتم أخذها كنسبة الإنضغاط للمحرك الفعلى،

$$\text{i.e. } r_v = \frac{v_1}{v_2} \text{ ، نسبة الإنضغاط}$$

$$\frac{\text{حجم المكتسح}}{\text{حجم الخلوص}} = \frac{\text{الخلوص} + \text{الحجم}}{\text{حجم الخلوص}} \quad (4.8)$$

يمكن إيجاد الكفاءة الحرارية لدورة أوتو باستخدام المعادلة 3.3

$$\eta = 1 - \frac{Q_1}{Q_2}$$

يتم إعطاء الحرارة المكتسبة Q_1 ، بحجم ثابت بين T_2 و T_3 تعطى بالمعادلة 3.13، لكل kg من الهواء،

$$Q_1 = c_v(T_3 - T_2)$$

بالمثل فإن الحرارة المفقودة Q_2 ، بحجم ثابت بين T_4 و T_1 بالمعادلة التالية، لكل kg من الهواء.

$$Q_2 = c_v(T_4 - T_1)$$

تكون الإجراءات 1 إلى 2 و 3 إلى 4 هي ثابتة القصور الحراري و عليه لا يكون هناك سريان حرارة أثناء هذا الإجراءات.

$$\eta = 1 - \frac{Q_2}{Q_1} = 1 - \frac{c_v(T_4 - T_1)}{c_v(T_3 - T_2)} = 1 - \left(\frac{T_4 - T_1}{T_3 - T_2} \right)$$

الآن بما أن الإجراءات من 1 إلى 2 و 3 إلى 4 هي ثابتة القصور الحراري ، وبالتالي باستخدام المعادلة 2.21،

$$\frac{T_2}{T_1} = \left(\frac{v_1}{v_2} \right)^{\gamma-1} = \left(\frac{v_4}{v_3} \right)^{\gamma-1} = \frac{T_3}{T_4} = r_v^{\gamma-1}$$

(حيث r_v هي نسبة الإنضغاط من المعادلة 4.8)
بالناتي،

$$T_3 = T_4 r_v^{\gamma-1} \text{ و } T_2 = T_1 r_v^{\gamma-1}$$

بالناتي بالتعويض ،

$$\eta = 1 - \frac{T_4 - T_1}{(T_4 - T_1)r_v^{\gamma-1}} = 1 - \frac{1}{r_v^{\gamma-1}} \quad (4.9)$$

يمكن الملاحظة من المعادلة 4.9 أن الكفاءة الحرارية لدورة أوتو تعتمد فقط على نسبة الإنضغاط

$$r_v$$